

8127

KARADENİZ TEKNİK ÜNİVERSİTESİ * FEN BİLİMLERİ ENSTİTÜSÜ
İNŞAAT MÜHENDİSLİĞİ ANABİLİM DALI
İNŞAAT MÜHENDİSLİĞİ PROGRAMI

BAZI TRABZON KİLLERİNİN KONSOLIDASYON ÖZELLİKLERİ
VE
SİĞ TEMEL SİSTEMLERİNİN KONSOLIDASYON OTURMALARI

YÜKSEK LİSANS TEZİ

İns.Müh. Ferda ÖZMEN

OCAK - 1990

TRABZON

KARADENİZ TEKNİK ÜNİVERSİTESİ * FEN BİLİMLERİ ENSTİTÜSÜ
İNŞAAT MÜHENDİSLİĞİ ANABİLİM DALI
İNŞAAT MÜHENDİSLİĞİ PROGRAMI

BAZI TRABZON KİLLERİNİN KONSOLIDASYON ÖZELLİKLERİ
VE
SİĞ TEMEL SİSTEMLERİNİN KONSOLIDASYON OTURMALARI

İnş. Müh. Ferda ÖZMEN

Karadeniz Teknik Üniversitesi Fen Bilimleri Enstitüsünce
"İnşaat Yük.Mühendisi"
Ünvanının Verilmesi İçin Kabul Edilen Tezdir.

Tezin Enstitüye Verildiği Tarih : 5 Ocak 1990
Tezin Sözlü Savunma Tarihi : 2 Şubat 1990

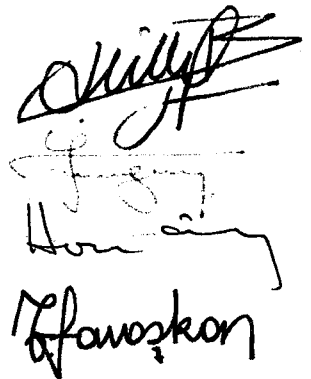
T. C.
ÜKSEKOĞRETİM KURULU
Dokumentasyon Merkezi

Tez Danışmanı : Doç.Dr. Bayram Ali Uzuner

Jüri Üyesi : Doç.Dr. İlhan Sungur

Jüri Üyesi : Yrd.Doç.Dr. Hızır Önsoy

Enstitü Müdürü : Doç.Dr. Temel Savaşkan



OCAK - 1990

TRABZON

ÖNSÖZ

Yapıların en önemli bölümünü temeller oluşturmaktadır. Yapıların uzun süre hizmet vermesi ve ayakta kalabilmesi için temeller projelendirilirken, temel koşullarının sağlanması dikkat edilmelidir. Uygulamada, genellikle, temeller taşıma gücü koşuluna göre boyutlandırılmaktadır. Oysa, yapıların hassas görmesi, hatta göçmesinde, temel oturmaları, özellikle farklı oturmalar en başta gelen nedenlerdendir.

Çalışmada, bu amaçla, oturma konusu ele alındı. Trabzon ve çevresi killerinin konsolidasyon özellikleri, küçük ve büyük çaplı örneklerin kullanılması halinde deney sonuçlarında farklılıklar incelendi. Yüzeysel temel sistemlerinde, her bir temelin konsolidasyon oturmalarını hesaplayan bilgisayar programları geliştirildi.

Bu çalışma süresince bana yön veren, gerekli bilgi ve dökümanları temin eden ve deney örneklerinin alınmasında yardımcı olan yönetici Hocam Sayın Doç.Dr. Bayram Ali Uzuner'e teşekkür ederim. Ayrıca deneyler sırasında yardımcı olan K.T.Ü. Zemin Mekanığı Laboratuvarı personeline de teşekkür ederim.

Ocak 1990

Ferda Özmen

İÇİNDEKİLER

| | <u>Sayfa</u> |
|---|--------------|
| ÖNSÖZ | iii |
| ÖZET | vi |
| SUMMARY | vii |
| BÖLÜM 1. GİRİŞ | 1 |
| 1.1. Temellerin Tanımı, Sınıflandırılması ve Koşulları | 1 |
| 1.2. Zemin Cinslerine Göre Oturmalar | 1 |
| 1.3. Oturma Terimleri ve Ölçütleri | 4 |
| 1.4. Oturma Nedenleri | 5 |
| 1.5. Oturma Tipleri ve Zararları | 6 |
| BÖLÜM 2. BAZI TRABZON KİLLERİNİN KONSOLIDASYON ÖZELLİKLERİ | 8 |
| 2.1. Konsolidasyon Oturması | 8 |
| 2.1.1. Konsolidasyon Deneyi | 8 |
| 2.1.2. Konsolidasyon Olayının Anolojisi (Benzetimi) | 14 |
| 2.1.3. Konsolidasyon (Birincil) Oturmasının Hesaplanması | 16 |
| 2.1.4. Ön Konsolidasyon Basıncının Belirlenmesi | 17 |
| 2.1.5. Arazi Konsolidasyon Oturması | 19 |
| 2.1.6. Terzaghi Bir Boyutlu Konsolidasyon Teorisi | 19 |
| 2.1.7. Konsolidasyon Katsayısının Belirlenmesi | 24 |
| 2.1.8. ikincil (Secondary) Konsolidasyon | 26 |
| 2.1.9. Oturma-Zaman Eğrisinin Düzeltilmesi | 28 |
| 2.2. Bazı Trabzon Killerinin Konsolidasyon Özellikleri | 29 |
| 2.2.1. Deneysel Çalışma | 29 |
| 2.2.2. Konsolidasyon Deney Sonuçları | 35 |
| BÖLÜM 3. SIĞ (YÜZEYSEL) TEMEL SİSTEMLERİNİN KONSOLIDASYON OTURMALARI | 59 |
| 3.1. Zeminde Gerilme Dağılışı | 59 |
| 3.1.1. Giriş | 59 |

| | |
|--|----|
| 3.1.2. Nokta (Tekil) Yük | 60 |
| 3.1.3. Çizgisel Yük | 60 |
| 3.1.4. Üniform Şerit Yük | 61 |
| 3.1.5. Üniform Yüklü Daire Alan | 62 |
| 3.1.6. Üniform Yüklü Dikdörtgen Alan | 62 |
| | |
| 3.2. Sığ (Yüzeysel) Temel Sistemleri Altında Meydana Gelen Konsolidasyon Oturmaları Hesabı | 64 |
| 3.2.1. Üniform Yüklü Tekil Temel Sisteminde Her Bir Tekil Temelin Konsolidasyon Oturmalas- ının Hesaplanması | 65 |
| 3.2.2. Üniform Yüklü Bir Şerit Temel Sistemindeki Her Bir Şerit Temelin Konsolidasyon Oturması Hesabı | 70 |
| 3.2.3. Bir Radye Temelde Her Bir Kolon Altında Meydana Gelen Konsolidasyon Oturması Hesabı | 72 |
| | |
| 3.3. Sayısal Örnekler | 74 |
| 3.3.1. Bir Tekil Temel Sistemindeki Her Bir Tekil Temelin Konsolidasyon Oturması İçin Sayısal Örnek | 74 |
| 3.3.2. Bir Şerit Temel Sistemindeki Her Bir Şerit Temelin Konsolidasyon Oturması İçin Sayısal Örnek | 76 |
| 3.3.3. Bir Radye Temelde Her Bir Kolon Altında Meydana Gelen Konsolidasyon Oturması İçin Sayısal Örnek | 77 |
| | |
| BÖLÜM 4. SONUÇLAR | 80 |
| | |
| KAYNAKLAR | 83 |
| EKLER | 85 |
| ÖZGEÇMİŞ | 92 |

Ö Z E T

Bu çalışmada Trabzon ve çevresi killerinin konsolidasyon özelliklerini araştırmak amacıyla, belli yerlerden (Uzunkum, Köy Hizmetleri, Çamburnu, Havaalanı-Konakkent Söğütlü) küçük ($D=50$ mm, $H=20$ mm) ve büyük ($D=76.2$ mm, $H=19$ mm) metal halkalar ile alınan kil örnekleri üzerinde konsolidasyon deneyleri yapıldı ve kil örneklerine ait konsolidasyon özellikleri belirlendi. Konsolidasyon deney sonuçlarından, bu killerin aşırı konsolide olduğu ve yükseklikleri aynı, çapları farklı örneklerde, büyük çaplı örneklerin yan sürtünmelerden daha az etkilendikleri bulunmuştur.

Yüzeysel temel sistemlerinde, her bir temelin merkezi altında meydana gelen konsolidasyon oturmaları hesabında, komşu temellerin etkisi düşünülmemektedir. Gerçekte, temeller birbirleriyle etkileşim içindedir ve bu etkileşim sonucu, temeller altındaki gerilmeler artmaktadır, dolayısıyla da oturmalar artmaktadır. Bu çalışmada, gerilmeler ve konsolidasyon oturmalarının hesabında, bu etkileşim dikkate alındı. Pratikte, tablolar yardımı ile yapılan oturma hesapları uzun zaman almakta ve yaklaşıklık içermektedir. Geliştirilen bilgisayar programları ile, oturma hesapları, daha hızlı ve daha kesin yapılabilir. Çalışmanın bu yönyle, pratikte çalışan mühendislere yararlı olacağına inanılmaktadır.

Konsolidasyon deneylerinin uzun zaman alması ve tez süresinin sınırlı olması nedeniyle, sınırlı sayıda deney yapılabildi. Trabzon ve çevresi killerinin konsolidasyon özellikleri daha kapsamlı bir şekilde incelenmelidir. Çalışmanın, bu konuda, bir başlangıç olacağına inanılmaktadır.

S U M M A R Y

In this work, the consolidation tests were carried out on the specimens taken from certain locations (Uzunkum, Köy Hizmetleri, Çamburnu, Havalanı-Konakkent, Söğütlü) with small (Diameter, D=50 mm, height, H=20 mm) and big (D=76.2 mm, H=19 mm) consolidation rings, in order to investigate, the consolidation characteristics of some Trabzon clays, experimentally. As a result, it is found that the above mentioned clays are over-consolidated and bigger diametered samples among having equal height give better results in the consolidation tests, from the side friction point of view.

In the consolidation settlement calculation of the shallow foundation systems, the interaction of the neighbouring foundations are not taken into account. In fact, the neighbouring foundations influence each other and as a result of this interaction, the stresses under foundations and settlements may increase considerably. In this study, this interaction was taken into account in the calculation of the stresses beneath foundations and consolidation settlements. In practice, settlement calculations are done manually with tables. This is time-taking and approximate. The settlement calculations can be done more quickly and more exactly with the presented computer programs in this thesis. It is believed that this will be useful for practicing engineers.

The limited number of consolidation tests were run due to short of time. Trabzon clays should be investigated more comprehensively and it is believed that this work will be an initial point.

BÖLÜM 1 G İ R İ Ş

1.1. Temellerin Tanımı, Sınıflandırılması ve Koşulları

Genel anlamda yapı zeminle doğrudan ilişkisi olan ve insanlar tarafından yapılan, sabit herhangi bir şey (bina, silo, köprü, baraj, yol, havaalanı, akaryakıt tankı, istinat duvarı vb.) olarak tanımlanabilir (Golder, 1971). Yapıya etkiyen çeşitli yükler temel veya temeller ile zemine aktarılır. Temeller, sıç temeller (tekil temel, şerit temel, radye temel vb.) ve derin temeller (kazıklı temel, ayak temel, keson temel vb.) olmak üzere iki ana gruba ayrılırlar. Bir temel veya temel sisteminin aşağıdaki üç koşulu sağlanması gereklidir.

a) Taşıma gücü koşulu : Yüklenmiş temel; zeminde kırılma (gögme) meydana getirmemeli ve de böyle olaylara karşı belli bir güvenliği olmalıdır.

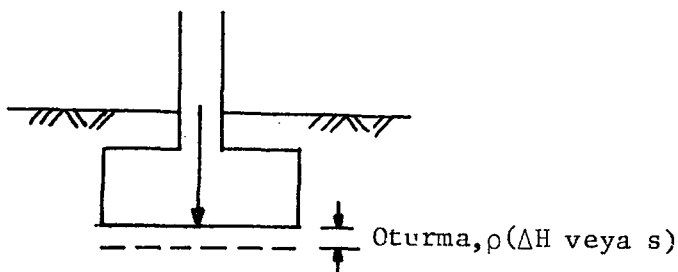
b) Oturma koşulu : Temeller vasıtasıyla yüklenen zemin ortamda meydana gelebilecek oturmalar, yapıya zarar verebilecek büyüklükte olmamalıdır.

c) Ekonomiklik koşulu : Her mühendislik işinde olduğu gibi temel veya temeller ekonomik olmalıdır.

1.2. Zemin Cinslerine Göre Oturmalar

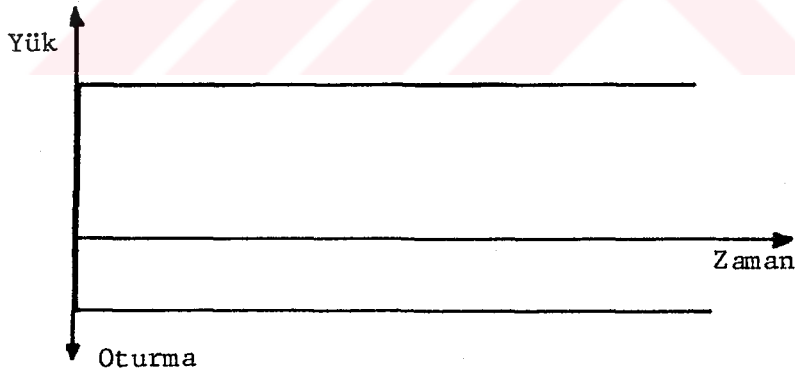
Temeller vasıtasıyla yüklenen zemin ortamda az veya çok bir oturma (çökme, sıkışma, tasman) olur. Oturma yapı temelerinde düşey hareket olarak tanımlanabilir. Bilindiği gibi zemin, çeşitli büyüklükte (birkaç desimetreden birkaç mikrona kadar) ve biçimde (yuvarlak, köşeli, yassı, iğne biçimli vb.) taneler ve taneler arası boşluklardan oluşan doğal bir

malzemedir. Taneler arası boşluklar tamamen hava, tamamen su veya kısmen su ve kısmen hava ile dolu olabilir. Genel anlamda; uygulanan yüklerden veya etkilerden dolayı taneler arası boşlukların azalması ile oluşan kısa veya uzun süreli bir hacim azalması, sıkışma olayıdır.



Şekil 1.1: Oturma

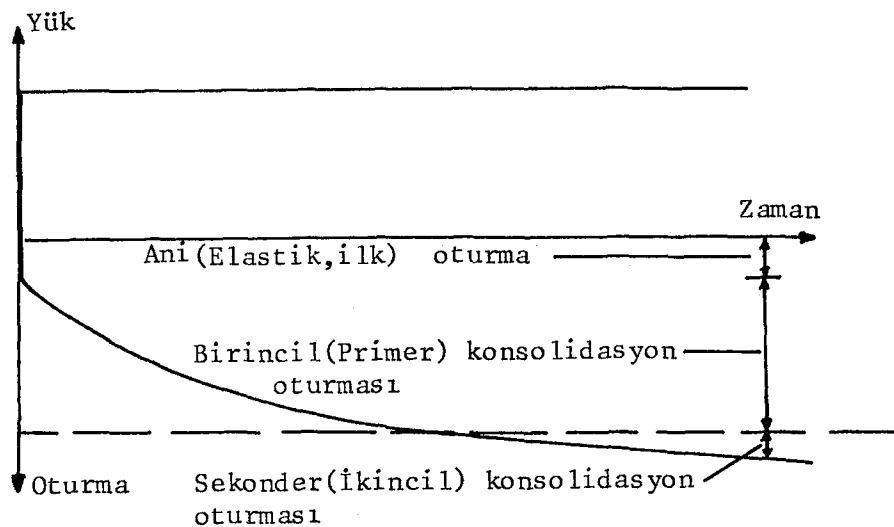
Kohezyonsuz zeminlerde (kum, çakıl gibi taneli zeminler), oturma kısa sürelidir. Yani, yük uygulanır uygulanmaz oturma kısa sürede meydana gelir (Şekil 1.2). Böyle zeminlerde tanelerin yeniden yerleşmesi veya doygun zeminlerde, yüksek geçirimlilikten dolayı boşluklardaki suyun bir kısmının dışarı akarak boşluk hacminin azalması kısa sürede olur.



Şekil 1.2: Kohezyonsuz zeminlerde oturma-zaman ilişkisi

Kohezyonsuz zeminlerde oturmanın hesaplanması, daha ziyade arazi deneylerine (Standart Penetrasyon Deneyi, Hollanda Konisi Deneyi, Presiyometre Deneyi, Plaka Yükleme Deneyi vb.) dayanır.

Kohezyonlu zeminlerde (kil, silt gibi ince taneli zeminler) oturma olayı, düşük geçirimlilikten dolayı, boşluklarda suyun bir kısmının dışarı çıkması sonucu uzun zaman alır (Şekil 1.3).



Şekil 1.3: Kohezyonlu zeminlerde oturma-zaman ilişkisi

Kohezyonlu zeminlerde toplam oturma, üç bileşenden oluşur:

1) Ani (ilk, elastik) oturma (ρ_i): Yük uygulanır uygulanmaz, zeminin düşük geçirimliliğinden dolayı, hacim değişikliği olmaksızın ($\Delta V=0$, poisson oranı $\nu=0.5$) meydana gelen oturmadır.

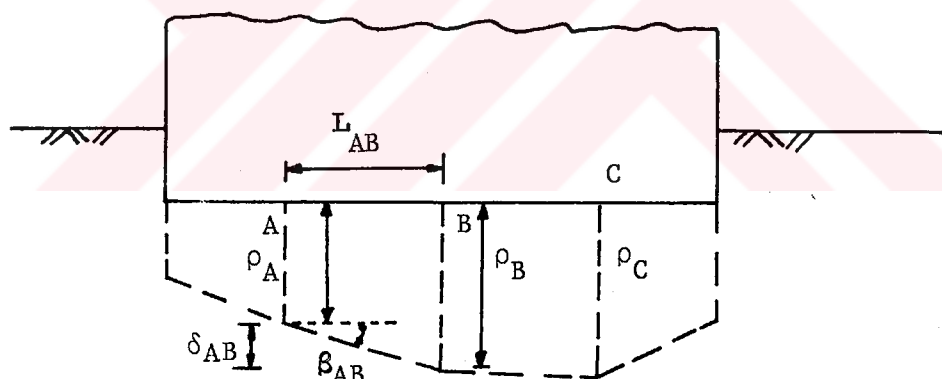
2) Birincil (primer) konsolidasyon veya konsolidasyon oturması (ρ_C): Suya doygun kıl tabakasına aktarılan ek düşey gerilmelerden dolayı, zeminin boşluk suyu basıncı artar. Boşluk suyunun bir kısmı, zeminin düşük geçirimliliğinden dolayı uzun sürede tabaka dışına çıkar. İşte sabit bir gerilme altında uzun sürede meydana gelen oturmaya birincil (primer) konsolidasyon oturması denilir. Kohezyonlu zeminlerde, toplam oturmanın büyük bir bölümünü oluşturan oturma bileşeni, birkaç cm'den birkaç m'ye kadar devam edebilir.

3) İkincil (sekonder) konsolidasyon oturması (ρ_S): Birincil konsolidasyon oturması, normal olarak zeminde yaratılan ek boşluk suyu basıncının sona ermesi ile (sönmesiyle, sıfır olmasıyla) durması gereklidir. Ancak, araştırmalar, ek boşluk basıncının sıfır olmasından sonra da sabit efektif gerilmeler altında oturmanın çok düşük bir hızla devam ettiğini göstermiştir. Bir tür akma (krip) olayı olan bu tür oturmaya sekonder konsolidasyon oturması denilir.

1.3. Oturma Terimleri ve Ölçütleri

Bir yapı ne kadar doğru hesaplanırsa hesaplansın, yapının inşaatı öngörülenlere ne kadar uygun gerçekleştirilirse gerçekleştirilsin; temel oturmaları dikkate alınmazsa, diğer bir deyişle temel oturmaları belli değerleri (izin verilebilir oturma değerleri) aşarsa, yapılarda çatlaklar, ağır hasarlar hatta yıkılmalar meydana gelebilir. Mevcut yapılardaki hasarlar veya göçme nedenlerinin başında oturmalar, özellikle farklı oturmalar gelmektedir (Uzuner, 1984; 1985). Bu bakımdan temel zemini iyi incelenmeli ve yapının muhtemel oturmalarının dikkate alınması gereklidir.

Temel sisteminde herhangi bir noktanın düşey yer değiştirmesi miktarına mutlak oturma (ρ) denilir. Şekil 1.4 de A noktasının mutlak oturması ρ_A , B noktasının mutlak oturması ρ_B gibi.



Şekil 1.4: Oturma terimleri

Birbirine komşu iki noktanın mutlak oturmaları arasındaki farka, oturma farkı veya farklı oturma denilir. Şekil 1.4 de A ve B noktaları arasındaki farklı oturma δ_{AB} aşağıdaki gibi yazılabilir.

$$\delta_{AB} = \rho_B - \rho_A \quad (1.1)$$

İki nokta arasındaki farklı oturmanın, aradaki uzaklığı oranı ise açısal distorsiyon (β) olarak tanımlanabilir. Şekil 1.4'de A ve B noktası arasındaki açısal distorsiyon aşağıdaki gibi yazılabilir.

$$\beta_{AB} = \frac{\delta_{AB}}{L_{AB}} = \frac{\rho_B - \rho_A}{L_{AB}} \quad (1.2)$$

Oturma yapan hasarlı ve hasarsız yapılar üzerinde yapılan gözlemler sonucu, çeşitli yazarlar tarafından, değişik yapılar ve koşullar için aşılmasası istenen izin verilebilir oturma değerleri veya ölçütleri önerilmiştir (Skempton ve Mac Donald, 1956; Polshin ve Tokar, 1957; Bjerrum, 1963; Grant ve diğ., 1974; Terzaghi ve Peck, 1967 vb.). Skempton ve Mac Donald, genel olarak $\beta=1/300$ ün aşılmasını önermişlerdir. Bunlar, ayrıca, izin verilebilir farklı oturmaları, kile oturan temellerde 40 mm, kuma oturan temellerde 25 mm olarak önermişlerdir. Gene izin verilebilir mutlak oturmaları, kilde, tekil temeller için 65 mm, radye temeller için 65-100 mm; kumda tekil temeller için 40 mm, radye temeller için 40-65 mm olarak önermişlerdir.

1.4. Oturma Nedenleri

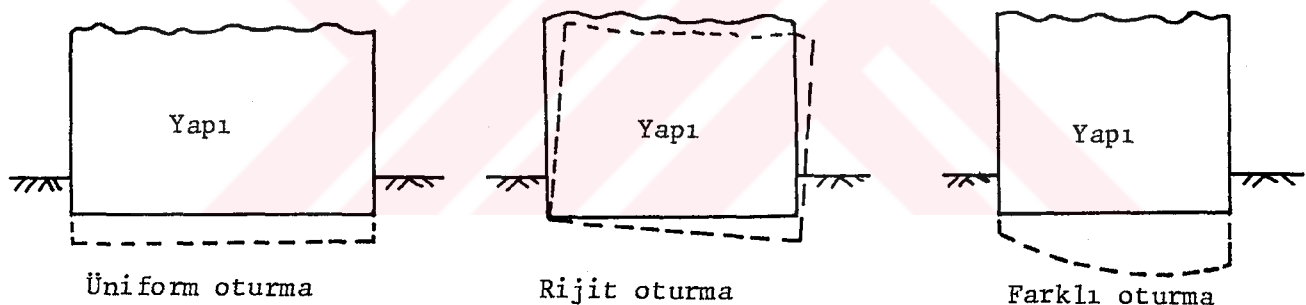
Oturma olayına çeşitli nedenler yol açar. Bunlar genel olarak aşağıdaki gibi belirtilebilir (Ostorberg, 1973; Simons ve Menzies, 1975):

- Zeminin yüklenmesi
- Yeraltı su düzeyinin indirilmesi
- Taneli zeminlerde meydana gelen titresimler (Depremler, kazık çakma işlemleri vb.)
- Bitişik kazılar nedeni ile mevcut temel veya temellerin altındaki zemin durumunun bozulması
- Yeraltındaki boşluk, mağara, tünel, galeri vb. çökmesi
- Yeraltı su akımlarının yol açtığı erozyon
- Yer kaymaları

- Temel elemanlarının tahrip olması (sulfatlı suların betonu etkilemesi, çelik kazıkların paslanması, ahşap kazıkların çürümesi veya kemirilmesi gibi)
- Don olayı
- Mevsimlik ıslanma ve kuruma olayları
- Zeminin ısınması
- Killi zeminlerde çabuk büyüyen ağaçlar
- Zeminde meydana gelen kimyasal olaylar
- vb.

1.5. Oturma Tipleri ve Zararları

Bir yapının oturması; üniform oturma, rijit dönme ve farklı oturma olmak üzere 3 temel biçimde veya bunların karışımı biçiminde olabilir (Şekil 1.5).



Şekil 1.5: Yapılarda üç tip oturmanın sematik olarak gösterilmesi

Üniform oturmada, planda yapının her noktası eşit miktarda oturur. Üniform oturma yapıya doğrudan zarar vermezse de, aşağıdaki sorunları doğurur:

- Yapıya giren-çıkan yeraltı borularının hasar görmesi
- Yapı çevresindeki drenaj sisteminin zarar görmesi
- Yapıya, aşağıya doğru bir eğimli rampayla girilmesi
- Otturmaların tamamlandığı eski yapı ile yeni yapı arasında seviye sorunlarının ortaya çıkması vb.

Yapıya asıl zarar veren farklı oturmalar olup, aşağıdaki nedenlerden meydana gelebilirler:

- Üniform kalınlıktaki bir tabakada, planda ve düşey doğrultuda sıkışma özelliklerinin değişmesi
- Aynı zemin tabakasında, tabaka kalınlığının değişmesi
- Oturmaların meydana geldiği zemin derinliği içinde, yerel sert veya yumuşak bölgelerin (zonların) varlığı
- Gerilmelerin birbiri üzerine binmesi
- Temel büyüklüklerinin, derinliklerinin ve taban basınclarının farklı olması vb.

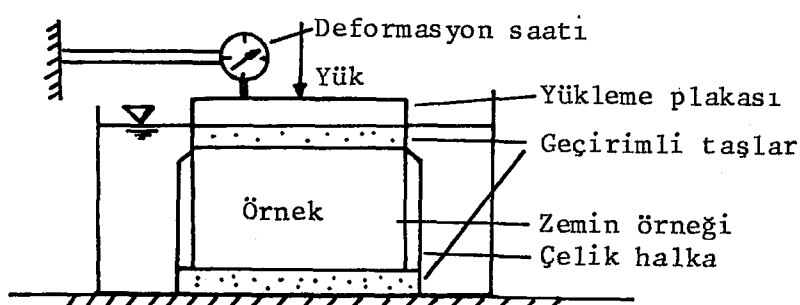
BÖLÜM 2

BAZI TRABZON KİLLERİNİN KONSOLIDASYON ÖZELLİKLERİ

2.1. Konsolidasyon Oturması

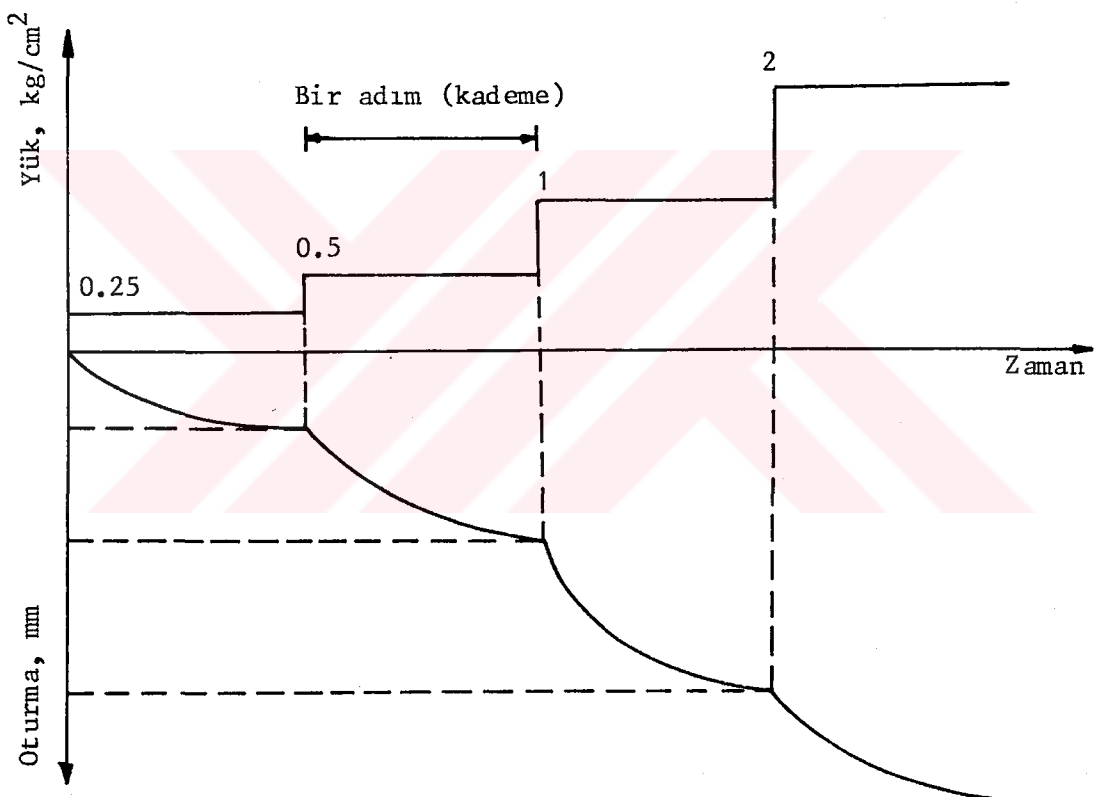
2.1.1. Konsolidasyon Deneyi

Suya doygun kohezyonlu bir zemin tabakasının konsolidasyon oturmasını tahmin etmek için, tabakadan örselenmemiş zemin örneği alınır. Ucu keskin çelik bir halka içindeki zemin örneği konsolidasyon aletine (odometre) yerleştirilir (Şekil 2.1). Konsolidasyon aleti bir yük kolu ve çelik halka içerisindeki örneğin yerleştirildiği bir hücreden oluşur. Çelik halka zemin örneğinin yanal deformasyonunu önler. Sıkışma (oturma), sadece düşey doğrultuda olur. Buna bir boyutlu konsolidasyon denilir. Çelik halka içerisinde yanal deformasyonu sınırlanmış örselenmemiş zemin örneğinin alt ve üst yüzeylerine suyun giriş çıkışını sağlamak amacıyla geçirimli (poroz) taşlar yerleştirilir.



Şekil 2.1: Konsolidasyon (Odometre) deneyi

Basınç altında örneğin oturması yükleme başlığı üzerine yerleştirilen deformasyon saati ile ölçülür. Yükleme adım adım yapılır (Şekil 2.2). Uygulanan adım değerleri 0.25, 0.50, 1, 2, 4, 8, 16, 32, vb. kg/cm^2 olarak seçilir. Her adımda, adımlının başlangıcından itibaren belli süreler sonunda (0, 0.25, 0.50, 1, 4, 9, 16, 25, 36, 49, 64, 81, 100 dak ve 2, 4, 8 ve 24 saat) oturma değerleri, deformasyon saati gözlenerek kaydedilir. Her adımda oturmalar sona erene kadar (24 saat gibi) beklenir. Yükleme bittikten sonra boşaltma yapılır ve benzer işlemler uygulanır.

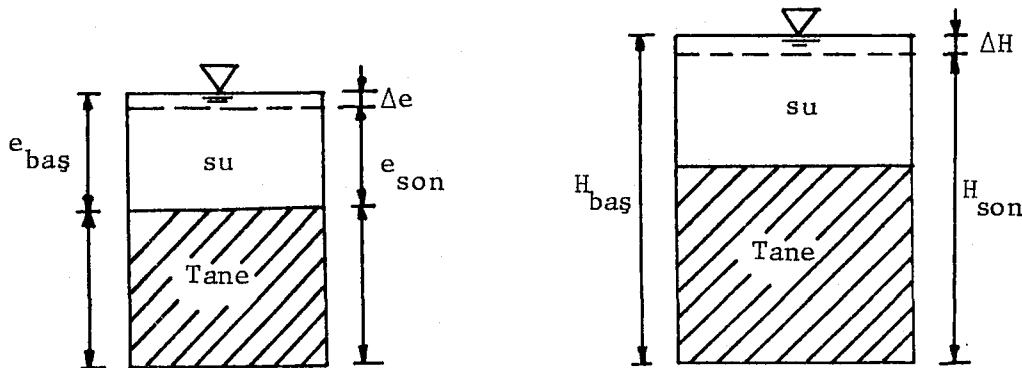


Sekil 2.2: Yükleme adımları

Uygulanan basınc altında belli bir zaman sonra son oturma-ya ve denge boşluk oranına ulaşılır. Denge durumunda uygulanan basınc, örneğin efektif gerilmesine eşit olur. Basınc artırı-lırsa yeni denge boşluk oranlarına ulaşılır.

Her adının sonu için, zemin örneğinin boşluk oranı, deformasyon saati okumasından ve deney sonunda örneğin su muhtevası ya da kuru ağırlığından hesaplanabilir. Şekil 2.3 deki

bileşenler diyagramından yararlanarak deney sonu boşluk oranı, aşağıdaki yöntemlerden biri kullanılarak bulunabilir.



Şekil 2.3: Bileşenler diyagramı

- a) Zemin örneğindeki tane yüksekliği, aşağıdaki gibi hesaplanabilir.

$$H_s = \frac{w_k}{\gamma_s \cdot A} \quad (2.1)$$

w_k : Zemin örneğinin kuru ağırlığı

γ_s : Zemin örneğinin tane birim hacim ağırlığı

A : Zemin örneğinin dairesel alanı

Bir adımlın sonunda, boşluk oranı aşağıdaki gibi hesaplanır.

$$e_{son} = \frac{H_{son} - H_s}{H_s} \quad (2.2)$$

H_{son} , zemin örneğinin adım sonundaki yüksekliği olup,

$H_{son} = H_{bas} - \Delta H$ ile hesaplanır. Bu yöntemde hesaplamalar baştan sona doğru yapılır. Hesaplamalar, tablo üzerinde kolayca yapılabilir.

- b) Konsolidasyon deneyi sonunda, zemin örneğinin boşluk oranı ($s_r = 100$ kabul edilerek),

$$e_{son} = w_{son} \cdot \gamma_s \quad (2.3)$$

dir. w_{son} , deney sonunda zemin örneğinin belirlenen su muhtevasıdır.

Herhangi iki durum arasında, boşluk oranı ve boşluk oranı farkı ile yükseklik ve yükseklik farkı arasında, aşağıdaki genel ilişki yazılabilir.

$$\frac{\Delta e}{1+e} = \frac{\Delta H}{H} \quad (2.4)$$

Bağıntı (2.4), başlangıç değerleri cinsinden,

$$\frac{\Delta e}{1+e_{\text{baş}}} = \frac{\Delta H}{H_{\text{baş}}} \quad (2.4 \text{ a})$$

ve son değerler cinsinden,

$$\frac{\Delta e}{1+e_{\text{son}}} = \frac{\Delta H}{H_{\text{son}}} \quad (2.4 \text{ b})$$

biçimlerini alır.

Konsolidasyon deney başı ile deney sonu arasında, deney başı değerleri cinsinden boşluk oranı farkını yazalım:

$$\Delta e = \frac{1+e_{\text{baş}}}{H_{\text{baş}}} \Delta H \quad (2.5)$$

$e_{\text{baş}} = e_{\text{son}} + \Delta e$ olduğuna göre, bağıntı (2.5) aşağıdaki şekli alır:

$$\Delta e = \frac{1+e_{\text{son}} + \Delta e}{H_{\text{baş}}} \Delta H \quad (2.6)$$

Bağıntı (2.6) dan Δe hesaplanır, sonra $e_{\text{baş}} = e_{\text{son}} + \Delta e$ den $e_{\text{baş}}$ bulunur. Konsolidasyon deney başlangıcı ile, herhangi bir adım sonu arasında

$$\Delta e = \frac{1+e_{\text{baş}}}{H_{\text{baş}}} \Delta H$$

yazılıarak Δe elde edilir. Burada, $(1+e_{\text{baş}})/H_{\text{baş}}$ değeri sabittir. ΔH ise, konsolidasyon deney başı ile herhangi bir adım

sonu arasındaki sıkışma miktarıdır. Herhangi bir adım sonundaki boşluk oranı,

$$e = e_{\text{bas}} - \Delta e$$

olarak hesaplanır. Hesaplar, baştan sona doğru yapılır.

Benzer biçimde, herhangi bir adım sonu ile konsolidasyon deney sonu arasında

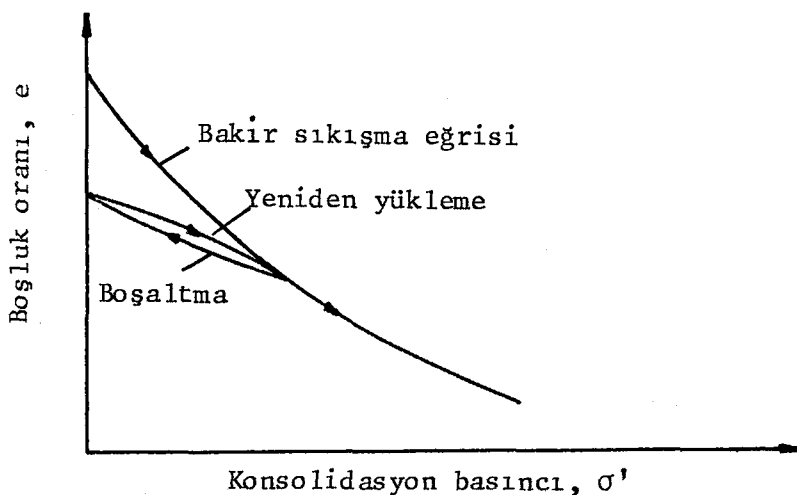
$$\Delta e = \frac{1+e_{\text{son}}}{H_{\text{son}}} \Delta H$$

yazılarak, Δe elde edilebilir. Burada da $(1+e_{\text{son}})/H_{\text{son}}$ değeri sabittir. ΔH ise herhangi bir adım sonu ile, konsolidasyon deney sonu arasındaki sıkışma miktarıdır. Herhangi bir adım sonundaki boşluk oranı,

$$e = e_{\text{son}} + \Delta e$$

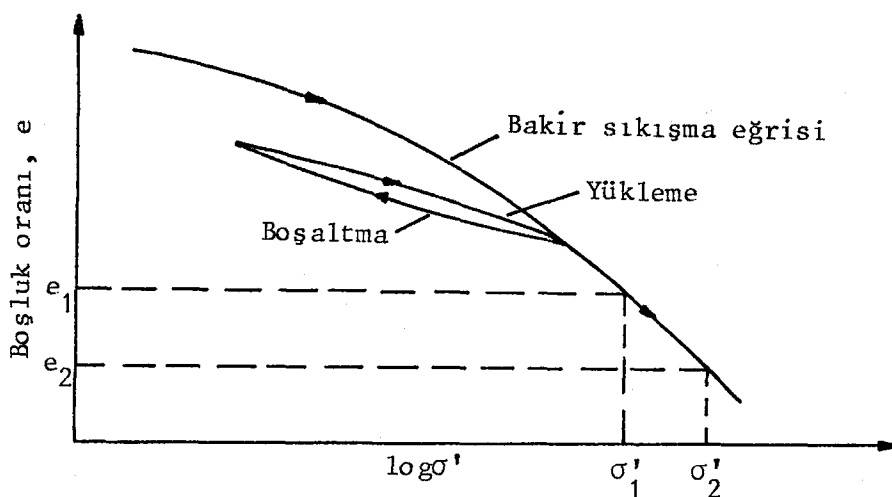
olarak hesaplanır. Hesaplar, sondan başa doğru yapılır.

Konsolidasyon deneyinde, boşluk oranı-gerilme ($e-\sigma'$) ilişkisi Şekil 2.4 deki gibidir.



Şekil 2.4: Konsolidasyon deneyinde $e-\sigma'$ ilişkisi

Aynı ilişki, $e-\log\sigma'$ olarak Şekil 2.5 deki gibi olur.



Şekil 2.5: Konsolidasyon deneyinde $e-\log\sigma'$ ilişkisi

Sıkışma indisi, C_C , Şekil 2.5 de bakır sıkışma eğrisinin eğimi olarak aşağıdaki gibi tanımlanır.

$$C_C = \frac{e_1 - e_2}{\log\sigma'_2 - \log\sigma'_1} = \frac{\Delta e}{\log\frac{\sigma'_2}{\sigma'_1}} = \frac{\Delta e}{\log\frac{\sigma'_1 + \Delta\sigma}{\sigma'_1}} \quad (2.7)$$

Kabarma veya şışme indisi, C_S de, benzer biçimde boşaltma eğrisinin eğimi olarak tanımlanır. Laboratuvar sıkışma indisi ile, likit limit arasında aşağıdaki bağıntı verilmiştir (Skempton, 1944).

$$C_C = 0.007 (w_L - 10) \quad (2.8)$$

Bağıntı (2.8) de, likit limit değeri tam sayı olarak yerine konmalıdır. Araziye ait sıkışma indisinin, laboratuvar sıkışma indisinden bir miktar daha büyük olduğu bulunmuştur. Araziye ait sıkışma indisi için aşağıdaki bağıntı verilmiştir:

$$C_C = 0.009 (w_L - 10) \quad (2.9)$$

Sıkışma sayısı a_v , aşağıdaki gibi tanımlanır:

$$a_v = \frac{\Delta e}{\Delta \sigma'} = \frac{e_1 - e_2}{\sigma'_2 - \sigma'_1} \quad (2.10)$$

Hacimsal sıkışma sayısı, m_v ; birim hacimdeki azalmanın birim gerilme artısına oranı olarak tanımlanır:

$$m_v = \frac{\Delta v/v}{\Delta \sigma'} \quad (2.11)$$

Bir boyutlu konsolidasyonda,

$$\frac{\Delta v}{v} = \frac{\Delta H}{H} = \frac{\Delta e}{1+e} \quad (2.12)$$

olduğundan, bağıntı (2.11) aşağıdaki gibi yazılabılır.

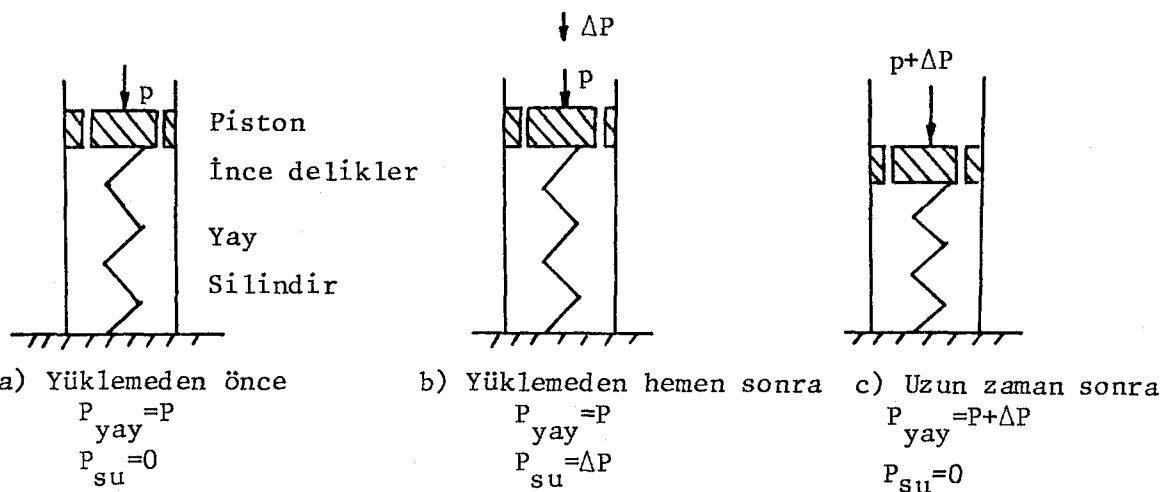
$$m_v = \frac{\Delta H/H}{\Delta \sigma'} = \frac{\Delta e/(1+e)}{\Delta \sigma'} = \frac{a_v}{1+e} \quad (2.13)$$

Hacimsal sıkışma katsayısı, m_v nin birimi cm^2/kg , m^2/t gibidir. m_v , a_v değerleri her adım için ayrı ayrı hesaplanır.

2.1.2. Konsolidasyon Olayının Anolojisi (Benzetimi)

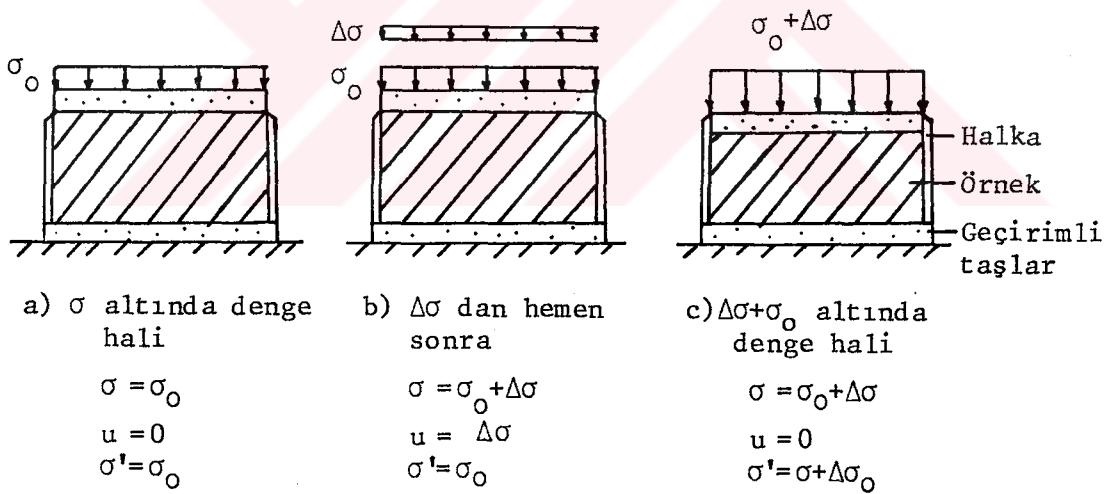
Konsolidasyon olayı en iyi, içi su dolu bir silindir, üzerinde çok ince delikler olan ve bir yay üzerine oturan piston düzeneğine benzetilerek açıklanabilir (Şekil 2.6).

Sabit bir P yükü altında uzun süre kalmış sistemde (Şekil 2.6 a durumu); P yükü yay tarafından taşınmaktadır, silindirdeki su, herhangi bir yük taşımamaktadır. Piston üzerindeki yük ΔP kadar artırıldıktan hemen sonra (Şekil 2.6 b durumu), suyun pratik olarak sıkışmaz olmasından dolayı, ΔP ek yükü su tarafından taşınır. Yaya ek yük gelmez. Zamanla basınç altındaki suyun bir kısmı, ince deliklerden yavaşça dışarı akarak çıkar ve bir süre sonra (Şekil 2.6 c durumu), su herhangi bir yük taşımaz. $P + \Delta P$ yükü, tamamen yay tarafından taşınır.



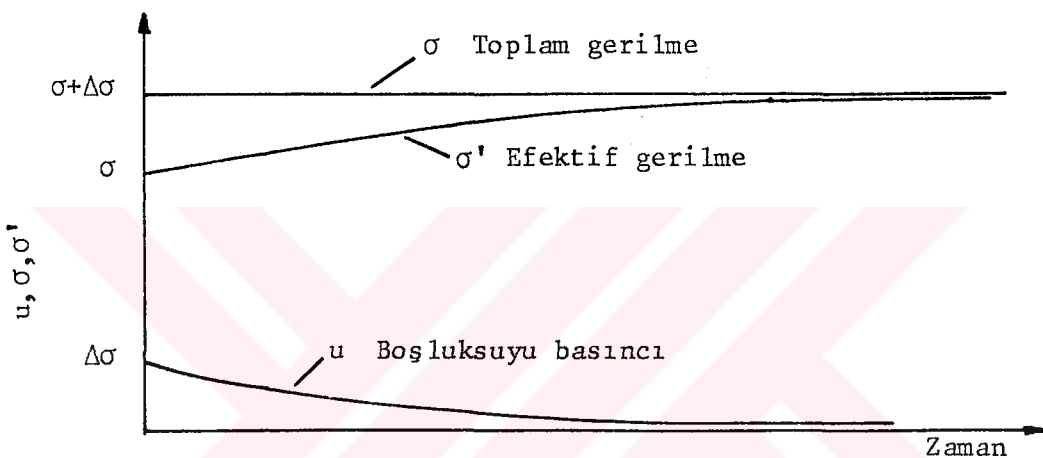
Şekil 2.6: Konsolidasyon olayının analogisi

Suya doygun bir tabakanın konsolidasyonunda veya konsolidasyon deneyindeki zemin örneğinde de benzer olaylar olur (Şekil 2.7).

Şekil 2.7: Konsolidasyon deneyinde σ , u ve σ' nun durumları

Bu benzetimde; pistondaki su, zemindeki boşluk suyuna; yay, zemin tane iskeletine; pistondaki ince delikler, zeminin geçirimliliğine; pistonun düşey hareketi, zeminin düşey oturmasına karşılık gelir. Şekil 2.7 de konsolidasyon deneyinde, herhangi bir basınç gerilmesi altında dengede olan (oturmasını tamamlamış) bir durumda (a durumu), gerilme $\Delta\sigma$ kadar artırıldıkten

hemen sonra (b durumu), ek gerilme artışı boşluk suyu tarafından taşınır ve boşluk suyu basıncı bir miktar artar. Zamanla basınç altındaki su, yavaşça dışarı akar ve uzun zaman sonra boşluk suyu ek basıncı sıfır olur (c durumu). Bu durumda boşluk suyu basıncı sıfır olup, $\sigma + \Delta\sigma$ gerilmeleri zemin tane iskeleti tarafından taşınır ve zemin örneği ΔH kadar konsolidasyon oturmasına uğrar. Burada, toplam gerilme (σ), boşluk suyu basıncı (u) ve efektif gerilme (σ') nun zamanla değişimi Şekil 2.8 deki gibidir.



Şekil 2.8: σ , u ve σ' nun konsolidasyon deneyinde zamanla ilişkisi

Arazide de gerilmeler benzer biçimde değişir. Ancak boşluk suyu basıncı, gerilme artışından hemen önce ve uzun zaman sonra sıfır olmayıp, sabit bir u değerine eşit olur.

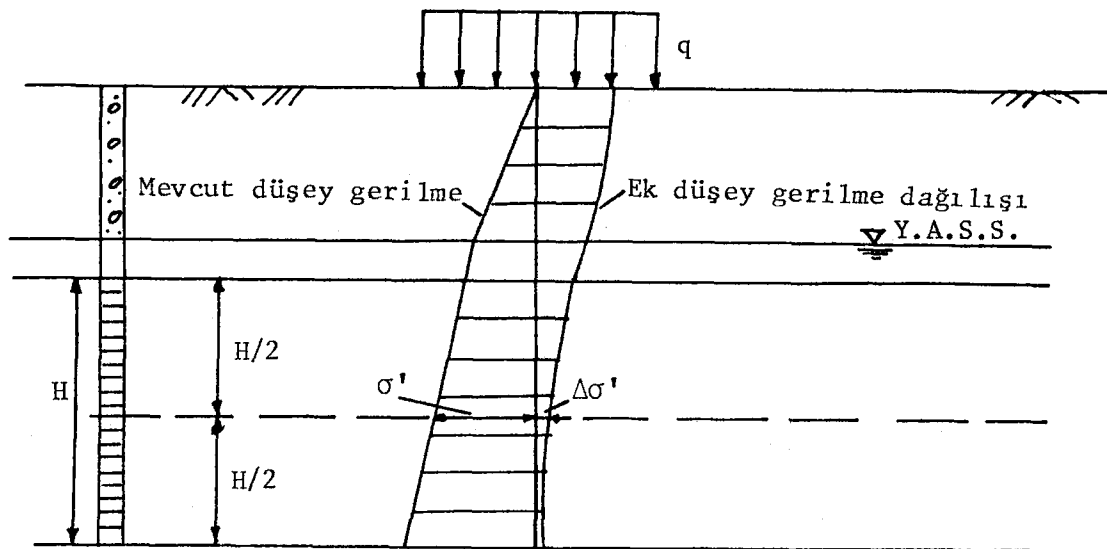
2.1.3. Konsolidasyon (birincil) Oturmasının Hesaplanması

Arazide, H kalınlığındaki suya doygın bir tabakanın son (nihai) konsolidasyon oturması, $\rho_C (\Delta H, S_C, \text{vb.})$ iki şekilde hesaplanabilir (Şekil 2.9).

a) Hacimsal sıkışma katsayısı ile:

Bağıntı (2.13) den oturma çekilirse,

$$\rho_C = m_V \cdot H \cdot \Delta\sigma' \quad (2.14)$$



Şekil 2.9: Konsolidasyon oturması

elde edilir. ρ_c : tabakanın toplam son (nihai) konsolidasyon oturması, $\Delta\sigma'$: yüklenmeden dolayı, tabaka ortasındaki efektif gerilme artışı, m_v : konsolidasyon deneyinden arazideki gerilme artış durumuna karşılık gelen hacimsal sıkışma katsayısı, H : tabakanın kalınlığı.

b) Sıkışma indisi ile:

Bağıntı (2.7) ve (2.12) den oturma çekilirse,

$$\rho_c = \frac{H}{1+e_0} C_c \log_{10} \frac{\sigma'_2}{\sigma'_1} \quad (2.15)$$

elde edilir. Burada, e_0 : Tabakanın yüklenmeden önceki durumuna ait boşluk oranı, σ'_1 : tabaka ortasında yüklenmeden önceki efektif gerilme, σ'_2 : yüklenmeden sonra, tabaka ortasındaki efektif gerilme, C_c : sıkışma indisi.

2.1.4. Ön Konsolidasyon Basıncının Belirlenmesi

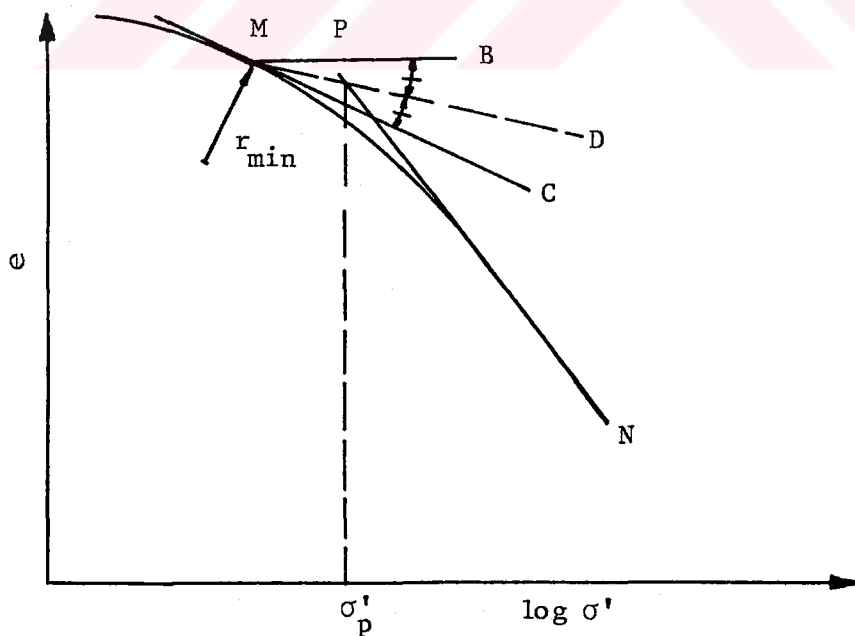
Killer konsolidasyon geçmişine göre, başlıca 3 kısma ayrırlırlar.

1) Normal konsolide olmuş killer: Geçmişte, halihazırdağı (şimdiki) yükünden daha büyük yüklerle maruz kalmamış olup, halihazırdağı yükler altında, konsolidasyonlarını tamamlamışlardır.

2) Aşırı konsolide olmuş killer: Geçmişte, halihazırdağı yükünden daha büyük yüklerle maruz kalmış killerdir. Bir tabaka jeolojik geçmişte, buz devrinde, buz ağırlığının etkisinde kalmış olabilir veya aşınma, kazı vb. nedenlerle tabaka üzerindeki yükler kalkmış olabilir.

3) Konsolidasyonu devam eden (konsolidasyon altındaki) killer: Şimdiki yükü altında konsolidasyonu tamamlanmamış, konsolidasyonu devam eden killerdir.

Aşırı konsolide olmuş bir kılın, geçmişte maruz kaldığı, konsolidasyon basıncı (ön konsolidasyon basıncı)'nı belirlemek için Casagrande (1936) aşağıdaki amprik yöntemi önermiştir (Şekil 2.10).



Şekil 2.10: Ön konsolidasyon basıncının belirlenmesi

e-log σ ' eğrisinde maksimum eğriliğin (minimum yarıçap) olduğu nokta M belirlenir. M noktasından yatay (MB) ve teğet (MC) çizilir. Eğrinin doğrusal kısmı (NP) uzatılarak, CMB açısının açıortayı ile kesistirilir. Bulunan p noktasına ait basıncı (σ'_p), ön konsolidasyon basıncıdır. Aşırı konsolide olmuş killere için, aşırı konsolidasyon oranı (OCR), aşağıdaki gibi tanımlanır:

$$\text{OCR} = \frac{\sigma' p \text{ (geçmiş)}}{\sigma' \text{ (şimdiki)}} \quad (2.16)$$

Aşırı konsolide olmuş killere, normal konsolide olmuş killere göre daha az oturma yaparlar. Çünkü e-log σ ' eksen takımı, aşırı konsolide olmuş kile ait kısım daha yatık olup, C_C sıkışma indisi daha küçüktür.

2.1.5. Arazi Konsolidasyon Oturması

Skempton ve Bjerrum (1957), konsolidasyon (odometre) deneyinde, yanal deformasyonun sıfır olduğunu, bu koşulun ancak sıkışan tabaka kalınlığına göre, çok büyük bir alanın yüklenmesi veya sınırlı bir alan altındaki ince bir kil tabakası olması durumlarında sağlanabileceğini öne sürdüler. Sonuç olarak, konsolidasyon deneyinden bulunan konsolidasyon oturmasının, arazi-deki oturmadan daha farklı olabileceğini belirttiler:

$$\sigma_C(\text{arazi}) = \mu \cdot \rho_C \text{ (odometre)} \quad (2.17)$$

μ : kili konsolidasyon geçmişine bağlı olarak verilen bir katsayı olup, konsolide olmuş killerde 0.6-1.0 arasında, aşırı konsolide olmuş killerde 0.4-0.7 arasında değişmektedir.

2.1.6. Terzaghi Bir Boyutlu Konsolidasyon Teorisi

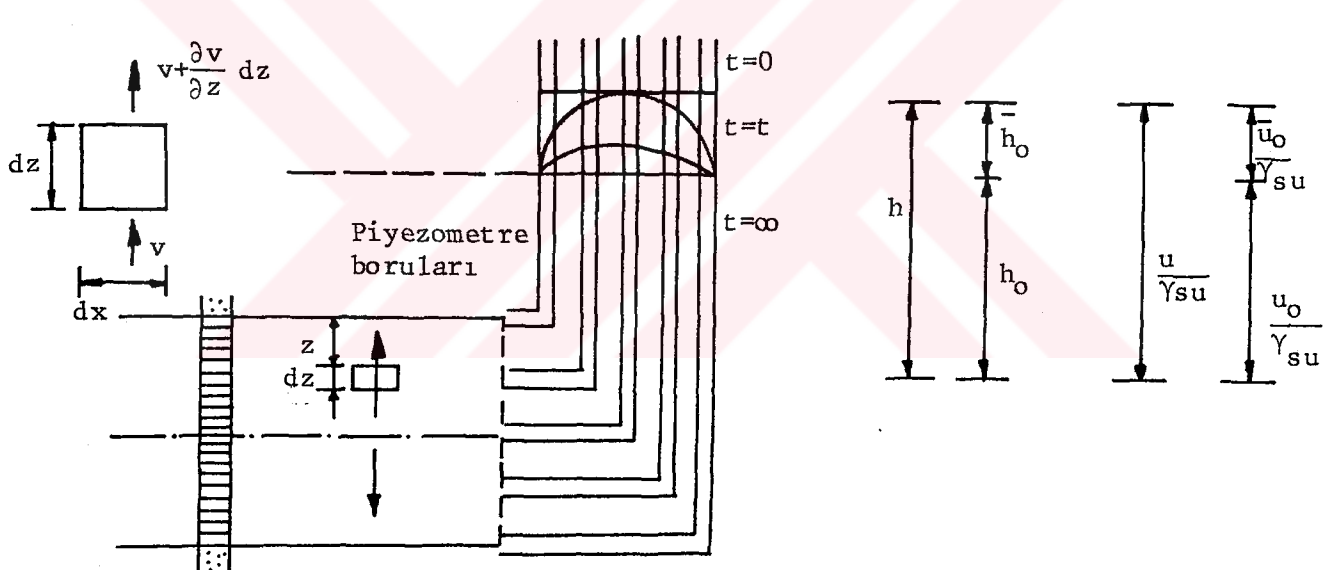
Bir boyutlu konsolidasyon teorisi, Terzaghi (1923) tarafından geliştirilmiştir. Bu teorinin geliştirilmesinde,

aşağıdaki basitleştirmeler, kabullenmiş olunmuştur:

- 1) Zemin homogen ve tam doygundur.
 - 2) Zemin taneleri ve boşluklardaki su, sıkışmazdır.
 - 3) Darcy yasası geçerlidir.
 - 4) Konsolidasyon süresince, geçirimlilik katsayısı, k , sabittir
 - 5) Sıkışma, sadece düşey doğrultuda olur.
 - 6) Tabaka sınırları geçirimli olup, su akışına ve çıkışına engel olmazlar.
 - 7) Tabakanın toplam yüksekliğinin değişimi (sıkışma miktarı) önemsiz olup, ihmal edilebilir.

Şekil 2.11 de, iki geçirimli tabaka arasında, suya doygun, H kalınlığında bir kil tabakası görülüyor.

Şekil 2.11 de, iki geçirimli tabaka arasında, suya doygun, H kalınlığında bir kil tabakası görülüyor.



Sekil 2.11: Terzaghi bir boyutlu konsolidasyon teorisi

z derinliğinde, dz kalınlığındaki bir eleman düşünelim. Elemanın diğer boyutları dx, dy olsun. Elemana suyun giriş hızı v_z , çıkış hızı $v_z + \frac{\partial v_z}{\partial z} dz$ olsun. Elemana giren su miktarı,

$$q_1 = v \cdot A = v_z dx dy \quad (2.18)$$

olur. Elemandan çıkan su miktarı,

$$q_2 = (v_z + \frac{\partial v_z}{\partial z} \cdot dz) dx dy \quad (2.19)$$

olur. Buradan, birim zamanda zemin elemanından çıkan Δq su miktarı,

$$\Delta q = q_2 - q_1 = \frac{\partial v_z}{\partial z} dz dx dy \quad (2.20)$$

olur. Elemanın hacmi, $V_O = dx dy dz$ ise elemanın hacim değişmesi, ΔV ,

$$\Delta V = m_v V_O \Delta \sigma'$$

olur. Bu azalmanın zamanla değişimi,

$$\frac{\partial (\Delta V)}{\partial t} = -m_v dx dy dz \frac{\partial (\Delta \sigma')}{\partial t} \quad (2.21)$$

olur. Süreklik denklemi gereği, bağıntı (2.20) ve (2.21) birbirine eşit olmalıdır.

$$\frac{\partial v_z}{\partial z} = -m_v \frac{\partial (\Delta \sigma')}{\partial t} \quad (2.22)$$

elde edilir. Darcy yasasına göre $v = k \cdot i$, $i = dh/dz$, $\bar{u} = h \gamma_{su}$ olur. Buradan, $h = \bar{u}/\gamma_{su}$ ve hidrolik eğim

$$i = \frac{1}{\gamma_{su}} \frac{\partial \bar{u}}{\partial z} \quad (2.23)$$

olur. Darcy Yasası,

$$v = k \cdot i = \frac{k}{\gamma_{su}} \frac{\partial \bar{u}}{\partial z} \quad (2.24)$$

elde edilir. Bağıntı (2.24) den,

$$\frac{\partial v_z}{\partial z} = \frac{k}{\gamma_{su}} \frac{\partial^2 \bar{u}}{\partial z^2} \quad (2.25)$$

elde edilir. Efektif gerilmektedeki artış, ek boşluk suyu basıncındaki azalmaya eşit olduğundan ($\Delta(\Delta\sigma') = -\Delta\bar{u}$) ,

$$\frac{\partial(\Delta\sigma')}{\partial t} = -\frac{\partial\bar{u}}{\partial t} \quad (2.26)$$

olur. Bağıntı (2.22) aşağıdaki biçimini alır.

$$\frac{\partial v_z}{\partial z} = m_v \frac{\partial\bar{u}}{\partial t} \quad (2.27)$$

Bağıntı (2.25) ve (2.27) eşitlenirse,

$$\frac{\partial\bar{u}}{\partial t} = \frac{k}{m_v \gamma_{su}} \frac{\partial^2\bar{u}}{\partial z^2} \quad (2.28)$$

elde edilir. Buradan,

$$\frac{\partial\bar{u}}{\partial t} = C_v \frac{\partial^2\bar{u}}{\partial z^2} \quad (2.29)$$

yazılır. C_v konsolidasyon katsayısı olup,

$$C_v = \frac{k}{m_v \gamma_{su}} = \frac{k(1+e_0)}{a_v \gamma_{su}} \quad (2.30)$$

şeklinde ifade edilir. Konsolidasyon katsayısı, cm^2/sn , vb. birimlere sahiptir.

Bağıntı (2.28) ve (2.29) bir boyutlu konsolidasyon olayının temel diferansiyel denklemi olup, ek boşluksuyu basıncının zamanla değişimini, ek boşluk suyunun dışarı atılma hizına bağlar.

Temel diferansiyel denklem, Fourier serileri ile çözülür (Sing ve Punmia, 1970). Çözümde aşağıdaki sınır koşulları sağlanır.

$$t = 0 \text{ için } z = z \text{ de } \bar{u} = \bar{u}_0 = \Delta\sigma = \text{sabit}$$

$$t = \infty \text{ için } z = z \text{ de } \bar{u} = 0$$

$$t = t \text{ için } z = 0 \text{ da } \bar{u} = 0 \\ z = H \text{ da } \bar{u} = 0$$

Çözüm, $U(\%)$, konsolidasyon yüzdesi ve T_v , zaman faktörü arasında, değişik drenaj yüzey koşullarına ve konsolidasyon basıncının tabaka kalınlığı boyunca dağılış biçimine bağlı olarak ifade edilir.

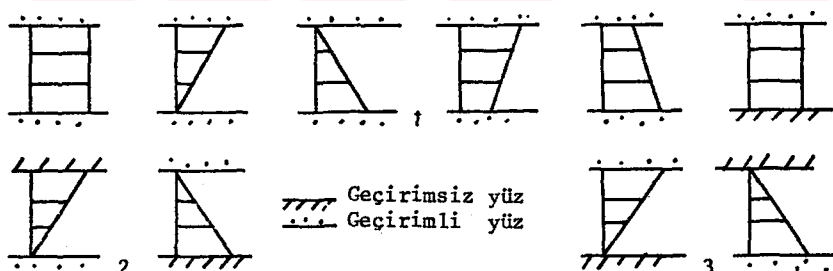
$$U(\%) = f(T_v) \quad (3.31)$$

zaman faktörü T_v , boyutsuz olup aşağıdaki gibi tanımlanır:

$$T_v = \frac{C_v t}{d^2} \quad (2.32)$$

Burada, C_v : konsolidasyon katsayısı (cm^2/sn), t : başlangıçtan itibaren geçen süre (sn), d : drenaj yolu uzunluğu (cm); tabakanın her iki yüzü drenaja açık ise $d=H/2$, tabakanın sadece bir yüzü drenaja açık ise $d=H$ olarak alınır. Çeşitli drenaj koşulları ve konsolidasyon basıncı dağılış biçimleri için $U-T_v$ ilişkisi Tablo 2.1 de verilmektedir.

Arazideki tabakada, drenaj koşulları ve konsolidasyon basıncının tabaka kalınlığı boyunca yaklaşık dağılışı biçimine uygun olarak, ilgili $U-T_v$ ilişkisi kullanılır.



Şekil 2.12:Drenaj koşulları ve konsolidasyon basıncı dağılışı

Tablo 2.1: $U-T_v$ ilişkisi

| U (%) | Zaman Faktörleri T_v | | |
|-------|------------------------|-------|-------|
| | 1 | 2 | 3 |
| 10 | 0.008 | 0.047 | 0.003 |
| 20 | 0.031 | 0.100 | 0.009 |
| 30 | 0.071 | 0.158 | 0.024 |
| 40 | 0.126 | 0.221 | 0.048 |
| 50 | 0.197 | 0.294 | 0.092 |
| 60 | 0.287 | 0.383 | 0.160 |
| 70 | 0.403 | 0.500 | 0.271 |
| 80 | 0.567 | 0.865 | 0.440 |
| 90 | 0.848 | 0.940 | 0.720 |

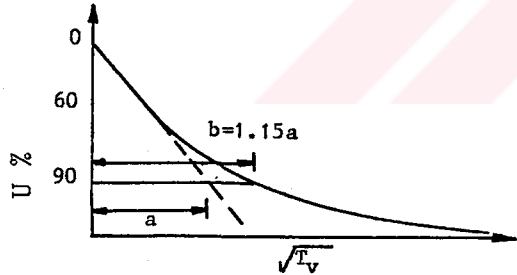
2.1.7. Konsolidasyon Katsayısının Belirlenmesi

Konsolidasyon katsayısı, C_V ; $U-T_V$ arasındaki teorik ilişkisinin, laboratuvar konsolidasyon deneyinde, konsolidasyon oturması-zaman ilişkisine olan benzerliğinden yararlanarak belirlenebilir. C_V 'nin belirlenmesinde kullanılan başlıca iki yöntem aşağıda açıklanmaktadır.

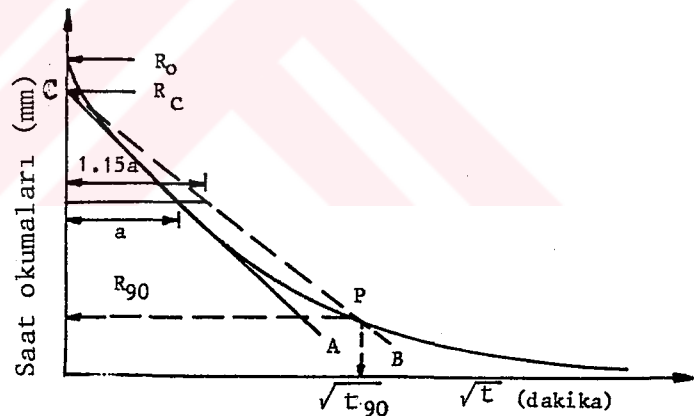
a) Karekök zaman yöntemi

Şekil 2.13 de teorik $\sqrt{T_V}$ - U ilişkisi görülmektedir.

Teorik $\sqrt{T_V}$ - U ilişkisinde, ilişki $U=60$ a kadar doğrusal olup; $U=90$ da, eğrisel $\sqrt{T_V}$, doğrusal kısmın 1.15 katıdır (Taylor, 1948). Bu özellikten yararlanarak; konsolidasyon deneyinde herhangi bir adım için, düşeyde deformasyon saati okumaları, yatayda \sqrt{t} (dakika) işaretlenir (Şekil 2.14).



Şekil 2.13: Teorik $\sqrt{T_V}$ - U ilişkisi



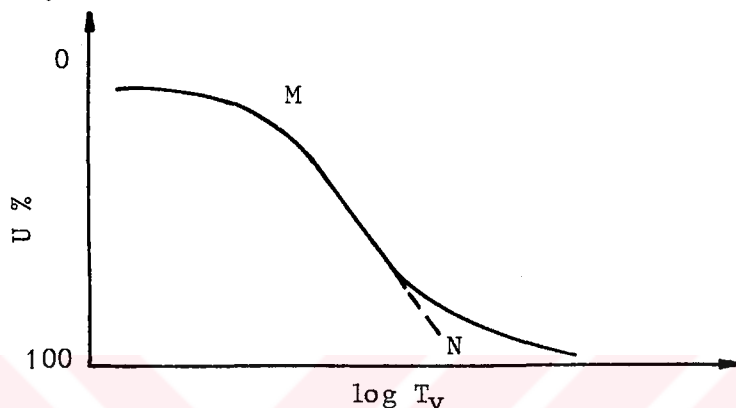
Şekil 2.14: Karekök zaman yöntemi

Çizilen ilişkinin doğrusal kısmı uzatılarak, deneysel başlangıç (R_O) düzelttilir (R_C). Doğrusal kısım (CA), yatayla 1.15 katı kadar büyütülerek, CB doğrusu çizilir. CB nin eğriyi kestiği noktası (P) ya karşılık gelen deformasyon saati okuması, O adım için, nihai konsolidasyon oturmasının %90 ını ve $\sqrt{t_{90}}$ ise bu oturmaya karşılık gelen zamani gösterir. Bağıntı (2.32) den C_V hesaplanır.

$$C_v = \frac{0.848}{t_{go}} d^2 \quad (2.33)$$

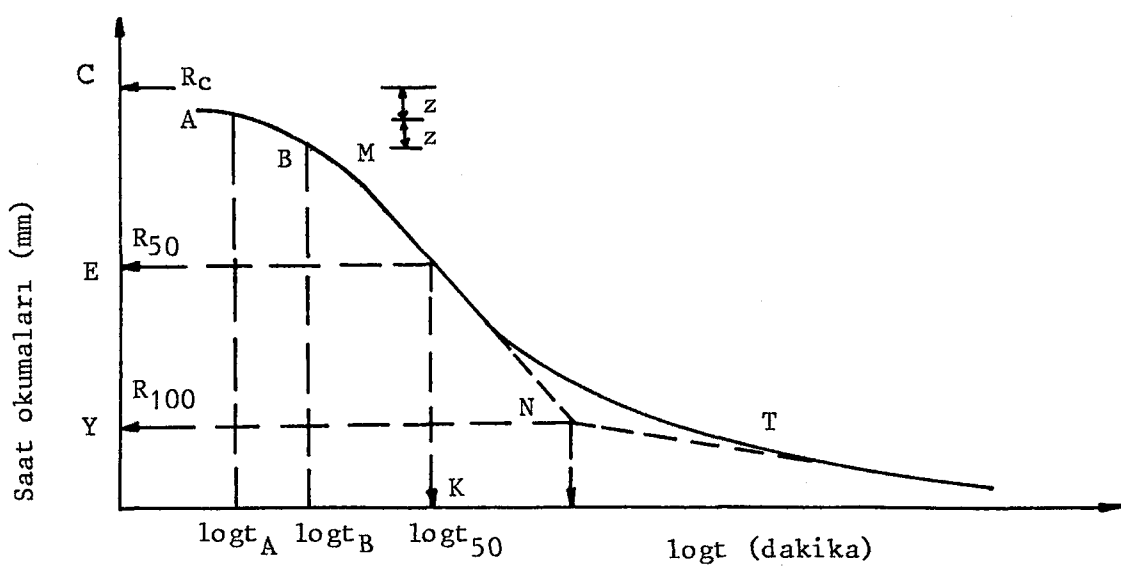
b) Logaritma zaman yöntemi

Şekil 2.15 de, teorik $U-\log T_v$ ilişkisi görülmektedir (Casagrande, 1939).



Şekil 2.15: Teorik $U-\log T_v$ ilişkisi

Bu teorik ilişkide, eğrinin son doğrusal bölümünün (MN), yatay asımtot doğrusunu kestiği noktanın (N), $U=\%100$ konsolidasyon oturmasına karşılık geldiği kabul edilir. Bu özellikten yararlanarak, konsolidasyon deneyinde, herhangi bir adım için, yatayda $\log t$ (dakika), düşeyde deformasyon saatı okumaları işaretlenerek oturma- $\log t$ ilişkisi çizilir (Şekil 2.16).



Şekil 2.16: Logaritma zaman yöntemi

Laboratuvar eğrisinin düzeltilmiş başlangıç noktasını belirlemek için, eğrinin başlangıç eğrisel kısmının parabol olduğu kabul edilir. Başlangıç kısmında, zaman oranları ($t_A/t_B = 1/4$) olan iki nokta (A,B) seçilir. İki nokta arasındaki düşey uzaklık (z) kadar A noktasından düşey uzaklıkta bir yatay doğru çizilir. Bu yatay doğrunun, düşey ekseni kesitiği C noktası, O adım için düzeltilmiş başlangıç okumasını verir. Eğrinin MN ve NT teğetlerinin kesiştiği N noktası karşılık gelen deformasyon saat okuması $U=\%100$ konsolidasyon oturmasını verir. $U=\%50$ konsolidasyon oturmasına (E noktası) karşılık gelen zaman (K noktası) $\log t_{50}$ dir.

Bağıntı 2.32 den C_V hesaplanır:

$$C_V = \frac{0.196 d^2}{t_{50}} \quad (2.34)$$

Konsolidasyon deney sonuçlarından C_V , m_V , vb. değerleri bilinirse, k geçirimlilik katsayısı, bağıntı (2.30) ile birlenebilir.

$$k = C_V m_V \gamma_{su} \quad \text{veya} \quad k = \frac{C_V a_V \gamma_{su}}{1+\epsilon_0} \quad (2.35)$$

2.1.8. ikincil (Secondary) Konsolidasyon

Terzaghi Bir Boyutlu Konsolidasyon Teorisinde, ek boşluk suyu basıncının sıfır olmasıyla (sönmesiyle), konsolidasyon oturmasının sona ermesi gereklidir. Deneysel çalışmalar ek boşluk suyu basıncının sıfır olmasından sonra da, bazı durumlarda, oturmanın çok yavaş bir hızlada olsa devam ettiğini göstermiştir. Bu olaya ikincil (secondary) konsolidasyon denilir. ikincil konsolidasyon oturmasının; zemin tane iskeletinin plastik deformasyonu ile kıl tanelerini saran yüksek viskoziteli adsorbe suyun bir kısmının yavaşça dışarı çıkışından kaynaklandığı sanılmaktadır. Genellikle ihmali edilebilecek kadar küçük olan ikincil konsolidasyon oturması (Şekil 1.3) bazı çok yüksek plastik killerde önemli olabilir.

İkincil konsolidasyon oturması, zamanın logaritması ile doğrusal olarak değişir (Şekil 2.16). İkincil konsolidasyon katsayısı, C_α , konsolidasyon deneyinde, birim sıkışma-logaritma zaman ($\Delta H/H - \log t$) ilişkisinde, son doğrusal kısmın (Şekil 2.16, NT) eğimi olarak tanımlanır:

$$C_\alpha = \frac{\Delta H/H}{\Delta \log t} \quad (2.36)$$

$\log t$ olarak, logt ekseninde bir zaman periyodu alınır. Bazen de, α , ikincil konsolidasyon katsayısı, boşluk oranı logt ($e - \log t$) ilişkisinde, son doğrusal kısmın eğimi olarak tanımlanır.

$$\alpha = - \frac{\Delta e}{\Delta \log t} \quad (2.37)$$

Arazide bir tabakaya ait ikincil konsolidasyon oturması, ρ_s tahmin edilirken, bağıntı (2.36) ve (2.37) kullanılabilir:

$$\rho_s = C_\alpha H \log \frac{t_2}{t_1} \quad (2.38)$$

veya

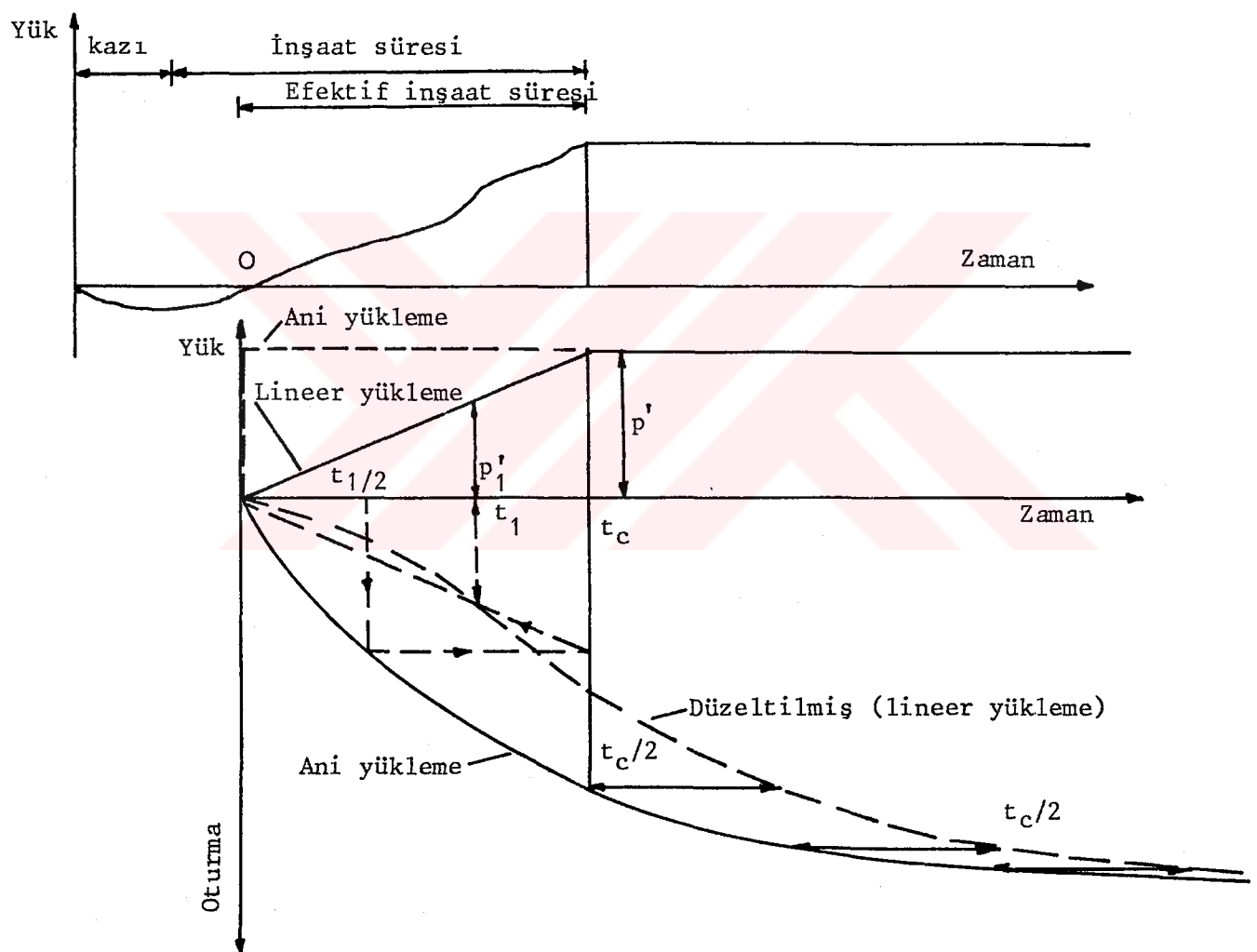
$$\rho_s = \alpha \frac{H}{1+e_0} \log \frac{t_2}{t_1} \quad (2.39)$$

H : Tabaka kalınlığı, t_1 : konsolidasyonun (birincil) başlangıcından itibaren, birincil konsolidasyonun sonuna kadar geçen süre ($U=%100$ veya $%90$ karşılık gelen süre), t_2 : genel konsolidasyonun başlangıcından itibaren, ikincil konsolidasyonun hesaplanmasıının istenildiği ana kadar geçen süre, e_0 : tabakanın ikincil konsolidasyon başlangıç boşluk oranı,

C_α veya α birçok etmene bağlı olarak değişmektedir (örnek kalınlığı, yük artış oranı, kil cinsi vb.).

2.1.9. Oturma-Zaman Eğrisinin Düzelttilmesi

Pratikte yapı yüklerinin zemine aktarılması ani olmayıp belli bir süre içinde, gittikçe artarak tamamlanır. Başlangıçta, kazıdan dolayı bir yük boşaltması ve buna bağlı olarak da, zeminde bir miktar şisme olur (Şekil 2.17). Kazı nedeniyile meydana getirilen yük boşaltması karşılanana kadar, kazı öncesine göre oturma olmaz.



Şekil 2.17: Düzelttilmiş ve düzeltilmemiş oturma-zaman eğrileri

Net oturma O noktasından başlar. Terzaghi, ani yüklemeye göre bulunan oturma-yük eğrisini, doğrusal yüklemeye göre düzelttilmesi için bir amprik yöntem önerdi. Zemine

gelen net p' yükü; yapı yükünden, kazı ağırlığının çıkarılması ile bulunur. Düzgün olmayan yük-zaman ilişkisinin, zamanla doğrusal olduğu kabul edilir. Herhangi bir andaki t_1 düzeltilmiş oturma-zaman değeri (ρt_{1d}) bulmak için $t_{1/2}$ anına karşılık gelen düzeltilmiş oturma değeri ($\rho t_{1/2}$), yüklerle orantılı olarak azaltılır.

$$\rho t_{1d} = \frac{p'_1}{p'} \quad \rho t_{1/2} \quad (2.40)$$

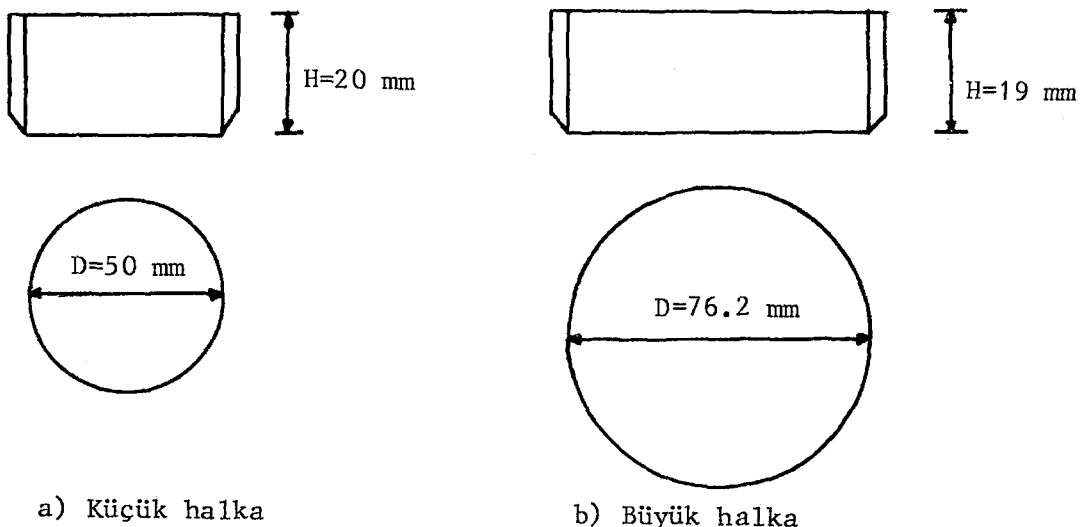
p'_1 : t_1 anında karşılık gelen yük. Düzeltme işlemi, hesapla yapılabileceği gibi, grafik olarak da yapılabilir (Şekil 2.17). Düzeltilmiş eğrinin, efektif inşaat süresinden sonraki kısmı, düzeltilmiş eğrinin $t_{c/2}$ kadar yatay yönde kaydırılmasıyla elde edilir.

2.2. Bazı Trabzon Killerinin Konsolidasyon Özellikleri

2.2.1. Deneysel Çalışma

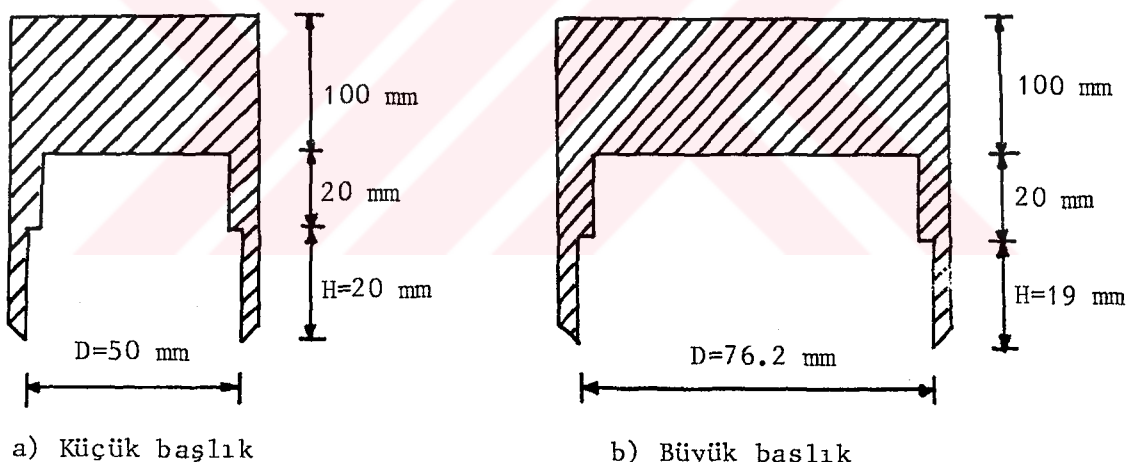
Trabzon ve çevresi killerinin konsolidasyon özelliklerini arastırmak amacıyla, belli yerlerden (Uzunkum, Köy Hizmetleri, Çamburnu, Havaalanı, Söğütlü) kil örnekleri alınarak, laboratuvara konsolidasyon deneyleri yapıldı ve bu kil örneklerine ait konsolidasyon özellikleri belirlendi. Konsolidasyon deneyinin uzun zaman alması ve tez süresinin sınırlı olması nedeniyle, sınırlı sayıda deney yapılabildi. Her bir yöreden biri büyük ($D=76.2$ mm, $H=19$ mm) ve diğeri küçük ($D=50$ mm, $H=20$ mm) olmak üzere iki ayrı kil örneği alındı. Şekil 2.18 de örselenmemiş kil örneklerinin alındığı metal halkalar görülmektedir.

Örselenmemiş zemin örneği alırken, metal halkaların zemine çakılarak veya itilerek sokulması sırasında kolaylık sağlamak, halkanın tüm yüksekliğinin dolmasını temin etmek ve çakma



Şekil 2.18: Kıl örneklerinin alındığı metal halkalar

işlemi sırasında metal halka içerisindeki örneğin sıkışmasını önlemek amacı ile Şekil 2.19 da gösterilen ahşap başlıklar yapıldı.



Şekil 2.19: Ahşap başlıklar

Kohezyonlu zeminlerden örselenmemiş zemin örneği alabilemek için, örnek alınacak noktada zemin yüzeyi düzlenir. Şekil 2.18 de gösterilen metal halkalar zemin yüzeyine oturtulur. Üzerlerine ahşap başlıklar yerleştirilir. Bir çekiçle ahşap başlıklar üzerine merkezi bir şekilde vurularak veya

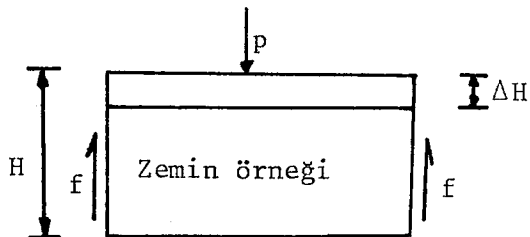
elle itilerek metal halkalar zemine sokulur. İçi zeminle dolan metal halkalar etrafı kazılarak çıkartılır. Zemin örneğinin metal halkaya girişi sırasında oluşabilecek sürtünmeleri azaltmak amacıyla, önceden metal halkaların iç yüzeyleri temizlenerek yağılanır. Örselenmemiş zemin örnekleri doğal durumları bozulmadan, özenle laboratuvara getirilir, alt ve üst yüzeyleri düzelttilir. Metal halka içerisindeki örselenmemiş zemin örnekleri konsolidasyon aletine dikkatli bir şekilde yerleştirilir. Kil örnekler, yüklemeye başlamadan önce, bir süre (birkaç gün) su içerisinde bekletilerek, suya doygun hale getirilir. Bu süre sonunda konsolidasyon deneyi kısım 2.1 de anlatıldığı gibi yapılır.

Burada, konsolidasyon deneyinin her ne kadar örselenmemiş zemin örnekleri üzerinde yapıldığından bahsedilmekte ise de gerek zeminden örnek alma işlemi sırasında, gerekse örnegi deneye hazırlamada, bir miktar örselenme meydana gelmektedir.

Deneye hazırlık ve deney sırasındaki bazı olumsuzluklar aşağıdaki gibi açıklanabilir:

1) Örnek yüzeyinin düzlenmesi : Metal halka içerisindeki örselenmemiş zemin örneklerinin alt ve üst yüzeylerinin bir bıçak yardımı ile düzlenmesi sırasında, örnek yüzeylerinde ince bir zemin tabakası bozulmaktadır. Van Zelst (1948), konsolidasyon deney örneginin alt ve üst yüzeylerinin düzlenmesi sırasında oluşan bozuk tabaka kalınlığının, örnek kalınlığından bağımsız olduğunu ve zemin örneginin her bir yüzeyinde belirli bir kil için 2-3 mm kadar bir kalınlığın bozulmuş olduğunu gösterdi. Bozulan tabakanın örnek kalınlığından bağımsız olduğu gözönünde bulundurulursa, ince örneklerde bozulmanın etkisi daha fazla olmaktadır. Bu çalışmada, aynı kalınlıktaki iki örselenmemiş kil örneklerinin alt ve üst yüzeylerinde meydana gelen bozuk tabaka kalınlığının aynı olduğu düşünülürse, iki halka üzerinde yapılan konsolidasyon deneyinde, deney sonuçlarının karşılaştırılmasında etkili olan bozuk tabaka kalınlığının deneye etkisini ihmal edebiliriz.

2) Yan (iç yüzey) sürtünmesi : Konsolidasyon deneyinde, uygulanan basıncın etkisi ile örneğin sıkışması sırasında, örnek ile metal halka yüzeyi arasında sürtünme kuvveti oluşur (Şekil 2.20).



Şekil 2.20: Yan (iç yüzey) sürtünmesi

Zemin örneğinin hareketi aşağıya doğru olup, sürtünme kuvveti yukarıya doğrudur. Sürtünme kuvveti uygulanan basıncın etkisini bir miktar azaltır. Sürtünme, metal halkanın iç yüzeyinin durumuna ve zemin cinsine bağlıdır.

Aynı çaplı, farklı kalınlıkları aynı cins iki zemin örneğinde halka ile örnek arasında oluşan sürtünme kuvvetinin, yanal yüzey alanı daha fazla olduğundan kalın halkada daha büyük olacağı açıktır.

Taylor (1942), belli bir kil üzerinde yaptığı deneylerde sürtünme kuvvetinin, yoğunmuş killer için, uygulanan yükün %12-22 si ve örselenmemiş killer için %10-15 i olduğunu göstermiştir. Sürtünme kuvveti, göreli olarak etkisinin küçük ve elde edilmesinin zor olması nedeni ile deneyel hesaplarda ihmal edilir.

Zeminin diğer özelliklerini (γ_s , w , w_L , w_p , vb.) belirlemek için alınan örselenmiş zemin örnekleri üzerinde aşağıdaki deneyler yapıldı.

Su muhtevasının (w) belirlenmesi : Su muhtevası belirlenecek olan zeminden bir miktar (50-100 gr) alınır. Bu zemin örneği darası alınmış, ısıya dayanıklı cam bir kaba konur ve 0.01 gr duyarlıklı bir terazide tartılır (w_{yas}). Bu kap etüve

konarak 105-110°C de 24 saat bekletilir. Kurutulan zemin örneği etüden alınarak desikatör içerisinde soğumaya bırakılır. Kuru örnek tartılarak kuru ağırlığı (w_{kuru}) belirlenir. Bu deney ortalama en az üç örnek üzerinde yapılır.

Zeminin su muhtevası kuru zemin ağırlığının yüzdesi olarak aşağıdaki gibi hesaplanır.

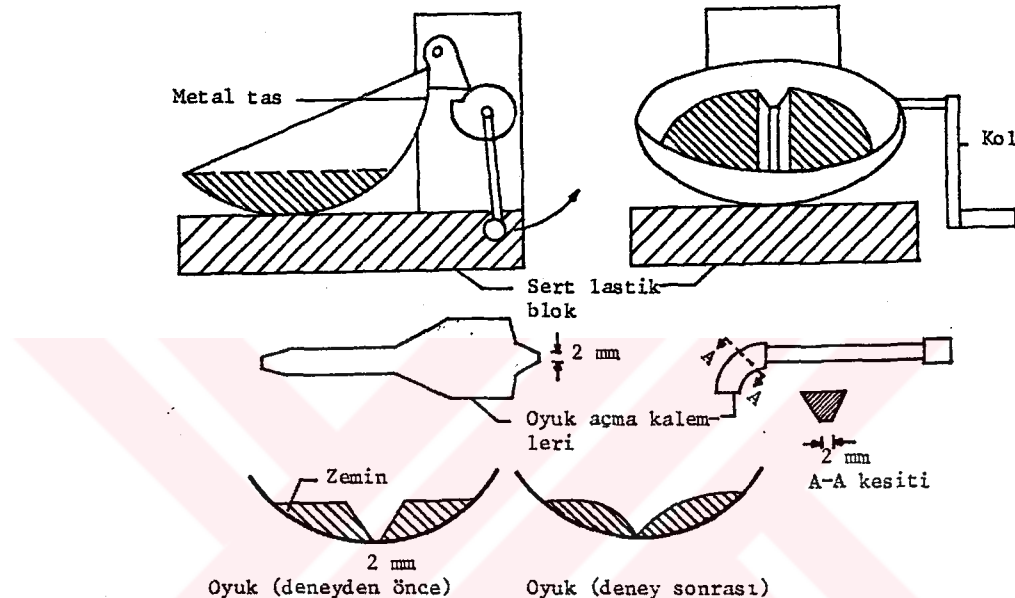
$$w = \frac{w_{su}}{w_{kuru}} = \frac{w_{yas} - w_{kuru}}{w_{kuru}} \quad (2.41)$$

Tane birim hacim ağırlığının (γ_s) belirlenmesi : Kohezyonlu zeminlerin (kil, silt gibi ince taneli) tane birim hacim ağırlığını (γ_s) belirlemek için Piknometre şısesi denilen ısiya dayanıklı cam kaplar kullanılır. Tane birim hacim ağırlığı belirlenecek kuru zeminden (40 nolu elekten geçen) bir miktar (10 gr kadar) alınır. Alınan kuru zemin darası alınmış piknometre şısesi içerisinde konularak 0.001 gr duyarlıklı terazide tartılır. Geri kalan iç hacim bir miktar su ile doldurulur. Zemin örneği hava kabarcıklarından kurtuluncaya kadar şıseye vakum uygulanır. Piknometre şısesi havası alınmış damıtık su eklenerek doldurulur ve su banyosu içerisinde bırakılır. Banyonun belli sıcaklığına ulaşınca kadar bekletilir. Piknometre şısesi etrafı kurulanarak 0.001 gr duyarlıklı terazide tartılır. Piknometre şısesi içerisindekiler boşaltılarak temizlenir ve havası alınmış damıtık su ile doldurulur. Su banyosunda, banyonun belli sıcaklığına erişinceye kadar bekletilir. Şıse etrafı kurulanarak 0.001 gr duyarlıklı terazide tartılır. Bu işlemler en az iki defa yapılarak zeminin tane birim hacim ağırlığı belirlenir.

$$\gamma_s = \frac{w_s}{w_s - (w_2 - w_1)} \quad (2.42)$$

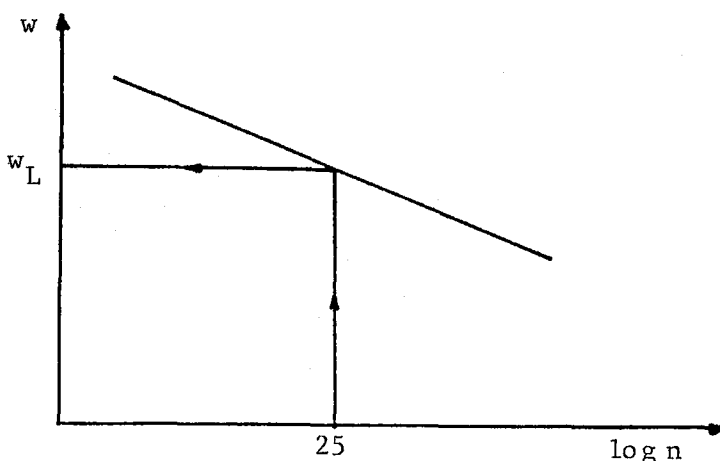
Burada; γ_s zeminin tane birim hacim ağırlığı, w_s : zeminin kuru ağırlığı, w_2 : piknometre şısesi+zemin+su ağırlığı, w_1 : piknometre şısesi+su ağırlığı'dır.

Likit Limitin (w_L) belirlenmesi : Likit limiti belirlenecek kohezyonlu zeminden (40 nolu elekten geçen, kuru zeminden) birkaç yüz gram alınarak, bir kaba konur. Üzerine su serpile-rek iyice karıştırılır ve yoğrulur. Deney aleti elle veya elektrikle çevrilmeyle 1 cm yükseklikten sert bir lastik blok üzerine düşen yarım küre biçimli metal bir tastan oluşur (Şekil 2.21).



Şekil 2.21: Likit limit deney aleti

Hazırlanan hamur kıvamındaki zemin bir bıçakla küresel kaba yerleştirilerek üzeri düzlenir ve oyuk açma kalemi ile iki kısma ayrılır. Kol yaklaşık 1 dev/sn hızla döndürülür. Döndürme işlemi sürerken ikiye ayrılan zemin örneğinin birleşmesi (kavuşması) gözlenir. Kavuşmanın yaklaşık 1 cm olması anında döndürme işlemeye son verilir ve kavuşmanın meydana geldiği vuruş sayısı belirlenir. Kaptaki zeminden bir miktar alınarak su muhtevası belirlenir. Aynı deney değişik su muhtevalarında birkaç kez tekrarlanır. Her bir vuruş sayısı (n)'na karşılık gelen su muhtevaları (w) Şekil 2.22 deki eksen takımında işaretlenir ve bu noktalardan uygun bir doğru geçirilerek 25 vuruşa karşılık gelen su muhtevası değeri belirlenir. İşte bu değer o zemine ait likit limit (w_L) değerini verir.



Sekil 2.22: Likit limit eğrisi

Plastik limitin (w_p) belirlenmesi : Plastik limiti belirlemecek kohezyonlu zeminden (40 nolu elekten geçen kuru zeminden) birkaç yüz gram alınarak bir kaba konur. Üzerine su serpilerek iyice karıştırılır ve yoğrulur. Bu şekilde hazırlanan zeminden bir miktar alınır. Kalın bir cam plaka üzerinde el altında yuvarlanarak çubuklar yapılmaya çalışılır. Böyle bir işlemde zemin için öyle bir su muhtevası vardır ki bu su muhtevasında zemin çubuklarının çapı 3 mm olduğu zaman çubuk yüzeylerinde çatıtlaklar oluşur. Bu su muhtevası değeri zeminin plastik limitini verir. Bundan daha küçük su muhtevalarında ise zemin çubuğu çapı 3 mm den daha az olduğunda çatlamalar meydana gelir.

2.2.2. Konsolidasyon Deney Sonuçları

Konsolidasyon deney örneklerinin alındığı yerler aşağıda tablo halinde verilmiştir.

Örselenmiş zemin örneklerine ait γ_s , w , w_L , w_p değerleri kısım 2.2.1 de anlatıldığı gibi yapılarak elde edilmiştir. Sonuçlar aşağıda tablo halinde verilmektedir.

Tablo 2.2. Deney örnekleri toplu tablosu

| Deney No | | Zemin örneğinin alındığı yer |
|----------|---------|------------------------------|
| | I II | Uzunkum " |
| 2 | I II | Köy Hizmetleri " |
| 3 | I II | Çamburnu " |
| 4 | I II | Havalanı " |
| 5 | I II | Söğütlü " |

Not: I, büyük halka ($D=76.2$ mm) ile alınan örselenmemiş zemin örneği
 II, küçük halka ($D=50$ mm) ile alınan örselenmemiş zemin örneği
 temsil etmektedir.

Tablo 2.3. Diğer bazı özellikler tablosu

| Deney No | 1 | 2 | 3 | 4 | 5 |
|---|------|------|------|------|------|
| Tane birim hacim agr. γ_s (gr/cm ³) | 2.77 | 2.70 | 2.67 | 2.62 | 2.68 |
| Su muhtevası w % | 49.7 | 37.3 | 28.2 | 39.7 | 26.5 |
| Likit limit w_L % | 96.0 | 71.5 | 34.0 | 58.0 | 54.0 |
| Plastik limit w_p % | 47.0 | 33.6 | 16.2 | 27.0 | 24.6 |

a) Deneylere ait tablolar:

Konsolidasyon deneylerine ait e , a_v , m_v , C_v değerleri ve
 ilgili ayrıntılar Tablo 2.5-2.14 de görülmektedir.

Konsolidasyon deneyleri aynı anda küçük ve büyük halkalar
 üzerinde yürütülmüştür. Deneylerde, örselenmemiş zemin örnek-
 lerine 0.25, 0.50, 1, 2, 4, 8, 16, 8, 4, 2, 1, 0.50, 0.25 kg/cm²
 lik basınç adımları (kademeleri) uygulanmıştır.

Konsolidasyon deneyleri, gerilme kontrollu olup, büyük ve küçük halkalara aynı basıncalar uygulanmıştır. Aynı cins zeminden alınan büyük ve küçük çaplı örneklerde zemin ile örnek arasındaki sürtünme katsayısı aynı olup, sürtünmeden dolayı meydana gelen basınç kaybı büyük halkada daha azdır. Dolayısıyla büyük halka içerisindeki örnek gerçekte daha büyük basıncın etkisinde kalmaktadır.

Küçük ve büyük çaplı örneklerde, kalınlıkların birbirine çok yakın olduğu, ancak küçük örneklerde oturmanın (sıkışmanın) daha az olduğu görülmektedir. Bu fark, yüksek olasılıkla, kısım 2.2.1 de anlatıldığı gibi yan sürtünmelerin etkisiyle meydana gelmektedir. Bundan, konsolidasyon deneylerinde mümkün mertebe büyük çaplı örneklerin kullanılması gereği ortaya çıkar.

b) Deneylere ait $e-\sigma'$ ve $e\text{-}\log\sigma'$ grafikleri

Şekil 2.26-2.35 de, $e-\sigma'$ ve $e\text{-}\log\sigma'$ grafikleri verilmektedir.

$e\text{-}\log\sigma'$ grafiklerinden anlaşılacağı üzere (Bkz. kısım 2.1.4); deney örneklerinin alındığı killerin (kil tabakalarının) aşırı konsolide olmuş oldukları anlaşılmaktadır. Bu olay, muhtemelen, erozyon (şiddetli yağmur suları), temel kazısı, eğik yamaçlarda ziraat vb. nedenlerden ileri gelmiştir.

c) $m_v-\sigma'$ grafikleri

Şekil 2.36-2.40 de, $m_v-\sigma'$ grafikleri verilmektedir.

$m_v-\sigma'$ grafikleri, genel karakter olarak, literatürde (Terzaghi, 1943; Whitlow, 1983) daha önceki deneysel çalışmalar da bulunan $m_v-\sigma'$ grafiklerine benzemektedir. Basınç arttıkça hacimsal sıkışma katsayısının azaldığı görülmektedir.

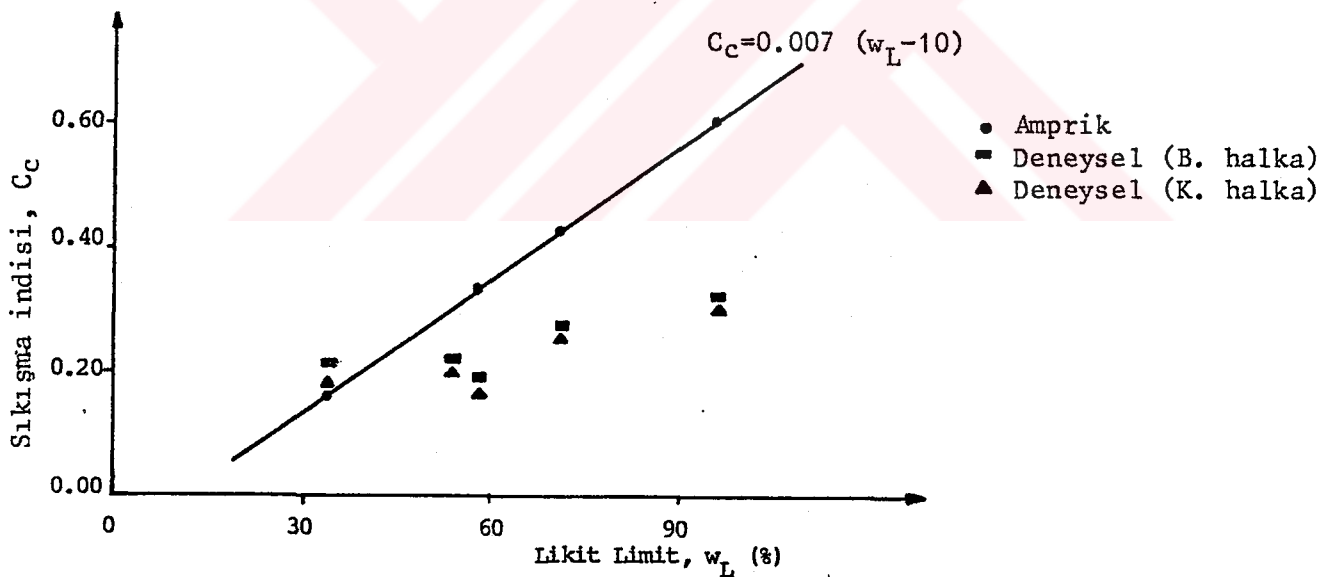
d) Amprik C_C-w_L (yoğrulmuş killer) ilişkisinin, deneysel C_C-w_L (örselenmemiş killer) ilişkisi ile karşılaştırılması.

Şekil 2.23 de amprik C_C-w_L ilişkisi ve deneysel C_C-w_L ilişkisi görülmektedir.

Şekilde görüldüğü gibi yoğrulmuş killerin sıkışma indisi C_c değeri, örselenmemiş killerin C_c değerinden daha büyüktür. Eğer bu sonuç genelleştirilebilirse, yoğrulmanın (örselenmenin) konsolidasyon oturmasını artırdığı söylenebilir. Bu kısmın daha kapsamlı deneylerle araştırılması gereklidir.

Tablo 2.4: $C_c - w_L$ İlişkisi

| DENEY NO | 1-I | 1-II | 2-I | 2-II | 3-I | 3-II | 4-I | 4-II | 5-I | 5-II |
|---|-------|-------|-------|-------|-------|-------|-------|-------|-------|-------|
| LİKİT LİMİT, w_L % | 96 | 96 | 71.5 | 71.5 | 34 | 34 | 58 | 58 | 54 | 54 |
| KONSOLIDASYON KATSAYISI $C_c = 0.007 (w_L - 10)$ | 0.602 | 0.602 | 0.431 | 0.431 | 0.168 | 0.168 | 0.336 | 0.336 | 0.308 | 0.308 |
| KONSOLIDASYON KATSAYISI C_c | 0.322 | 0.309 | 0.279 | 0.259 | 0.213 | 0.179 | 0.193 | 0.166 | 0.222 | 0.202 |

Şekil 2.23: $C_c - w_L$ ilişkisi

e) C_V konsolidasyon katsayısının belirlenmesi

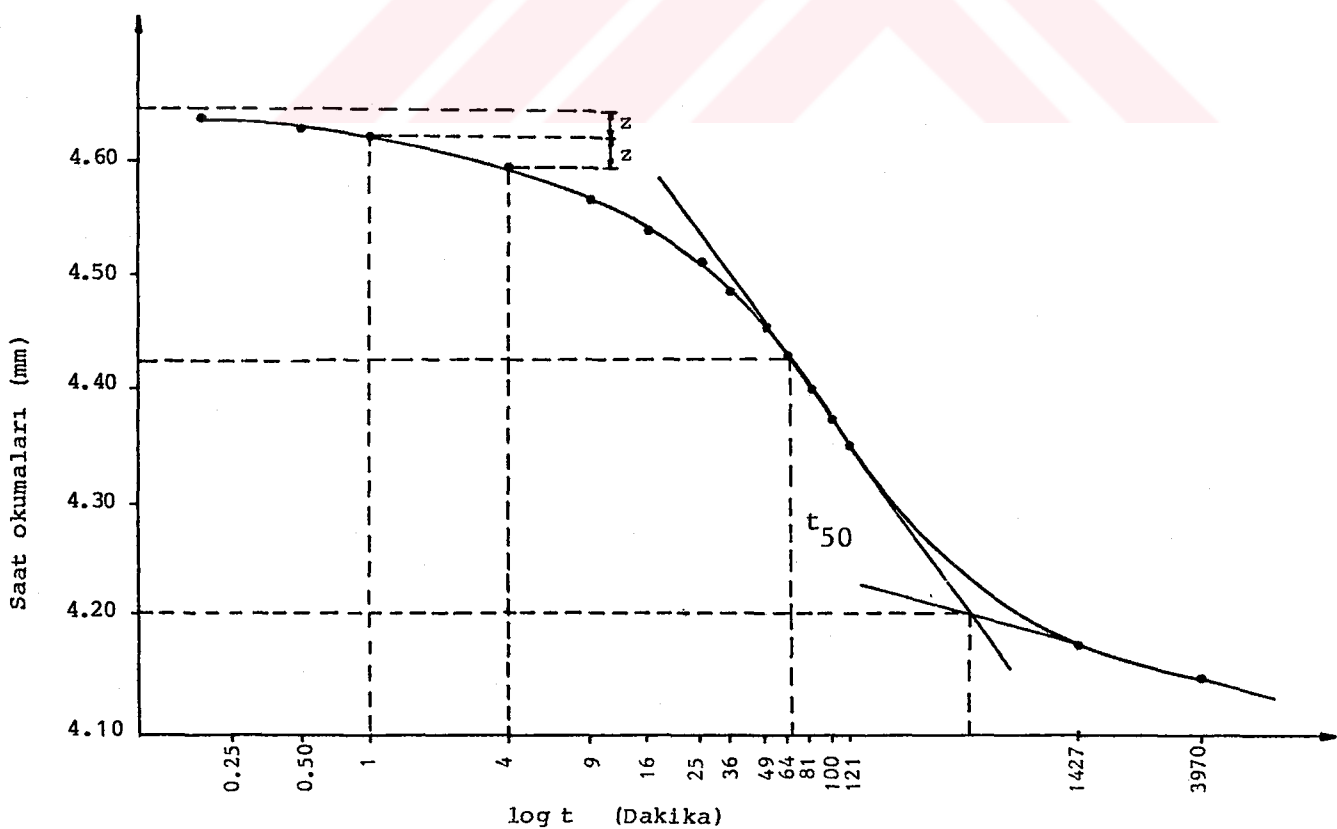
Deney No 1/I 'e ait 1-2 kg/cm² lik basınç kademesi için sıkışma-zaman bilgileri aşağıda tablo halinde verilmektedir.

| Zaman (dak) | | |
|--------------------|-------|------|
| Saat okuma (mm) | 4.698 | 0 |
| | 4.640 | 0.25 |
| | 4.632 | 0.50 |
| | 4.622 | 1 |
| | 4.594 | 4 |
| | 4.566 | 9 |
| | 4.538 | 16 |
| | 4.513 | 25 |
| | 4.486 | 36 |
| | 4.456 | 49 |
| | 4.430 | 64 |
| | 4.402 | 81 |
| | 4.376 | 100 |
| | 4.352 | 121 |
| | 4.330 | 144 |
| | 4.312 | 169 |
| | 4.168 | 1427 |
| | 4.152 | 3970 |

- Logaritma zaman yöntemi

$$t_{50} = 64.18 \text{ dak}$$

$$C_V = \frac{0.196 d^2}{t_{50}} = \frac{0.196 \times 8.848^2}{64.18 \times 6000} = 3.98 \times 10^{-5} \text{ cm}^2/\text{sn}$$

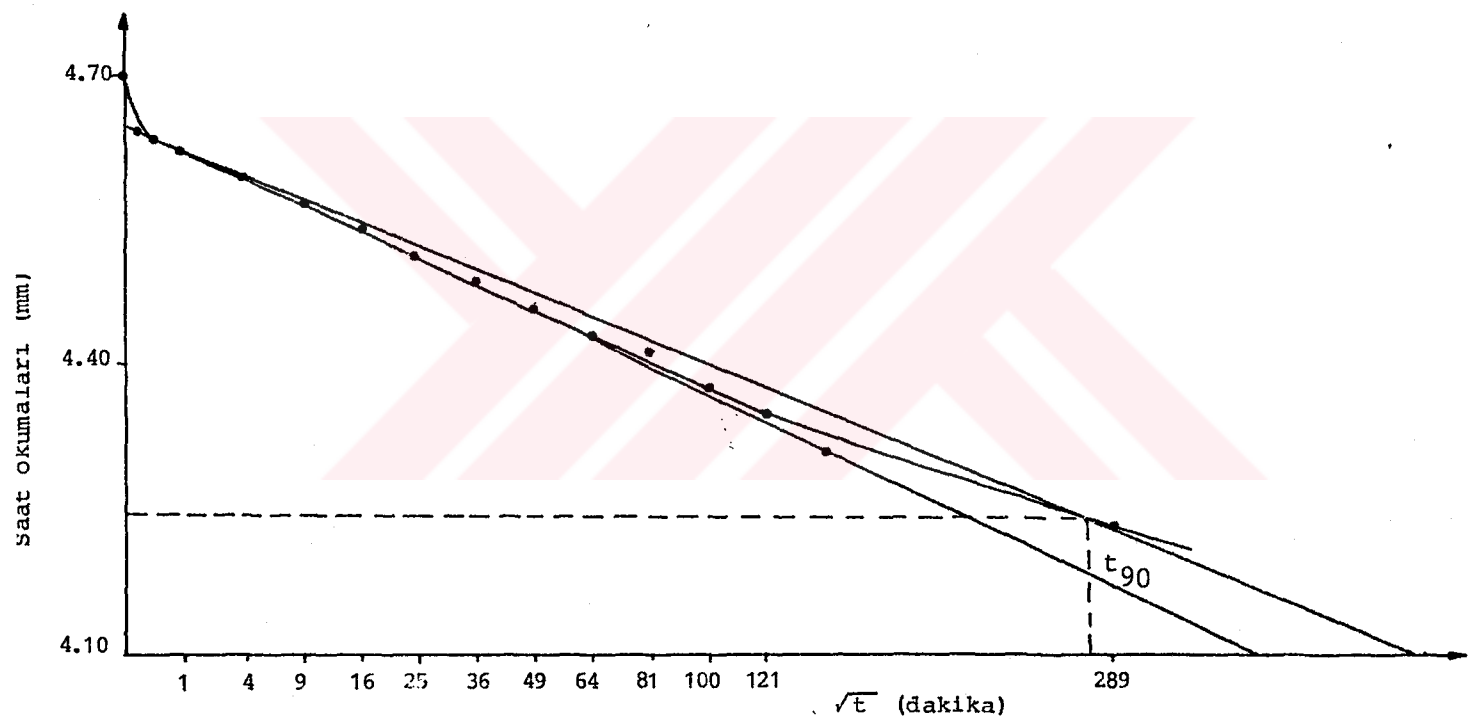


Şekil 2.24: Logaritma zaman yöntemi

- Karekök zaman yöntemi

$$t_{90} = 275.56 \text{ dak}$$

$$C_V = \frac{0.848 d^2}{t_{90}} = \frac{0.848 \times 8.848^2}{275.56 \times 6000} = 4.02 \cdot 10^{-5} \text{ cm}^2/\text{sn}$$



Şekil 2.25: Karekök zaman yöntemi

Tablo 2.5 : Deney No 1-I'ye ait e , m_v , a_v , C_v değerleri

| | | |
|-------------------------------------|------------|-------------------------|
| Tane birim hacim ağırlığı: | γ_s | 2.77 gr/cm ³ |
| Su muhtevası: % | w | 40.6 |
| Doygunluk derecesi S _r % | | 100.0 |

| σ (kg/cm ²) | OTURMA (mm) | ΔH (mm) | $\Delta e = 0.12626 \Delta H$ | e | e_{ort} | a_v (cm ² /kg) | m_v (cm ² /kg) | t_{50} (dak) | t_{90} (dak) | C_v (cm ² /sn) |
|-----------------------------------|----------------|-----------------|-------------------------------|-------|------------------|--------------------------------|--------------------------------|-------------------|-------------------|-----------------------------|
| | | | | | | | | | | |
| 0 | 5.730 | 0.388 | 0.049 | 1.399 | 1.370 | 0.236 | 0.100 | — | 21.16 | — |
| 0.25 | 5.342 | 0.712 | 0.090 | 1.350 | 1.325 | 0.124 | 0.053 | — | 64 | — |
| 0.50 | 5.018 | 1.034 | 0.131 | 1.309 | 1.289 | 0.082 | 0.082 | 49 | 121 | 5.48×10^{-5} |
| 1 | 4.696 | 1.578 | 0.199 | 1.268 | 1.234 | 0.068 | 0.030 | 64.18 | 275.56 | 3.98×10^{-5} |
| 2 | 4.152 | 2.350 | 0.297 | 1.200 | 1.151 | 0.049 | 0.023 | 67.81 | 316.84 | 3.50×10^{-5} |
| 4 | 3.380 | 3.122 | 0.394 | 1.102 | 1.054 | 0.024 | 0.012 | 45.25 | 156.25 | 4.77×10^{-5} |
| 8 | 2.608 | 3.974 | 0.502 | 1.005 | 0.897 | | | | | 5.90×10^{-5} |
| 16 | 1.756 | 3.724 | 0.470 | | | | | | | |
| 8 | 2.006 | 3.386 | 0.428 | | | | | | | |
| 4 | 2.344 | 2.928 | 0.370 | | | | | | | |
| 2 | 2.802 | 2.510 | 0.317 | | | | | | | |
| 1 | 1.220 | 2.396 | 0.303 | | | | | | | |
| 0.50 | 3.334 | 2.168 | 0.274 | | | | | | | |
| 0.25 | 3.562 | | | | | | | 1.125 | | |

Tablo 2.6: Deney No 1-II'ye ait ϵ , m_v , a_v , C_v değerleri

| | |
|---------------------------------------|-------------------------|
| Tane birim hacim ağırlığı: γ_s | 2.77 gr/cm ³ |
| Su muhtevası w % | 40.5 |
| Doygunluk derecesi Sr % | 100.0 |

| σ (kg/cm ²) | OTURMA (mm) | ΔH (mm) | $\Delta\epsilon=0.12626 \Delta H$ | ϵ | e_{ort} | a_v (cm ² /kg) | m_v (cm ² /kg) | t_{50} (dak) | t_{90} (dak) | C_v (cm ² /sn) | |
|-----------------------------------|----------------|-----------------|-----------------------------------|------------|-----------|--------------------------------|--------------------------------|-------------------|-------------------|-----------------------------|-----------------------|
| | | | | | | | | | | $0.196 d^2/t_{50}$ | $0.848 d^2/t_{90}$ |
| 0 | 7,00 | | | 0.314 | 0.037 | 1.380 | | | | | |
| 0.25 | 6.686 | | | 0.534 | 0.064 | 1.362 | 0.148 | 0.063 | 12.70 | 30.25 | 2.53x10 ⁻⁴ |
| 0.50 | 6.466 | | | 0.888 | 0.106 | 1.316 | 0.084 | 0.036 | 48.70 | 144 | 6.24x10 ⁻⁵ |
| 1 | 6.112 | | | 1.426 | 0.170 | 1.274 | 0.064 | 0.029 | 63 | 282.24 | 4.60x10 ⁻⁵ |
| 2 | 5.574 | | | 2.126 | 0.253 | 1.210 | 0.042 | 0.019 | 73.94 | 300 | 3.67x10 ⁻⁵ |
| 4 | 4.874 | | | 3.762 | 0.448 | 1.127 | 0.023 | 0.011 | 61.30 | 237.16 | 4.07x10 ⁻⁵ |
| 8 | 4.090 | | | 3.238 | 0.556 | 1.081 | 0.013 | 0.006 | 56.23 | 182.25 | 4.03x10 ⁻⁵ |
| 16 | 3.444 | | | 3.226 | 0.423 | 1.034 | 0.0983 | 0.006 | | | 5.38x10 ⁻⁵ |
| 8 | 3.374 | | | 3.226 | 0.384 | 0.957 | 0.932 | | | | |
| 4 | 2.914 | | | 2.914 | 0.347 | 0.996 | | | | | |
| 2 | 4.086 | | | 2.594 | 0.309 | 1.033 | | | | | |
| 1 | 4.406 | | | 2.386 | 0.284 | 1.071 | | | | | |
| 0.50 | 4.614 | | | 2.166 | 0.258 | 1.096 | | | | | |
| 0.25 | 4.834 | | | | | 1.122 | | | | | |

Tablo 2.7: Deney No 2-I' e ait e , m_v , a_v , C_v değerleri

| | |
|---------------------------------------|-------------------------|
| Tane birim hacim ağırlığı: γ_s | 2.70 gr/cm ³ |
| Su muhtevası w % | 32.0 |
| Doygunluk derecesi Sr % | 100.0 |

| σ (kg/cm ²) | OTURMA (mm) | ΔH (mm) | $\Delta e=0.12626 \Delta H$ | e | e_{ort} | a_v (cm ² /kg) | m_v (cm ² /kg) | t_{50} (dak) | t_{90} (dak) | C_v (cm ² /sn) | $0.196 d^2/t_{50}$ | $0.848 d^2/t_{90}$ |
|-----------------------------------|----------------|-----------------|-----------------------------|-------|------------------|--------------------------------|--------------------------------|-------------------|-------------------|-----------------------------|-----------------------|--------------------|
| | | | | | | | | | | | | |
| 0 | 6.800 | 0.258 | 0.029 | 1.114 | 1.099 | 0.116 | 0.055 | 42.71 | 290 | 6.81×10^{-5} | 4.31×10^{-5} | |
| 0.25 | 6.542 | 0.800 | 0.089 | 1.085 | 1.055 | 0.240 | 0.117 | — | 240.25 | — | 5.02×10^{-5} | |
| 0.50 | 6.000 | 1.112 | 0.124 | 1.025 | 1.008 | 0.070 | 0.035 | 68.79 | 205 | 3.87×10^{-5} | 5.61×10^{-5} | |
| 1 | 5.688 | 1.634 | 0.182 | 0.990 | 0.961 | 0.058 | 0.030 | 63.09 | 179.54 | 4.02×10^{-5} | 6.11×10^{-5} | |
| 2 | 5.166 | 2.248 | 0.250 | 0.932 | 0.898 | 0.034 | 0.018 | 52.29 | 219.04 | 4.55×10^{-5} | 4.69×10^{-5} | |
| 4 | 4.552 | 3.004 | 0.334 | 0.864 | 0.822 | 0.021 | 0.012 | 45.97 | 249.64 | 4.76×10^{-5} | 4.51×10^{-5} | |
| 8 | 3.796 | 3.725 | 0.414 | 0.780 | 0.740 | 0.010 | 0.006 | 37.58 | 182.25 | 5.32×10^{-5} | 4.74×10^{-5} | |
| 16 | 3.075 | 3.516 | 0.392 | 0.700 | 0.722 | | | | | | | |
| 8 | 3.284 | 3.224 | 0.359 | 0.755 | 0.790 | | | | | | | |
| 4 | 3.576 | 2.914 | 0.324 | 0.790 | 0.818 | | | | | | | |
| 2 | 3.886 | 2.662 | 0.296 | 0.850 | 0.872 | | | | | | | |
| 1 | 4.138 | 2.372 | 0.264 | | | | | | | | | |
| 0.50 | 4.428 | 2.172 | 0.242 | | | | | | | | | |
| 0.25 | 4.628 | | | | | | | | | | | |

Tablo 2.8: Deney No 2-II'ye ait e , m_v , a_v , C_v değerleri

| Tane birim hacim ağırlığı: γ_s 2.70 gr/cm ³ | | |
|---|-------|--|
| Su muhtevası w % | 32.3 | |
| Doygunluk derecesi S _r % | 100.0 | |

| σ (kg/cm ²) | OTURMA (mm) | ΔH (mm) | $\Delta e = 0.12626 \Delta H$ | e | e_{ort} | a_v (cm ² /kg) | m_v (cm ² /kg) | t_{50} (dak) | t_{90} (dak) | C_v (cm ² /sn) |
|-----------------------------------|----------------|-----------------|-------------------------------|-------|------------------|--------------------------------|--------------------------------|-------------------|-----------------------|--------------------------------|
| 0 | 7.00 | 0.106 | 0.011 | 1.068 | 1.063 | 0.044 | 0.021 | 81 | 400 | 4.01×10^{-4} |
| 0.25 | 6.894 | 0.534 | 0.055 | 1.057 | 1.035 | 0.176 | 0.086 | — | — | 3.51×10^{-5} |
| 0.50 | 6.466 | 0.745 | 0.077 | 1.002 | 0.044 | 0.022 | 94.40 | 361 | 3.24×10^{-5} | 3.67×10^{-5} |
| 1 | 6.258 | 1.304 | 0.135 | 0.991 | 0.962 | 0.058 | 0.029 | 79.43 | 216.09 | 3.70×10^{-5} |
| 2 | 5.696 | 1.944 | 0.201 | 0.933 | 0.900 | 0.033 | 0.017 | 64 | 256 | 4.31×10^{-5} |
| 4 | 5.056 | 2.702 | 0.279 | 0.867 | 0.828 | 0.020 | 0.011 | 53.81 | 249.64 | 4.74×10^{-5} |
| 8 | 4.298 | 3.444 | 0.356 | 0.729 | 0.751 | 0.010 | 0.006 | 49 | 228 | 4.78×10^{-5} |
| 16 | 3.556 | 3.258 | 0.337 | 0.712 | | | | | | 4.44×10^{-5} |
| 8 | 3.742 | 3.012 | 0.311 | 0.731 | | | | | | 4.42×10^{-5} |
| 4 | 3.988 | 2.662 | 0.275 | 0.757 | | | | | | |
| 2 | 4.338 | 2.408 | 0.249 | 0.793 | | | | | | |
| 1 | 4.592 | 2.126 | 0.220 | 0.819 | | | | | | |
| 0.50 | 4.874 | 1.972 | 0.204 | 0.843 | | | | | | |
| 0.25 | 5.028 | | | 0.864 | | | | | | |

Tablo 2.9 : Deney No 3-I' e ait e , m_v , a_v , c_v değerleri

| | |
|---------------------------------------|-------------------------|
| Tane birim hacim ağırlığı: γ_s | 2.67 gr/cm ³ |
| Su muhtevası $w\%$ | 25.0 |
| Doygunluk derecesi $S_r\%$ | 100.0 |

| σ (kg/cm ²) | OTURMA (mm) | ΔH (nm) | $\Delta e = 0.12626 \Delta H$ | e | e_{ort} | a_v (cm ² /kg) | m_v (cm ² /kg) | t_{50} (dak) | t_{90} (dak) | c_v (cm ² /sn) | |
|-----------------------------------|----------------|-----------------|-------------------------------|-------|------------------|--------------------------------|--------------------------------|-------------------|-------------------|-----------------------------|-----------------------|
| | | | | | | | | | | $0.196 d^2/t_{50}$ | $0.848 d^2/t_{90}$ |
| 0 | 6.604 | 0.192 | 0.019 | 0.898 | 0.889 | 0.076 | 0.040 | 2.66 | 9.64 | 1.10×10^{-3} | 1.31×10^{-3} |
| 0.25 | 6.412 | 0.412 | 0.041 | 0.879 | 0.869 | 0.088 | 0.047 | 2.00 | 6.76 | 1.43×10^{-3} | 1.83×10^{-3} |
| 0.50 | 6.192 | 0.644 | 0.064 | 0.857 | 0.846 | 0.046 | 0.025 | 2.59 | 7.29 | 1.08×10^{-3} | 1.65×10^{-3} |
| 1 | 5.960 | 0.912 | 0.091 | 0.834 | 0.821 | 0.027 | 0.015 | 1.68 | 9 | 1.61×10^{-3} | 1.30×10^{-3} |
| 2 | 5.692 | 1.316 | 0.131 | 0.807 | 0.787 | 0.020 | 0.011 | 1.94 | 8.12 | 1.35×10^{-3} | 1.39×10^{-3} |
| 4 | 5.288 | 1.854 | 0.185 | 0.767 | 0.740 | 0.014 | 0.008 | 1.63 | 6.25 | 1.52×10^{-3} | 1.71×10^{-3} |
| 8 | 4.750 | 2.494 | 0.249 | 0.713 | 0.681 | 0.008 | 0.005 | 1.19 | 4.84 | 1.94×10^{-3} | 2.07×10^{-3} |
| 16 | 4.110 | 2.440 | 0.244 | 0.649 | | | | | | | |
| 8 | 4.164 | 2.376 | 0.237 | 0.654 | | | | | | | |
| 4 | 4.228 | 2.310 | 0.231 | 0.661 | | | | | | | |
| 2 | 4.229 | 2.262 | 0.226 | 0.667 | | | | | | | |
| 1 | 4.342 | 2.204 | 0.220 | 0.672 | | | | | | | |
| 0.50 | 4.400 | 2.144 | 0.214 | 0.678 | | | | | | | |
| 0.25 | 4.460 | | | 0.684 | | | | | | | |

Tablo 2.10: Deney No 3-II'ye ait e , a_v , m_v , c_v değerleri

| | |
|---------------------------------------|-------------------------|
| Tane birim hacim ağırlığı: γ_s | 2.67 gr/cm ³ |
| Su muhtevası w % | 25.6 |
| Doygunluk derecesi Sr % | 100.0 |

| σ (kg/cm ²) | OTURMA (mm) | ΔH (mm) | $\Delta e = 0.12626 \Delta H$ | e | e_{ort} | a_v (cm ² /kg) | m_v (cm ² /kg) | t_{50} (dak) | t_{90} (dak) | c_v (cm ² /sn) | |
|-----------------------------------|----------------|-----------------|-------------------------------|-------|------------------|--------------------------------|--------------------------------|-------------------|-------------------|-----------------------------|-----------------------|
| | | | | | | | | | | $0.848 d^2/t_{50}$ | $0.848 d^2/t_{90}$ |
| 0 | 6.600 | 0.064 | 0.006 | 0.842 | 0.839 | 0.024 | 0.013 | 1.78 | 11.56 | 1.83×10^{-3} | 1.22×10^{-3} |
| 0.25 | 6.536 | 0.198 | 0.018 | 0.836 | 0.830 | 0.084 | 0.026 | 2.39 | 9 | 1.35×10^{-3} | 1.55×10^{-3} |
| 0.50 | 6.402 | 0.442 | 0.041 | 0.824 | 0.813 | 0.046 | 0.025 | 2.67 | 9.61 | 1.19×10^{-3} | 1.42×10^{-3} |
| 1 | 6.158 | 0.734 | 0.068 | 0.801 | 0.788 | 0.027 | 0.015 | 2.25 | 10.24 | 1.37×10^{-3} | 1.30×10^{-3} |
| 2 | 5.866 | 1.094 | 0.101 | 0.774 | 0.758 | 0.017 | 0.010 | 2.37 | 9.61 | 1.41×10^{-3} | 1.34×10^{-3} |
| 4 | 5.504 | 1.551 | 0.148 | 0.741 | 0.720 | 0.011 | 0.006 | 1.78 | 7.29 | 1.60×10^{-3} | 1.69×10^{-3} |
| 8 | 5.049 | 2.144 | 0.197 | 0.699 | 0.672 | 0.007 | 0.004 | 1.33 | 5.76 | 2.02×10^{-3} | 2.02×10^{-3} |
| 16 | 4.456 | 2.102 | 0.194 | 0.645 | | | | | | | |
| 8 | 4.498 | 2.052 | 0.189 | 0.648 | | | | | | | |
| 4 | 4.548 | 2.000 | 0.184 | 0.653 | | | | | | | |
| 2 | 4.600 | 1.962 | 0.181 | 0.658 | | | | | | | |
| 1 | 4.638 | 1.926 | 0.177 | 0.661 | | | | | | | |
| 0.50 | 4.674 | 1.890 | 0.174 | 0.665 | | | | | | | |
| 0.25 | 4.710 | | | 0.668 | | | | | | | |

Tablo 2.11: Deney No 4-I'ye ait e , m_v , a_v , C_v değerleri

| |
|--|
| Tane birim hacim ağırlığı: $\gamma_s = 2.62 \text{ gr/cm}^3$ |
| Su muhtevası. w % 34.2 |
| Doygunluk derecesi Sr % 100.0 |

| σ (kg/cm ²) | OTURMA (mm) | ΔH (mm) | $\Delta e = 0.12626 \Delta H$ | e | e_{ort} | a_v (cm ² /kg) | m_v (kg) | t_{50} (dak) | t_{90} (dak) | C_v (cm ² /sn) | 0.196 d ² /t ₅₀ | 0.848 d ² /t ₉₀ |
|-----------------------------------|----------------|-----------------|-------------------------------|-------|------------------|--------------------------------|---------------|-------------------|-------------------|-----------------------------|---------------------------------------|---------------------------------------|
| | | | | | | | | | | | | |
| 0 | 6.604 | 0.578 | 0.063 | 1.076 | 1.045 | 0.252 | 0.123 | | | | | |
| 0.25 | 6.026 | 0.630 | 0.069 | 1.013 | 1.010 | 0.024 | 0.012 | 7.55 | 9.00 | 3.66x10 ⁻⁴ | 1.33x10 ⁻³ | |
| 0.50 | 5.974 | 0.752 | 0.082 | 1.007 | 1.001 | 0.026 | 0.013 | 5.66 | 8.41 | 4.84x10 ⁻⁴ | 1.41x10 ⁻³ | |
| 1 | 5.852 | 1.040 | 0.114 | 0.994 | 0.978 | 0.032 | 0.016 | | 9.00 | | 1.29x10 ⁻³ | |
| 2 | 5.564 | 1.198 | 0.131 | 0.962 | 0.954 | 0.009 | 0.005 | 3.35 | 8.41 | 7.79x10 ⁻⁴ | 1.34x10 ⁻³ | |
| 4 | 5.406 | 1.610 | 0.176 | 0.945 | 0.923 | 0.011 | 0.006 | 2.01 | 5.76 | 1.25x10 ⁻³ | 1.90x10 ⁻³ | |
| 8 | 4.994 | 2.258 | 0.247 | 0.900 | 0.865 | 0.009 | 0.005 | 2.51 | 6.28 | 9.47x10 ⁻⁴ | 1.64x10 ⁻³ | |
| 16 | 4.346 | 2.164 | 0.236 | 0.829 | | | | | | | | |
| 8 | 4.440 | 2.064 | 0.225 | 0.840 | | | | | | | | |
| 4 | 4.540 | 1.952 | 0.213 | 0.851 | | | | | | | | |
| 2 | 4.652 | 1.834 | 0.200 | 0.863 | | | | | | | | |
| 1 | 4.770 | | | 0.876 | | | | | | | | |
| 0.50 | | | | 1.650 | 0.180 | | 0.896 | | | | | |
| 0.25 | 4.954 | | | | | | | | | | | |

Tablo 2.12: Deney No 4-II'ye ait e , m_v , a_v , C_v değerleri

| Tane birim hacim ağırlığı: $\gamma_s = 2.62 \text{ gr/cm}^3$ | | | |
|--|------|-------------------------|-------|
| Su muhtevası w % | 32.8 | Doygunluk derecesi Sr % | 100.0 |

| σ (kg/cm ²) | OTURMA (mm) | ΔH (mm) | $\Delta e = 0.12626 \Delta H$ | e | e_{ort} | a_v (cm ² /kg) | m_v (cm ² /kg) | t_{50} (dak) | t_{90} (dak) | C_v (cm ² /sn) | |
|-----------------------------------|----------------|-----------------|-------------------------------|-------|------------------|--------------------------------|--------------------------------|-------------------|-------------------|-----------------------------|-----------------------|
| | | | | | | | | | | $0.196 d^2/t_{50}$ | $0.848 d^2/t_{90}$ |
| 0 | 6.600 | 1.048 | 0.107 | 1.043 | 0.990 | 0.428 | 0.22 | — | — | — | — |
| 0.25 | 5.552 | 1.060 | 0.108 | 0.936 | 0.936 | 0.004 | 0.002 | 19.39 | 36 | 1.51×10^{-4} | 3.52×10^{-4} |
| 0.50 | 5.540 | 1.130 | 0.115 | 0.935 | 0.932 | 0.014 | 0.007 | 15.10 | 25 | 1.93×10^{-4} | 5.05×10^{-4} |
| 1 | 5.470 | 1.452 | 0.148 | 0.928 | 0.912 | 0.033 | 0.017 | — | 17.64 | — | 7.00×10^{-4} |
| 2 | 5.148 | 1.544 | 0.158 | 0.895 | 0.890 | 0.005 | 0.003 | 4.47 | 10.24 | 6.25×10^{-4} | 1.18×10^{-3} |
| 4 | 5.056 | 1.802 | 0.184 | 0.885 | 0.872 | 0.007 | 0.004 | 2.30 | 6.76 | 1.19×10^{-3} | 1.76×10^{-3} |
| 8 | 4.798 | 2.288 | 0.234 | 0.859 | 0.834 | 0.006 | 0.003 | 2.24 | 8.41 | 1.25×10^{-3} | 1.45×10^{-3} |
| 16 | 4.312 | 2.220 | 0.227 | 0.809 | — | — | — | — | — | — | — |
| 8 | 4.380 | 2.138 | 0.218 | 0.816 | — | — | — | — | — | — | — |
| 4 | 4.462 | 2.040 | 0.208 | 0.825 | — | — | — | — | — | — | — |
| 2 | 4.560 | 1.946 | 0.199 | 0.835 | — | — | — | — | — | — | — |
| 1 | 4.654 | 1.802 | 0.184 | 0.844 | — | — | — | — | — | — | — |
| 0.50 | 4.793 | 0.859 | — | — | — | — | — | — | — | — | — |
| 0.25 | — | — | — | — | — | — | — | — | — | — | — |

Tablo 2.13: Deney No 5-I'ye ait e , m_v , a_v , C_v değerleri

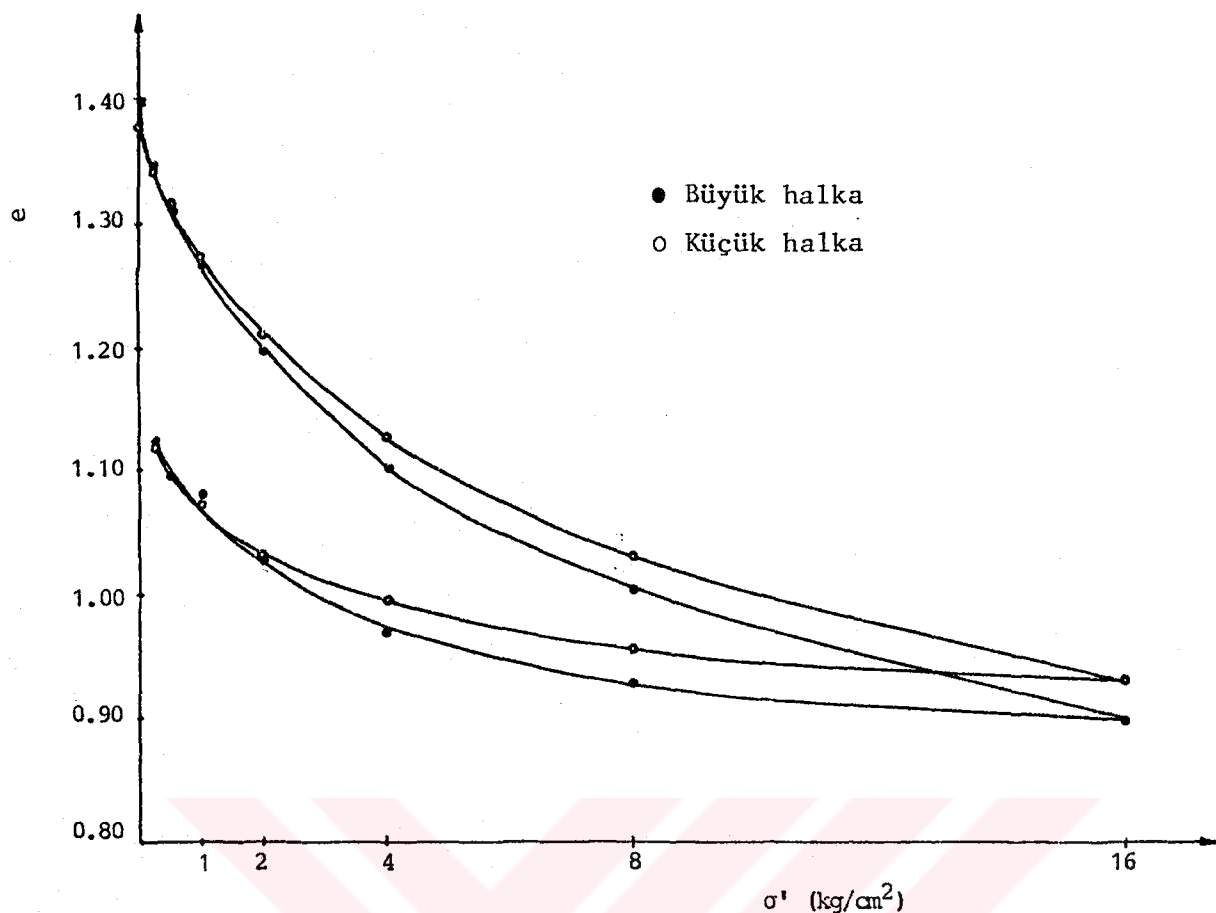
| Tane birim hacim ağırlığı: γ_s 2.68 gr/cm ³ | | | |
|---|------|-------------------------------------|-------|
| Su muhtevası w % | 25.6 | Doygunluk derecesi S _r % | 100.0 |

| σ (kg/cm ²) | OTURMA (mm) | ΔH (mm) | $\Delta e = 0.12626 \Delta H$ | e | e_{ort} | a_v (cm ² /kg) | m_v (cm ² /kg) | t_{50} (dak) | t_{90} (dak) | C_v (cm ² /sn) |
|-----------------------------------|----------------|-----------------|-------------------------------|-------|------------------|--------------------------------|--------------------------------|-------------------|-------------------|-----------------------------|
| 0 | 6.868 | 0.118 | 0.011 | 0.848 | 0.843 | 0.044 | 0.025 | 7.08 | 13.69 | 4.14×10^{-4} |
| 0.25 | 6.759 | 0.312 | 0.030 | 0.837 | 0.828 | 0.076 | 0.042 | 12.56 | 20.25 | 2.30×10^{-4} |
| 0.50 | 6.556 | 0.560 | 0.054 | 0.818 | 0.806 | 0.048 | 0.027 | 14.96 | 25.0 | 1.88×10^{-4} |
| 1 | 6.308 | 0.888 | 0.086 | 0.794 | 0.778 | 0.032 | 0.018 | 16.0 | 30.25 | 1.70×10^{-4} |
| 2 | 5.980 | 1.578 | 0.153 | 0.762 | 0.729 | 0.034 | 0.020 | — | 17.64 | — |
| 4 | 5.290 | 2.114 | 0.206 | 0.695 | 0.669 | 0.013 | 0.008 | 32.55 | 64.0 | 7.38×10^{-5} |
| 8 | 4.754 | 2.802 | 0.273 | 0.642 | 0.609 | 0.008 | 0.005 | 39.81 | 81.0 | 5.61×10^{-5} |
| 16 | 4.066 | 2.658 | 0.259 | 0.575 | — | — | — | — | — | — |
| 8 | 4.210 | 2.450 | 0.238 | 0.589 | — | — | — | — | — | — |
| 4 | 4.418 | 2.192 | 0.213 | 0.610 | — | — | — | — | — | — |
| 2 | 4.676 | 1.976 | 0.192 | 0.635 | — | — | — | — | — | — |
| 1 | 4.892 | 1.828 | 0.178 | 0.656 | — | — | — | — | — | — |
| 0.50 | 5.040 | 1.638 | 0.159 | 0.670 | — | — | — | — | — | — |
| 0.25 | 5.230 | — | — | 0.689 | — | — | — | — | — | — |

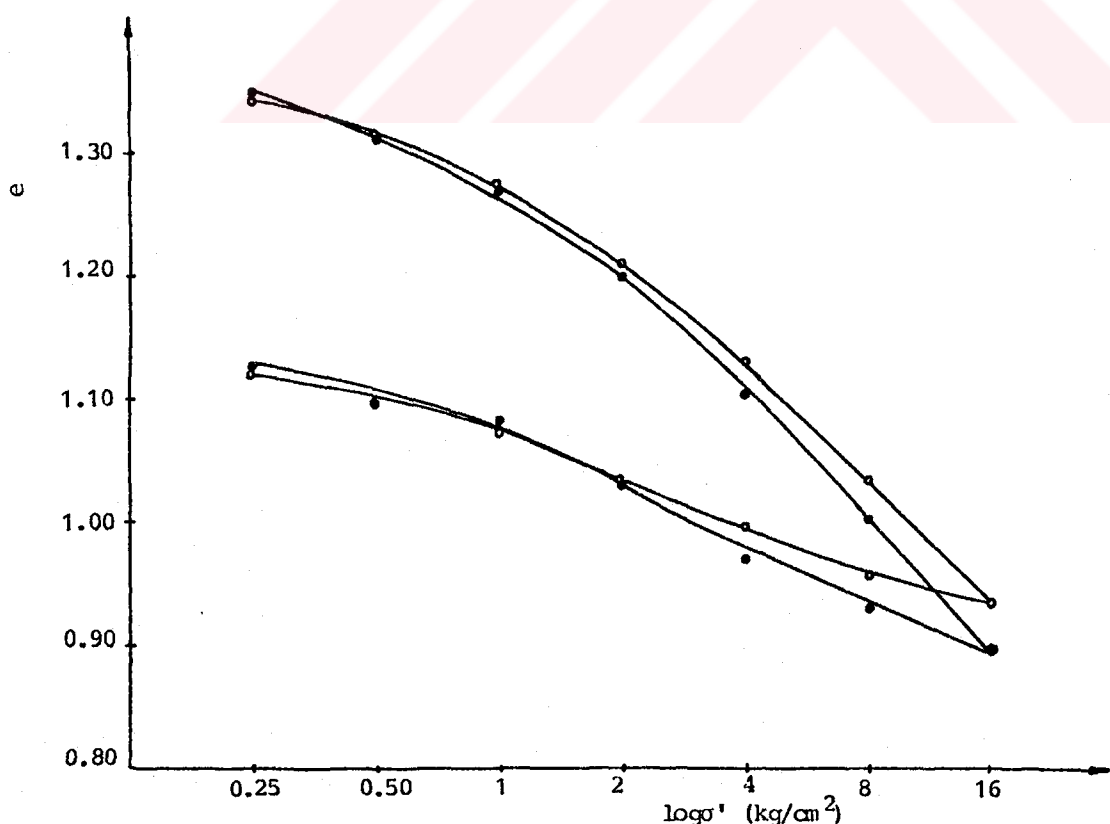
Tablo 2.14: Deney No 5-II'ye ait e , m_v , a_v , C_v değerleri

| |
|---|
| Tane birim hacim ağırlığı: Ys 2.68 gr/cm ³ |
| Su muhtevası w % 25.7 |
| Doygunluk derecesi Sr % 100.0 |

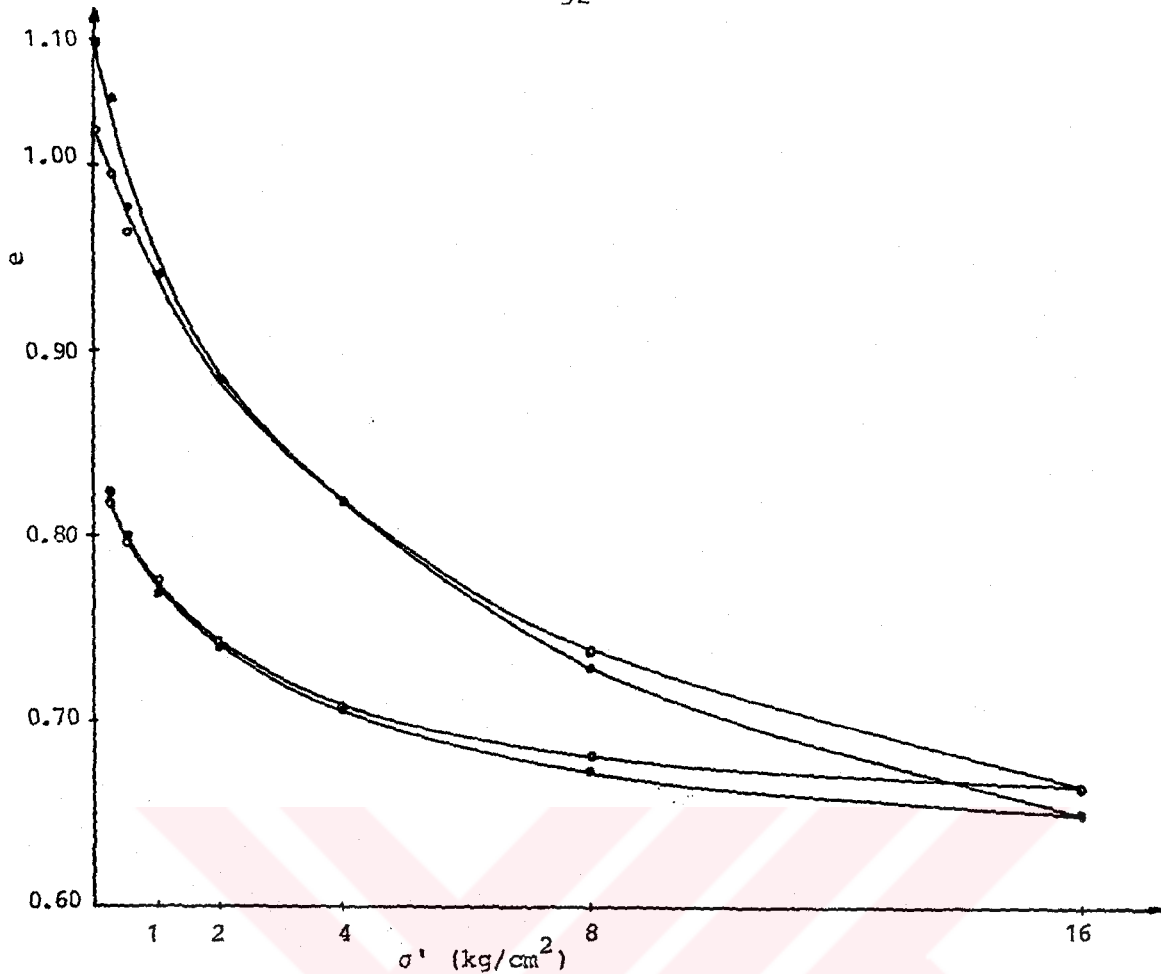
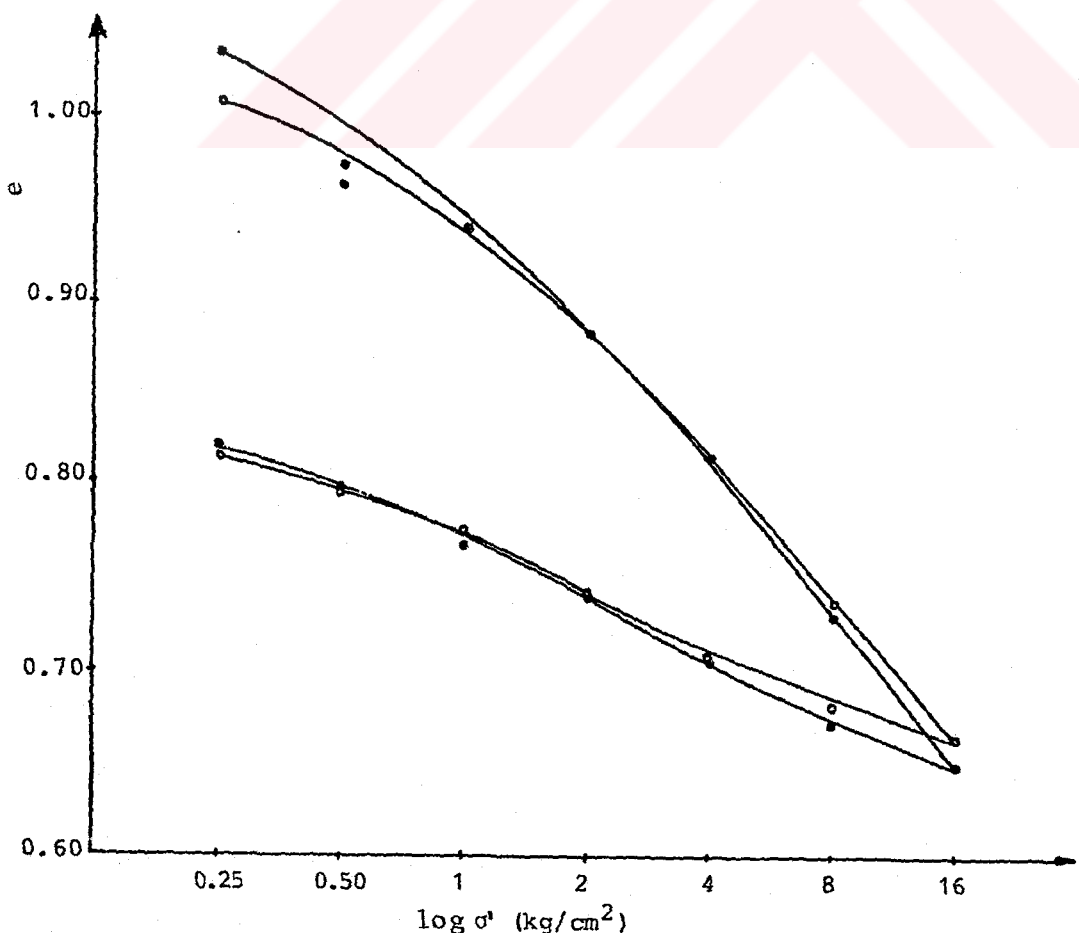
| σ (kg/cm ²) | OTURMA (mm) | ΔH (mm) | $\Delta e=0.12626 \Delta H$ | e | e_{ort} | a_v (cm ² /kg) | m_v (cm ² /kg) | t_{50} (dak) | t_{90} (dak) | C_v (cm ² /sn) | |
|-----------------------------------|----------------|-----------------|-----------------------------|-------|------------------|--------------------------------|--------------------------------|-------------------|-----------------------|---------------------------------------|---------------------------------------|
| | | | | | | | | | | 0.196 d ² /t ₅₀ | 0.848 d ² /t ₉₀ |
| 0 | 7.030 | 0.066 | 0.006 | 0.846 | 0.024 | 0.013 | 9 | 20.25 | 3.62x10 ⁻⁴ | 6.96x10 ⁻⁴ | |
| 0.25 | 6.964 | 0.206 | 0.019 | 0.840 | 0.065 | 0.035 | 14.13 | 25 | 2.28x10 ⁻⁴ | 5.58x10 ⁻⁴ | |
| 0.50 | 6.824 | 0.470 | 0.043 | 0.827 | 0.008 | 0.026 | 17.78 | 29.16 | 1.78x10 ⁻⁴ | 4.68x10 ⁻⁴ | |
| 1 | 6.560 | 0.854 | 0.079 | 0.803 | 0.785 | 0.036 | 0.020 | 18.84 | 36 | 1.62x10 ⁻⁴ | 3.67x10 ⁻⁴ |
| 2 | 6.176 | 1.632 | 0.151 | 0.767 | 0.731 | 0.036 | 0.021 | — | 21.21 | — | 5.86x10 ⁻⁴ |
| 4 | 5.398 | 2.136 | 0.197 | 0.695 | 0.672 | 0.012 | 0.007 | 39.81 | 86.49 | 6.73x10 ⁻⁵ | 1.34x10 ⁻⁴ |
| 8 | 4.894 | 2.800 | 0.258 | 0.649 | 0.619 | 0.008 | 0.005 | 49 | 100 | 5.12x10 ⁻⁵ | 1.09x10 ⁻⁴ |
| 16 | 4.230 | 2.686 | 0.248 | 0.588 | | | | | | | |
| 8 | 4.344 | 2.486 | 0.229 | 0.598 | | | | | | | |
| 4 | 4.544 | 2.254 | 0.208 | 0.617 | | | | | | | |
| 2 | 4.776 | 2.014 | 0.186 | 0.638 | | | | | | | |
| 1 | 5.016 | 1.880 | 0.174 | 0.660 | | | | | | | |
| 0.50 | 5.150 | 1.734 | 0.160 | 0.672 | | | | | | | |
| 0.25 | 5.296 | | | 0.686 | | | | | | | |

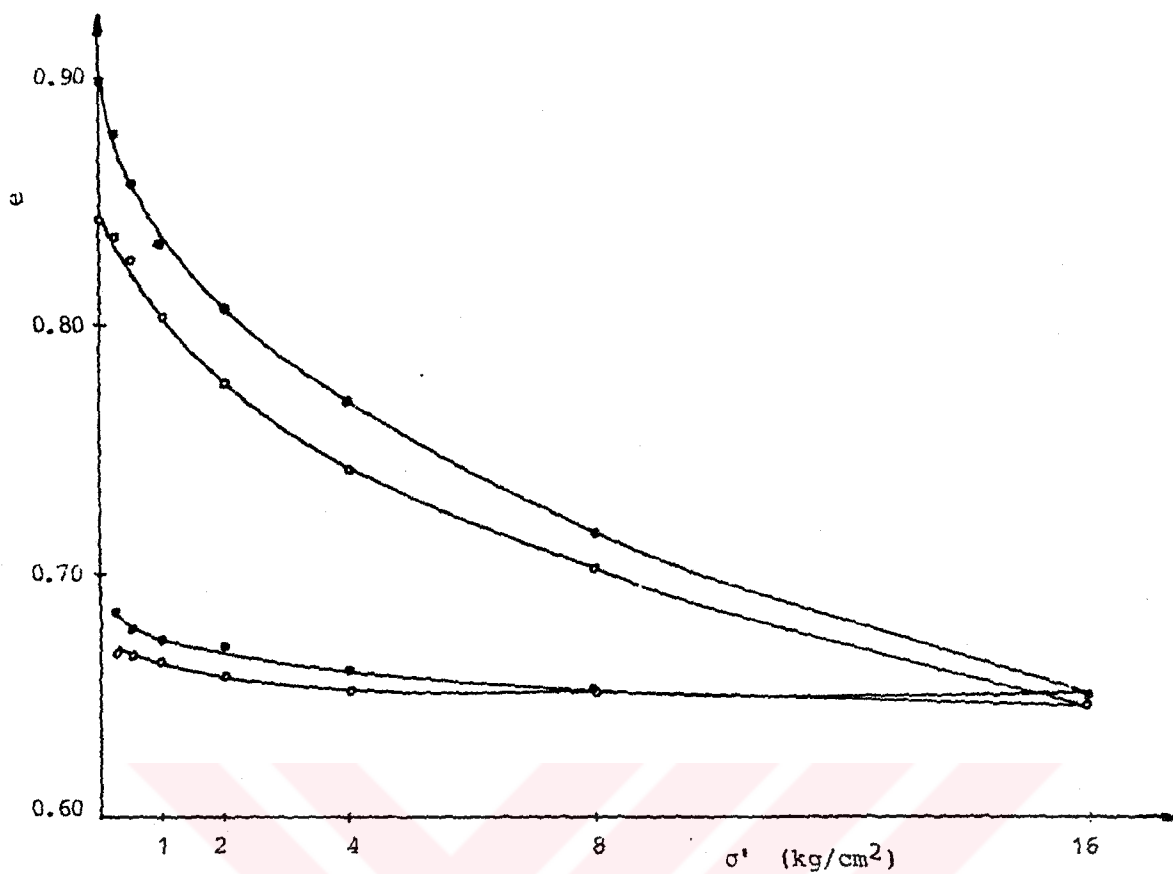


Şekil 2.26: Deney No. 1-I/II ye ait e- σ' eğrisi

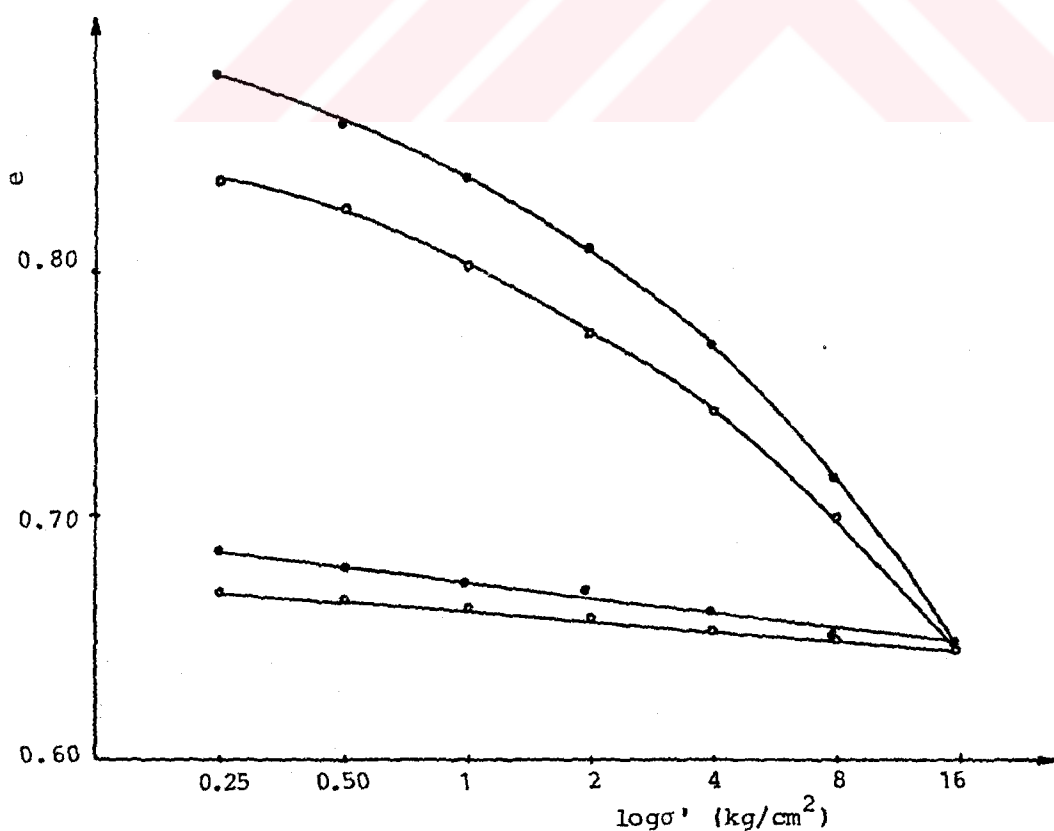


Şekil 2.27: Deney No. 1-I/II ye ait e- $\log \sigma'$ eğrisi

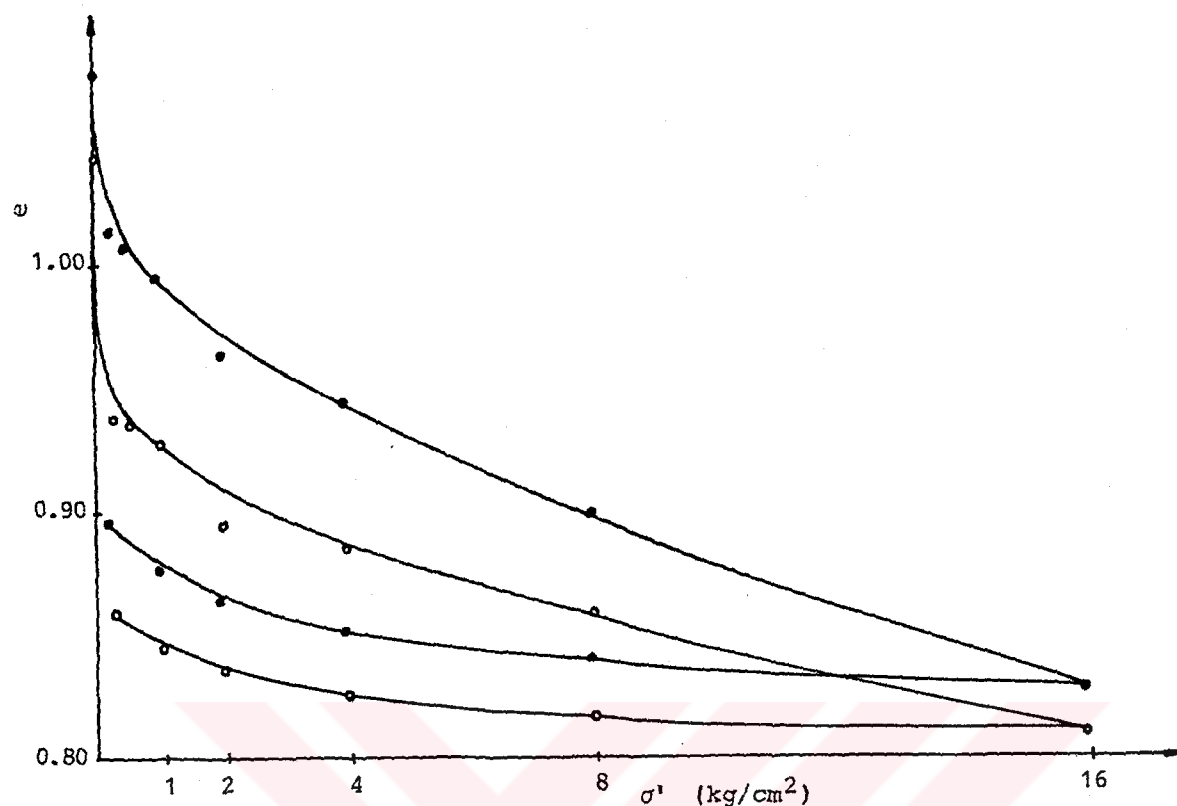
Şekil 2.28: Deney No. 2-I/II ye ait $e-\sigma'$ eğrisiŞekil 2.29: Deney No. 2-I/II ye ait $e-\log \sigma'$ eğrisi



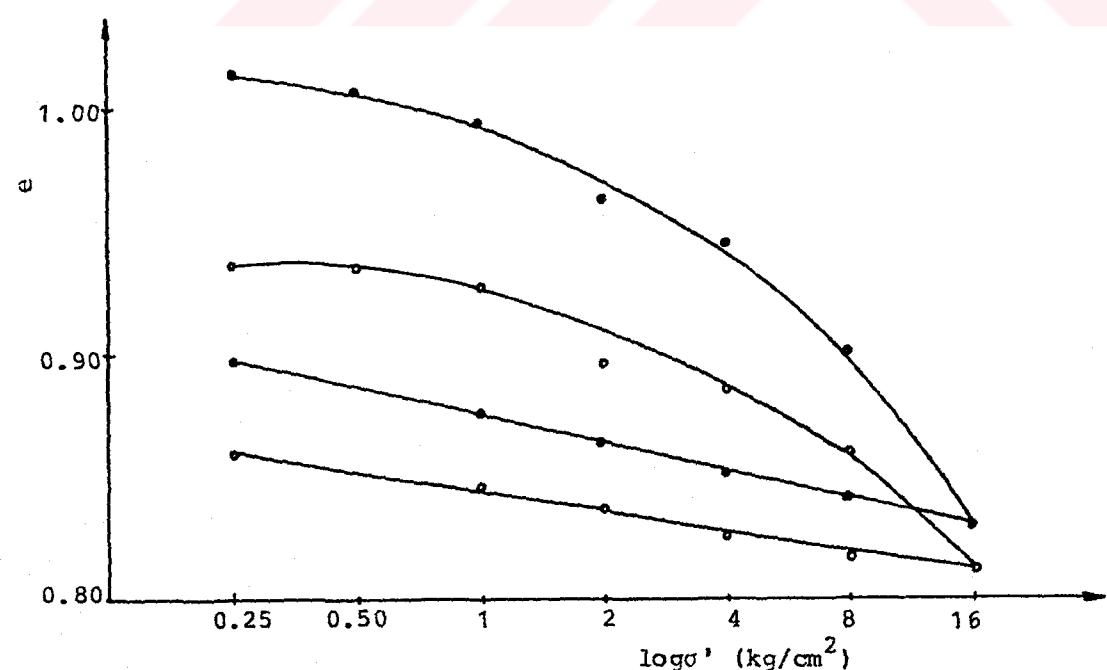
Şekil 2.30: Deney No. 3-I/II ye ait $e-\sigma'$ eğrisi



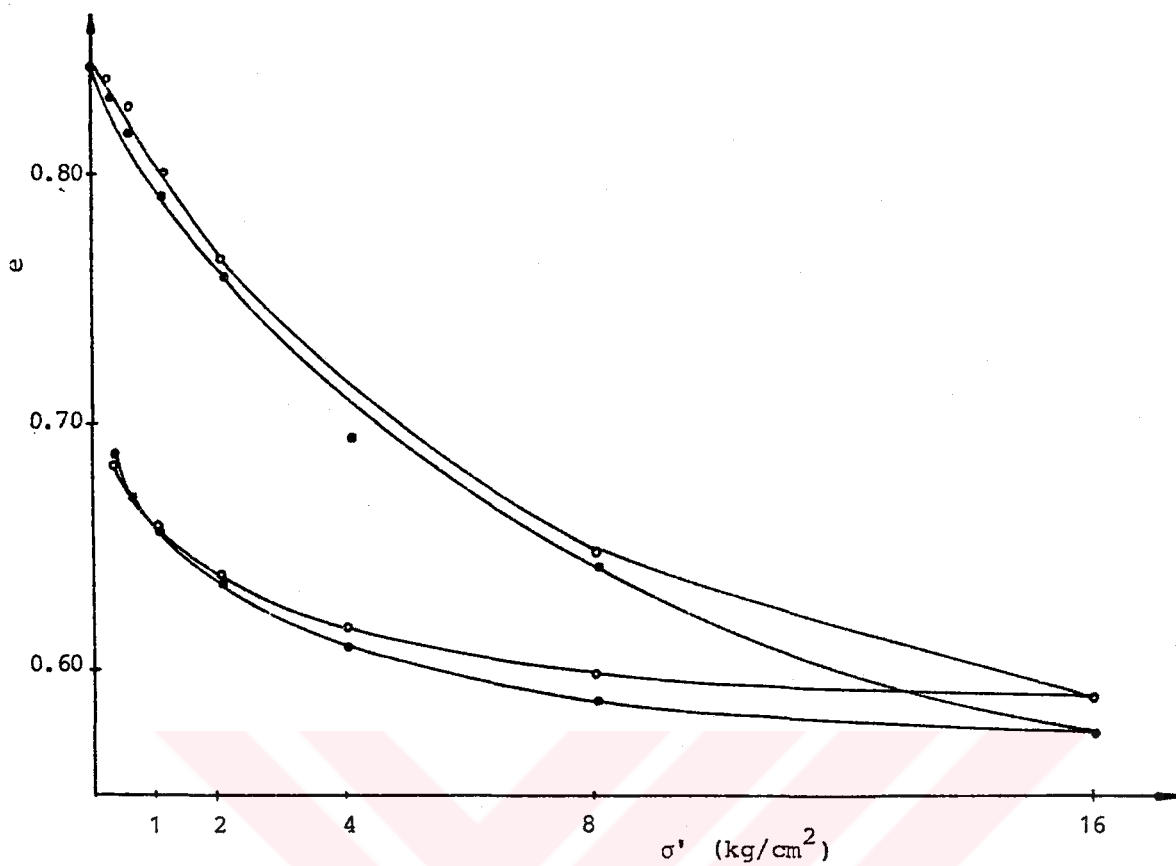
Şekil 2.31: Deney No. 3-I/II ye ait $e-\log \sigma'$ eğrisi



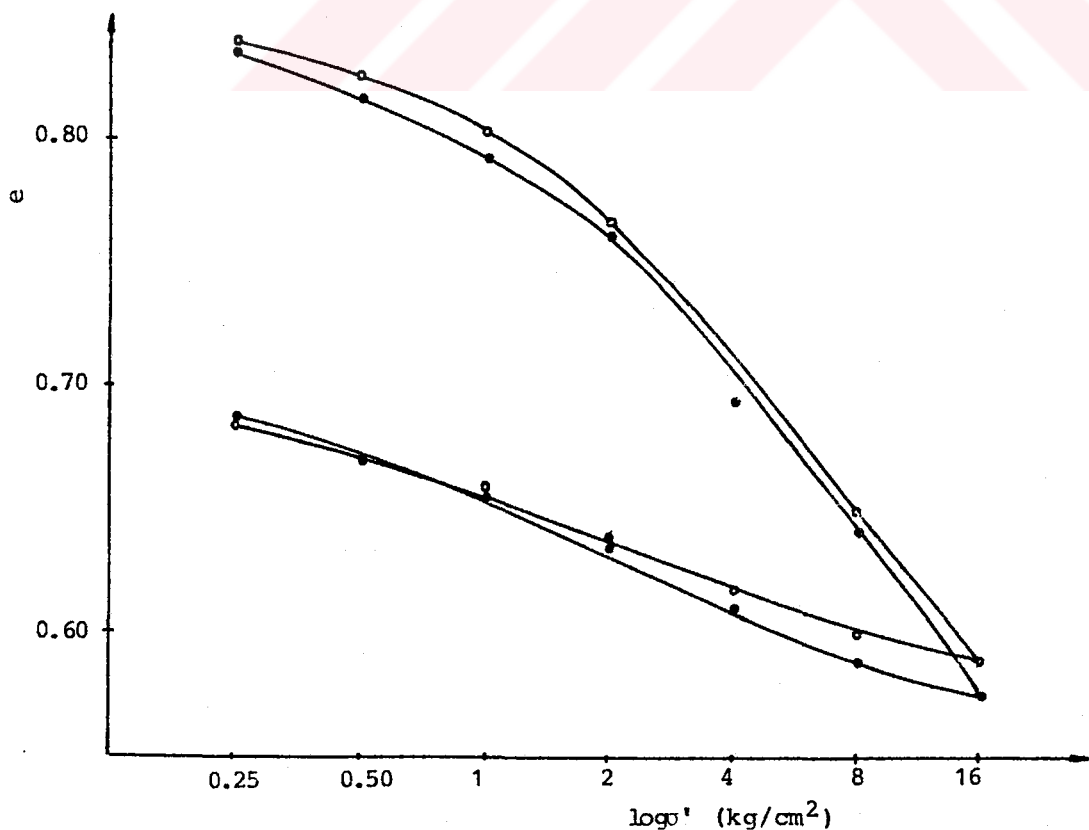
Sekil 2.32: Deney No. 4-I/II ye ait e- σ' eğrisi



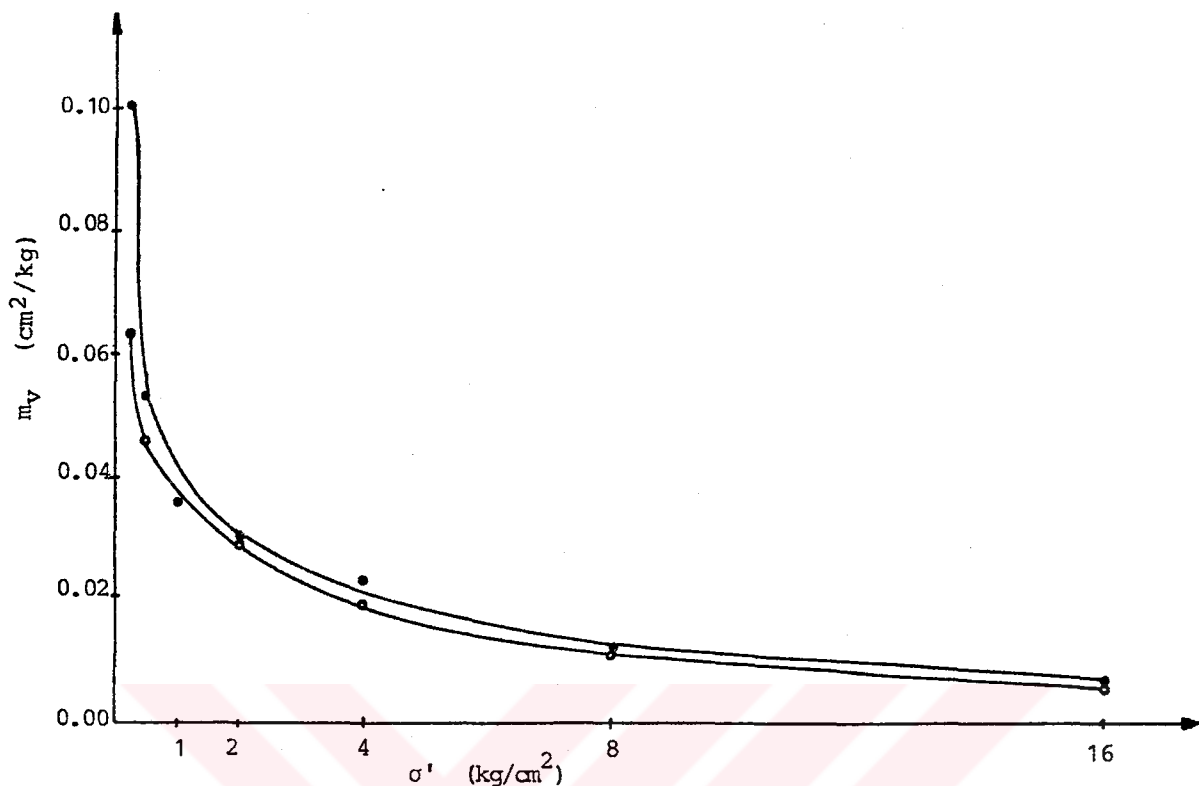
Sekil 2.33: Deney No. 4-I/II ye ait e-log sigma' eğrisi



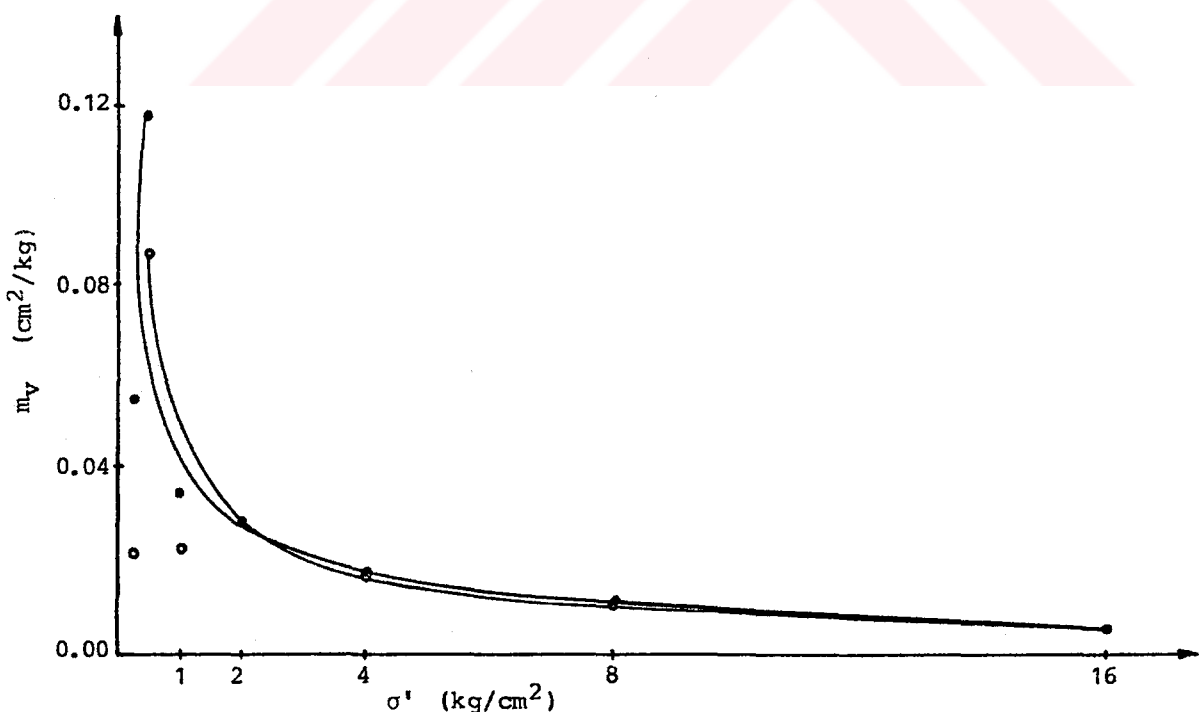
Şekil 2.34: Deney No. 5-I/II ye ait $e-\sigma'$ eğrisi



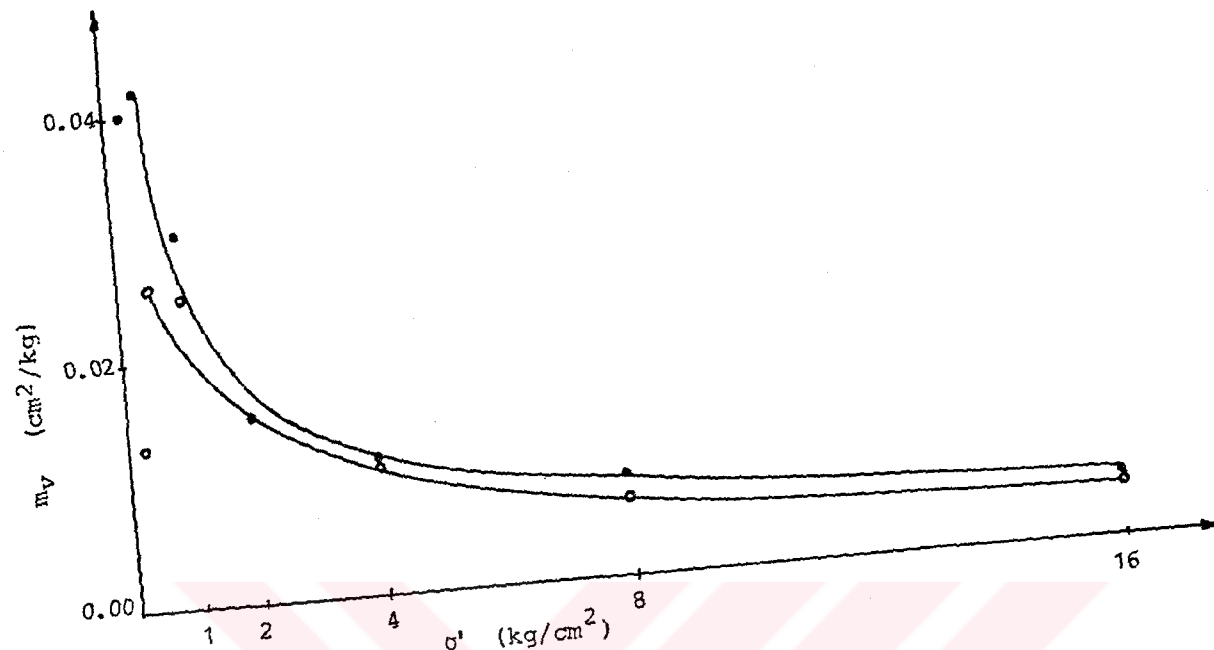
Şekil 2.35: Deney No. 5-I/II ye ait $e-\log \sigma'$ eğrisi



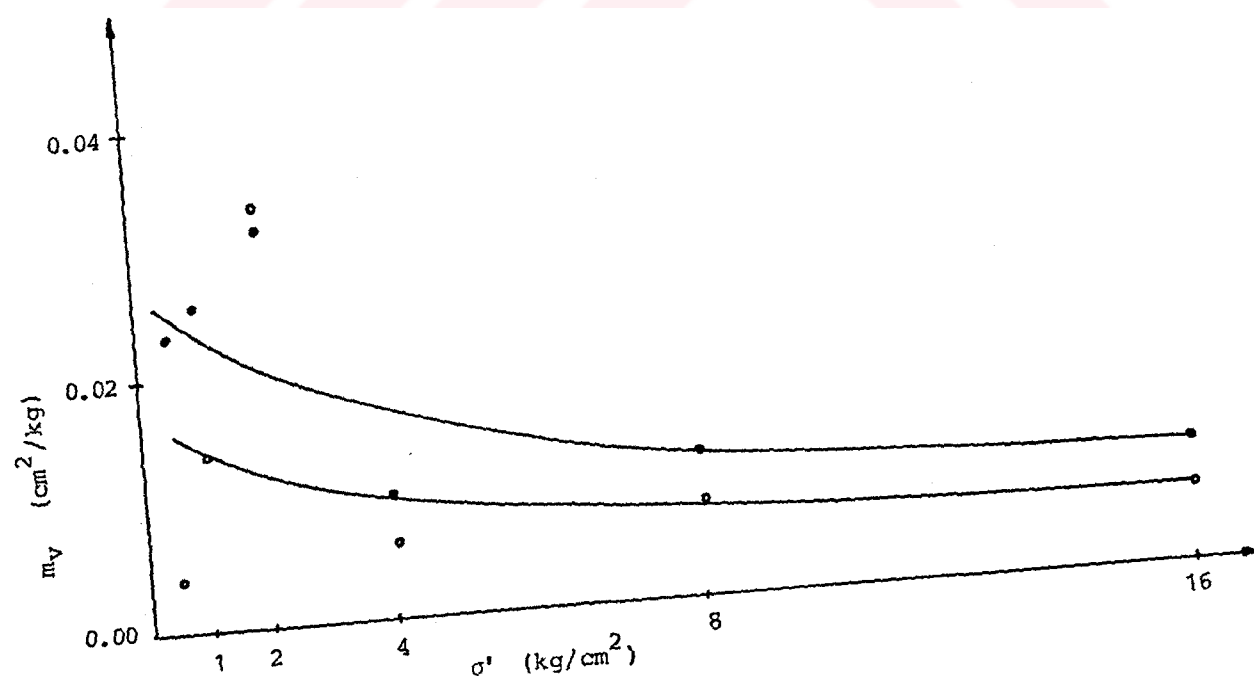
Sekil 2.36: Deney No. 1-I/II ye ait $m_V-\sigma'$ eğrisi



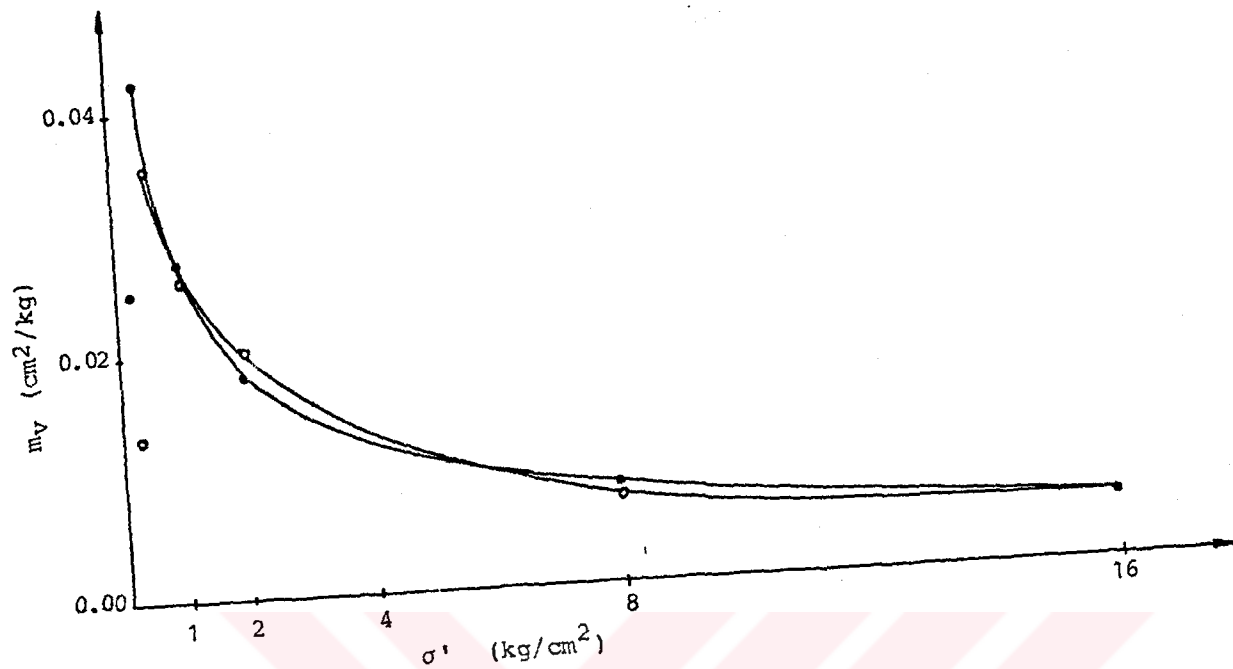
Sekil 2.37: Deney No. 2-I/II ye ait $m_V-\sigma'$ eğrisi



Sekil 2.38: Deney No. 3-I/II ye ait $m_V-\sigma'$ eğrisi



Sekil 2.39: Deney No. 4-I/II ye ait $m_V-\sigma'$ eğrisi



Sekil 2.40: Deney No. 5-I/II ye ait $m_v-\sigma'$ eğrisi

BÖLÜM 3

SİĞ (YÜZEYSEL) TEMEL SİSTEMLERİNİN KONSOLIDASYON OTURMALARI

3.1. Zeminde Gerilme Dağılışı

3.1.1. Giriş

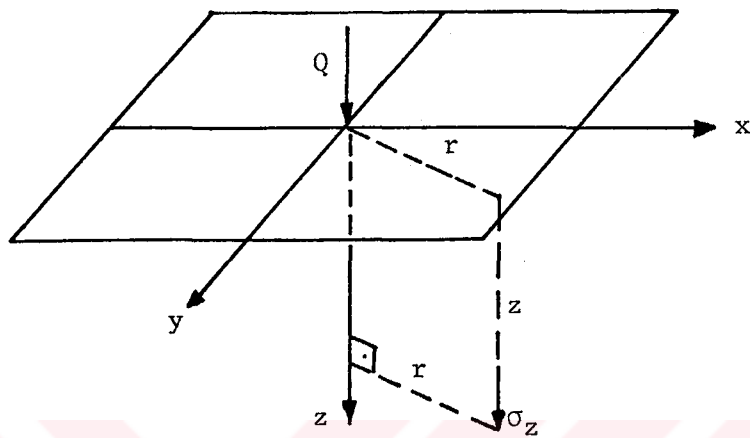
Birçok problemde (deformasyon problemlerinde), kırılma (göçme)'dan önceki safhalarda, yüzey ve yüzeye yakın yüklerden, zemin ortamında oluşan gerilmelerin, yerdeğiştirmelerin (deformasyonların) bilinmesi gereklidir.

Zeminin karmaşık olmasından dolayı, zemin için gerçekçi gerilme-deformasyon analizleri yapmak oldukça zordur. Bu nedenle yaklaşık olmasına rağmen genellikle Elastisite Teorisi kullanılır. Elastisite teorisi kullanılırken zemin için şu basitleştirici kabuller yapılır: 1) Zemin elastik olup, gerilme-deformasyon ilişkisi doğrusal (lineer) dir. Başka bir deyişle Hook yasası geçerlidir. 2) Zemin ortam homogendir. Diğer bir deyişle elastik sabitler, Elastisite modülü E ve poisson oranı ν her noktada aynıdır. 3) Zemin ortam izotropiktir. Yani, özellikleri bir noktada, her doğrultuda aynıdır. 4) Zemin ortam yarımsuzdur. Yani, bir düzlemin altında her yönde sonsuz uzunlukta uzanır. Gerçekte bu kabullerin hiçbirini gerçekçi değildir. Ancak, Elastisite teorisi, bu basitleştirici kabullerle, pratikde kullanılabilir sonuçlar vermektedir.

Çeşitli yüzey yüklerinden dolayı, zemin ortamda, meydana gelen düşey doğrultudaki gerilme artışlarının bulunmasında çeşitli yöntemler geliştirilmiştir.

3.1.2. Nokta (Tekil) Yük

Boussinesq (1885), lineer, elastik, homogen, izotrop yarımsonsuz ortamda, bir yüzey tekil yükünden oluşan gerilme problemi çözdü (Şekil 3.1).



Şekil 3.1: Nokta yük

Boussinesq, Q yüzey tekil yükünden dolayı, z derinliğinde r uzaklıktaki bir noktada oluşan ek düşey gerilmeler için su bağıntıyı verdi.

$$\sigma_z = \frac{3}{2\pi} \left[\frac{1}{1+(r/z)^2} \right]^{5/2} \frac{Q}{z^2} = K_B \frac{Q}{z^2} \quad (3.1)$$

K_B : Boussinesq etki faktörü olup tablolaştırılmıştır.

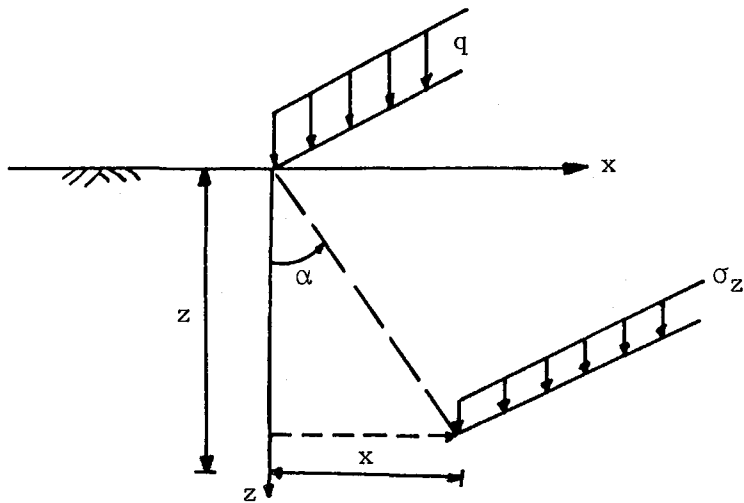
3.1.3. Çizgisel Yük

Şekil 3.2 de bir çizgisel yükten oluşan düşey gerilme görülmektedir.

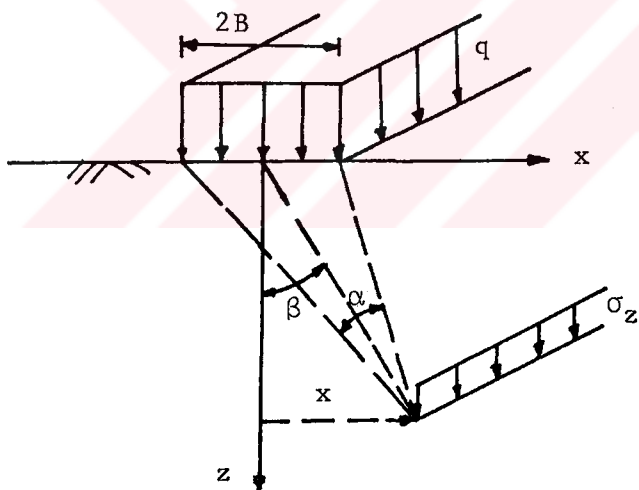
Bir çizgisel q yükünden dolayı, z derinliğinde, r uzaklıkta oluşan düşey gerilme değeri,

$$\sigma_z = \frac{2Qz^3}{\pi(x^2+z^2)^2} \quad (3.2)$$

ile hesaplanır.



Şekil 3.2: Çizgisel yük

3.1.4. Üniform Şerit Yük

Şekil 3.3: Üniform şerit yük

Üniform bir şerit yükten oluşan düşey gerilme,

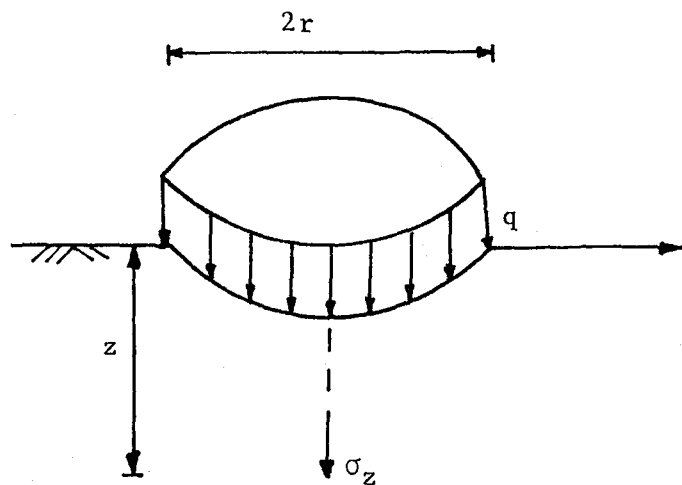
$$\sigma_z = \frac{q}{\pi} (\alpha + \sin \alpha \cos 2\beta) \quad (3.3)$$

ya da

$$\sigma_z = \frac{q}{\pi} \left[\tan^{-1} \frac{z}{x-B} - \tan^{-1} \frac{z}{x+B} - \frac{2Bz(x^2-z^2-B^2)}{(x^2+z^2-B^2)^2+4B^2z^2} \right] \quad (3.4)$$

denklemlerinden biri ile hesaplanabilir.

3.1.5. Üniform Yüklü Daire Alan



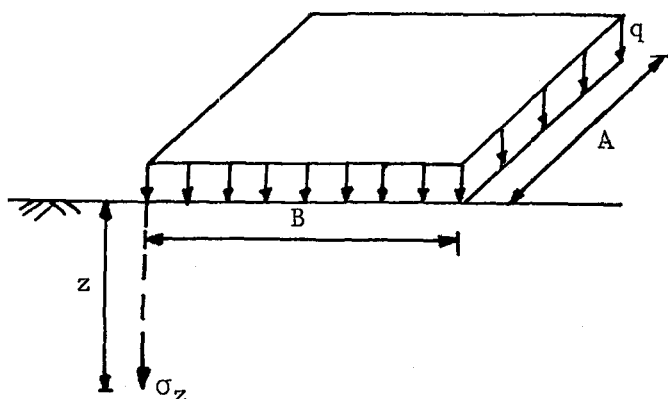
Şekil 3.4: Üniform yüklü daire alan

Böyle bir alanın ortası altında, z derinliğindeki bir noktada düşey gerilme artışı

$$\sigma_z = \left[1 - \left\{ \frac{1}{1 + (r/z)^2} \right\}^{3/2} \right] q \quad (3.5)$$

ile hesaplanır.

3.1.6. Üniform Yüklü Dikdörtgen Alan



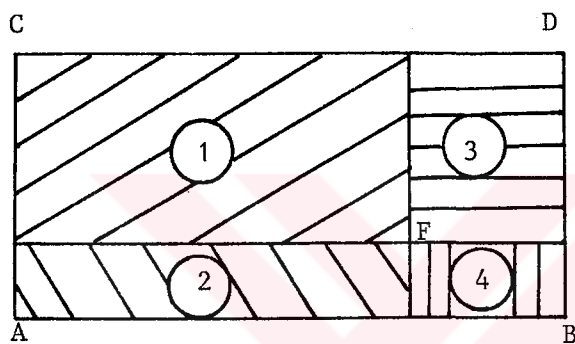
Şekil 3.5: Üniform yüklü dikdörtgen alan

Üniform yayılı yükle yüklü, dikdörtgen bir alanın, bir köşesi altında, z derinliğindeki bir noktada düşey gerilme,

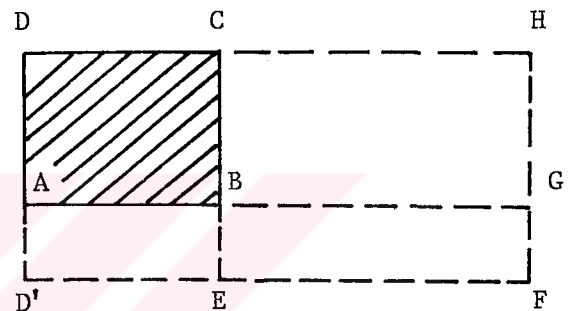
$$\sigma_z = \frac{q}{4\pi} \left[\frac{2mn\sqrt{m^2+n^2+1}}{m^2+n^2+1} + \frac{m^2+n^2+2}{m^2+n^2+1} + \operatorname{arc} \operatorname{tg} \frac{2mn\sqrt{m^2+n^2+1}}{m^2+n^2-m^2n^2+1} \right] = K \cdot q \quad (3.6)$$

ile hesaplanır. K , etki faktörü olup, m ve n değerlerine göre tablolaştırılmıştır (Newmark, 1935).

Uniform yükle yüklü bir alanın içinde veya dışındaki bir nokta altında oluşan gerilme, süperpozisyon kuralı uygulanarak bağıntı (3.6) ile hesaplanabilir.



a) Dikdörtgen içinde bir noktası



b) Dikdörtgen dışındaki bir noktası

Şekil 3.6: Dikdörtgen alan içinde veya dışındaki noktalar

Dikdörtgen alanındaki bir F noktası (Şekil 3.6 a) altında gerilme artısını hesaplamak için alan, F noktasından geçen doğrultuda $1, 2, 3, 4$ alanlarına bölünür. Her bir alandan dolayı F noktasında oluşan gerilmeler toplanır.

$$\sigma_z = (K_1 + K_2 + K_3 + K_4) q \quad (3.7)$$

Dikdörtgen alan dışındaki bir F noktası (Şekil 3.6 b) altındaki gerilmeyi hesaplamak için, F noktasından geçen doğrularla alanlar oluşturulur. F noktası altındaki gerilme süperpozisyon kuralı ile aşağıdaki gibi hesaplanır.

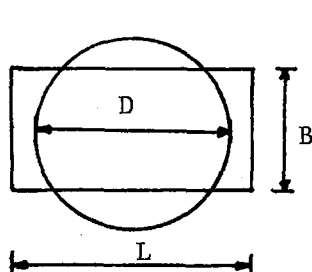
$$\sigma_z = q (K_{D'FHD} - K_{DFGA} - K_{EFHC} + K_{EFGB}) \quad (3.8)$$

3.2. Sığ (Yüzeysel) Temel Sistemleri Altında Meydana Gelen Konsolidasyon Oturmaları Hesabı

Kısım 1.3 de anlatıldığı gibi, yapılarda meydana gelen çatlaklar, ağır hasarlar, hatta yıkılmaların başında, temel oturmalarının, izin verilebilir oturma değerlerini aşması gelir. Geçmiş çalışmaların incelenmesinden, hesaplarda, sadece temel sistemindeki her bir temelin merkezi altındaki oturmaların dikkate alındığı, bu temellere komşu temellerin etkisinin düşünülmmediği anlaşılmaktadır.

Oysa, komşu temellerden dolayı, bir temelin merkezi altında gerilme artışı olmakta, dolayısıyla oturma miktarında artmaktadır. Komşu temellerin etkisi; dikkate alınmadıkları durumda hesap edilebilir oturmaları, izin verilebilir oturmaları aşan duruma dönüştürülebilir.

Komşu temellerin etkisi Design Manual (1971) de yaklaşık olarak dikkate alınmaktadır. Buna göre, dikdörtgen veya kare taban alanlı tekil temeller, alanlar aynı olacak şekilde eşdeğer dairesel temellere dönüştürülmektedir. Burada bir yaklaşılık yapıldığı açıktır.



$$\begin{aligned} A_1 &= A_2 \\ B \cdot L &= \pi D^2 / 4 \\ D &= \sqrt{4BL/\pi} \end{aligned}$$

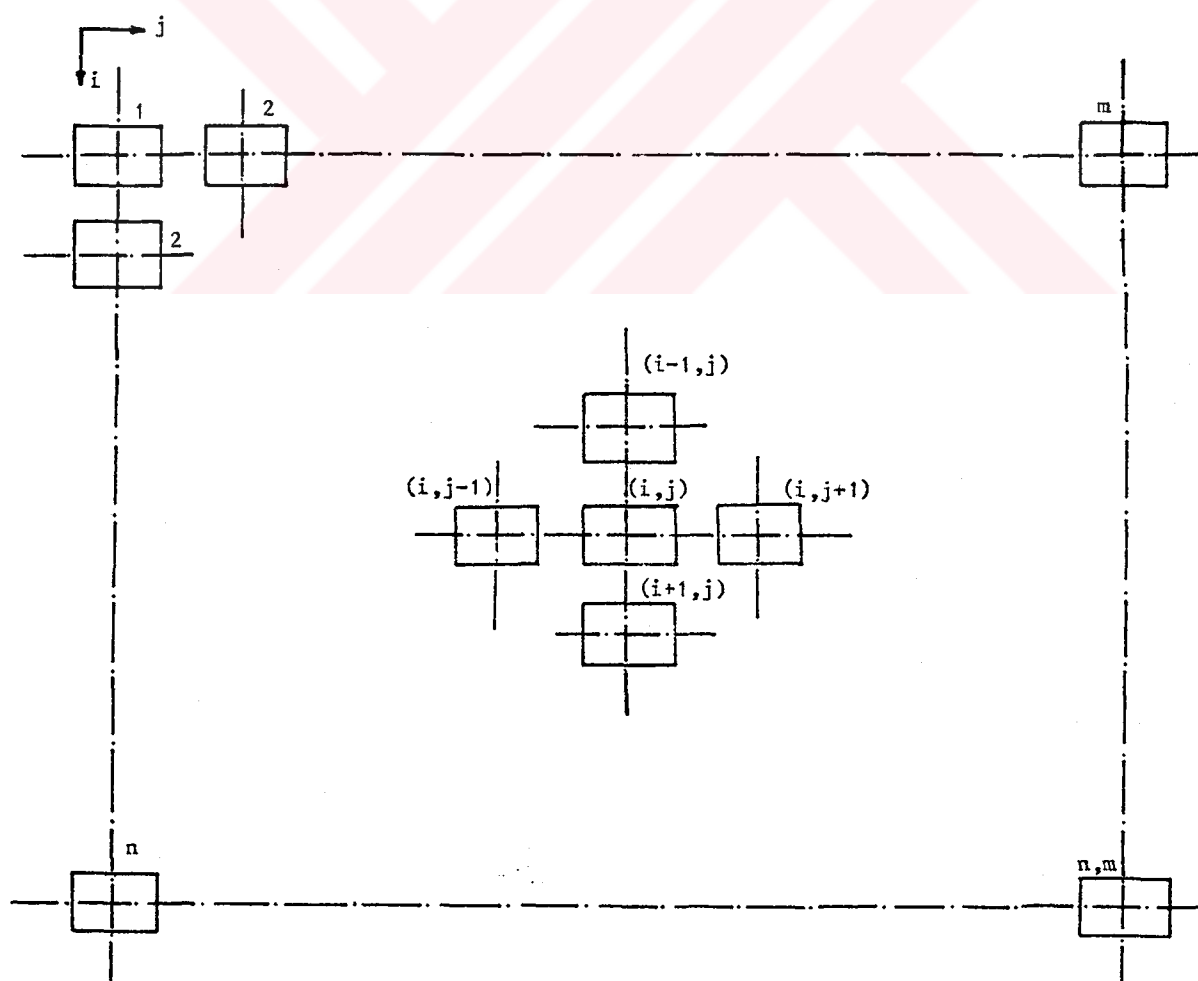
Şekil 3.7: Dikdörtgene eşdeğer daire

Sonra, dikdörtgen veya kare taban alanlı komşu temellerin etkisi, dairesel alanların etkisi olarak dikkate alınmaktadır. Ancak, uniform dairesel yükün kendi merkezi altında olmayan bir noktada meydana gelen gerilme artışını veren kapalı bir ifade (bağıntı) elde edilemediğinden, bu işlem tablolar veya

grafikler yardımcı ile yapılabilmektedir. Tablo ve grafiklerin kullanılmasında, yavaşlık ve yaklaşıklık söz konusudur.

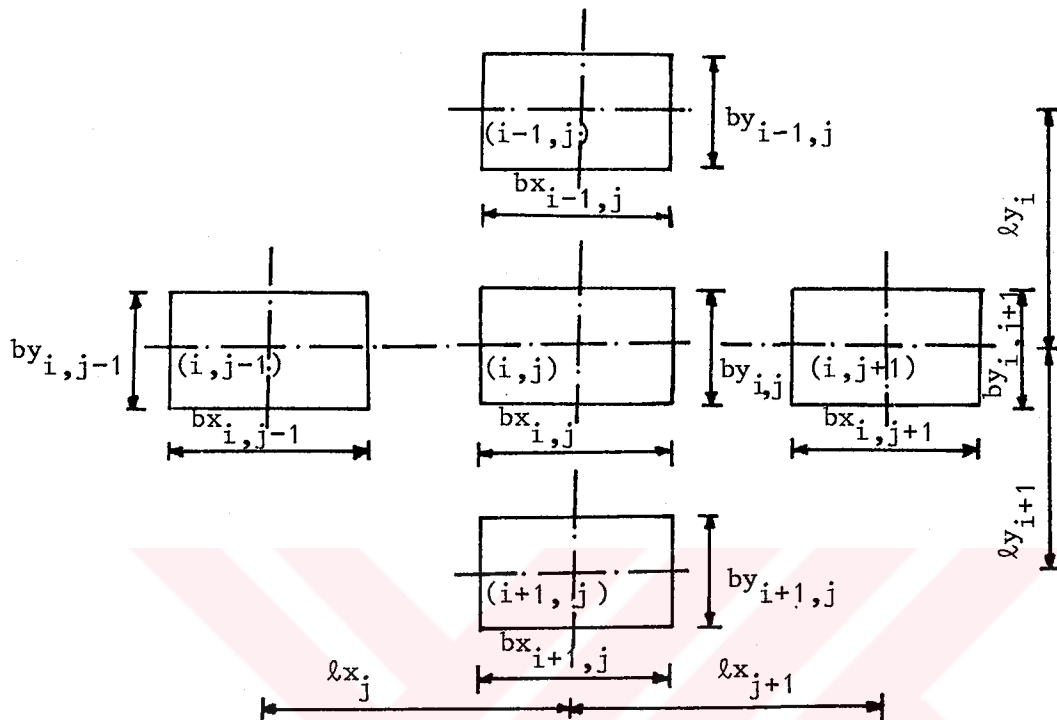
Bu çalışmada, komşu temellerin etkisi, herhangi bir şekil yaklaşıklığı yapmadan, dikdörtgen alanlar kullanarak, dikkate alınmıştır. Bu etkileşimi elle yapmak, uzun zaman alacağından, bu amaçla genel bir bilgisayar programı geliştirilmiş ve kullanılmıştır. Bu yaklaşımın; komşu temellerin etkisini hiç dikkate almayan veya Design Manual'de olduğu gibi yaklaşık olarak dikkate alan yaklaşılara göre, önemli bir ilerleme getirdiği açıklıdır.

3.2.1. Üniform Yüklü Tekil Temel Sisteminde Her Bir Tekil Temelin Konsolidasyon Oturmalarının Hesaplanması



Şekil 3.8: Genel bir tekil temel sistemi

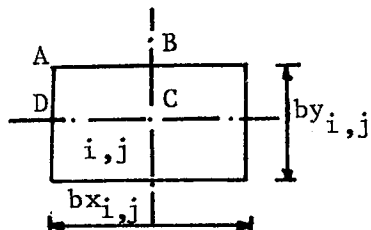
Bir tekil temel sistemindeki herhangi bir i, j temelini ve buna dik doğrultudaki komşu temelleri ele alalım.



Şekil 3.9: Herhangi bir temel ve komşu temelleri

Bir tekil temel sistemindeki herhangi bir (i, j) temelinin merkezi altında oluşan toplam gerilme artışının hesaplanabilmesi için gerekli m ve n sabitlerinin bulunmasında aşağıda gösterilen dikdörtgen alanlar oluşturulur.

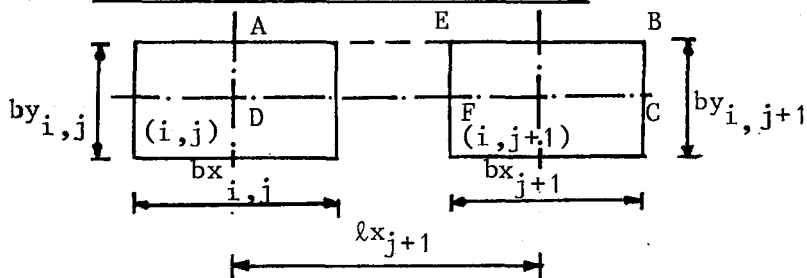
A) (i, j) temelinde, kendinden dolayı:



$$m_{i,j} = \frac{bx_{i,j}/2}{z}$$

$$n_{i,j} = \frac{by_{i,j}/2}{z}$$

Şekil 3.10: (i, j) temel boyutları

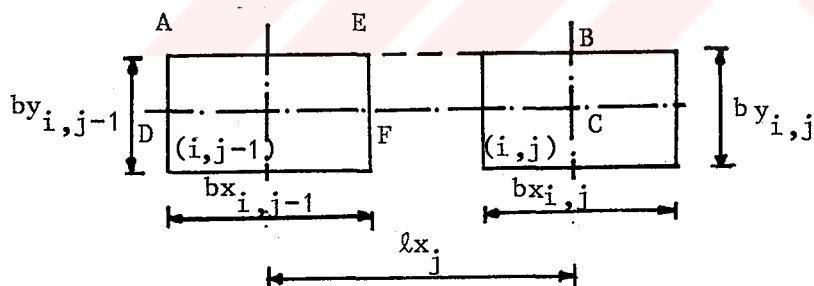
B) $(i, j+1)$ temelinden dolayıŞekil 3.11: $(i, j+1)$ temel boyutları

$$\text{ABCD dikdörtgen alan için: } m_{i,j} = \frac{l_{x_{j+1}} + (bx_{i,j+1}/2)}{z}$$

$$n_{i,j} = \frac{by_{i,j+1}/2}{z}$$

$$\text{AEFD dikdörtgen alanı için: } m_{i,j} = \frac{l_{x_{j+1}} - (bx_{i,j+1}/2)}{z}$$

$$n_{i,j} = \frac{by_{i,j+1}/2}{z}$$

C) $(i, j-1)$ temelinden dolayıŞekil 3.12: $(i, j-1)$ temel boyutları

$$\text{ABCD dikdörtgen alanı için: } m_{i,j} = \frac{l_{x_j} + (bx_{i,j-1}/2)}{z}$$

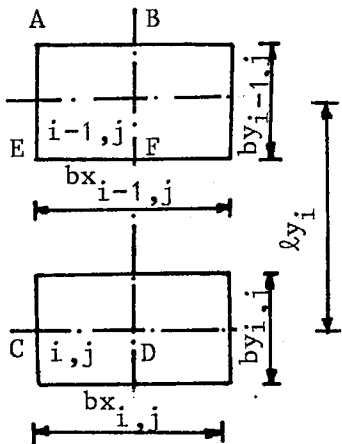
$$n_{i,j} = \frac{by_{i,j-1}/2}{z}$$

$$\text{EBCF dikdörtgen alanı için: } m_{i,j} = \frac{l_{x_j} - (bx_{i,j-1}/2)}{z}$$

$$n_{i,j} = \frac{by_{i,j-1}/2}{z}$$

D) $(i-1, j)$ temelinden dolayı:

ABCD dikdörtgen alanı için:

Şekil 3.13: $(i-1, j)$ temel boyutları

$$m_{i,j} = \frac{\ell y_i + (by_{i-1,j}/2)}{z}$$

$$n_{i,j} = \frac{bx_{i-1,j}/2}{z}$$

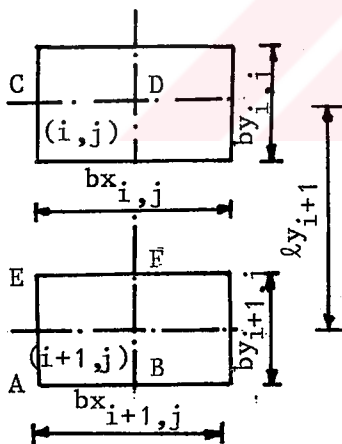
EFCD dikdörtgen alanı için:

$$m_{i,j} = \frac{\ell y_i - (by_{i-1,j}/2)}{z}$$

$$n_{i,j} = \frac{bx_{i-1,j}/2}{z}$$

E) $(i+1, j)$ temelinden dolayı:

ABCD dikdörtgen alanı için:

Şekil 3.14: $(i+1, j)$ temel boyutları

$$m_{i,j} = \frac{\ell y_{i+1} + (by_{i+1,j}/2)}{z}$$

$$n_{i,j} = \frac{bx_{i+1,j}/2}{z}$$

EFCD dikdörtgen alanı için:

$$m_{i,j} = \frac{\ell y_{i+1} - (by_{i+1,j}/2)}{z}$$

$$n_{i,j} = \frac{bx_{i+1,j}/2}{z}$$

Bulunan m ve n sabitleri bağıntı (3.6) da yerine konursa (i, j) temelinin merkezi altında, belli bir z derinliğinde, kenarlarından ve komşu temellerden dolayı meydana gelen düşey gerilme artışları ayrı ayrı bulunur. Süperpozisyon kuralı uygulanarak (i, j) temelinin merkezi altındaki toplam düşey gerilme elde edilir.

Aynı düşünce her bir temele ayrı ayrı uygulanırsa, bir tekil temel sistemindeki her bir temelin merkezi altında meydana gelen düşey gerilme artışları bulunur.

Bir tekil temel sistemindeki her bir temelin merkezi altında meydana gelen konsolidasyon oturmalarının bulunması için gerekli olan tüm bilgileri oku (Temel boyutları, tekil yükler, kolon açıklıkları, hacimsal sıkışma katsayısı, tabaka kalınlığı).

Bir tekil temel sistemindeki her bir temelin merkezi altında meydana gelen gerilme artışlarının bulunması için gerekli olan tüm m ve n sabitlerine ait, oluşturulan dikdörtgen alan boyutlarını hesapla.

Bir tekil temel sistemindeki her bir temelin (i,j) merkezi altında kendinden dolayı oluşan gerilme artısını hesapla.

Bir tekil temel sistemindeki her bir temelin merkezi altında, sağındaki $(i,j-1)$ komşu temellerden dolayı meydana gelen gerilme artısını hesapla

Bir tekil temel sistemindeki her bir temelin merkezi altında, solundaki $(i,j+1)$ komşu temellerden dolayı meydana gelen gerilme artısını hesapla.

Bir tekil temel sistemindeki her bir temelin merkezi altında, yukarıdaki $(i-1,j)$ komşu temellerden dolayı meydana gelen gerilme artısını hesapla.

Bir tekil temel sistemindeki her bir temelin merkezi altında, aşağıdaki $(i+1,j)$ komşu temellerden dolayı meydana gelen gerilme artısını hesapla.

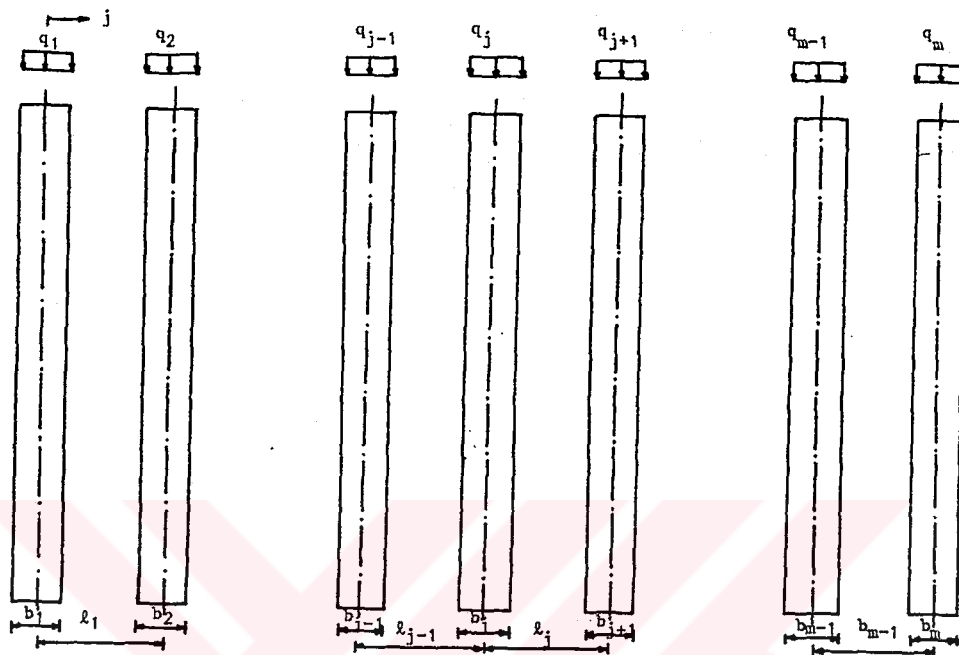
Bir tekil temel sistemindeki her bir temelin merkezi altında, kendinden ve dik doğrultuda komşu temellerden dolayı meydana gelen gerilme artışlarını topla.

Bir tekil temel sistemindeki her bir temelin merkezi altında meydana gelen konsolidasyon oturmasını hesapla.

Bir tekil temel sistemindeki her bir temelin merkezi altında meydana gelen konsolidasyon oturmalarını yaz.

Sekil 3.15: Tekil temel sistemine ait konsolidasyon oturması hesabının akış mantığı.

3.2.2. Uniform Yüklü Bir Şerit Temel Sistemindeki Her Bir Şerit Temelin Konsolidasyon Oturması Hesabı



Şekil 3.16: Genel bir şerit temel sistemi

Bir şerit temel sistemindeki her bir temelin ekseni altında, kendinden ve komşu temellerden dolayı meydana gelen gerilme artıları, bağıntı (3.3) ve (3.4) kullanılarak hesaplanır. Her bir şerit temelin ekseni altında, kendinden ve komşu temellerden dolayı oluşan gerilme artıları ve konsolidasyon oturmaları Şekil 3.17 de gösterilen akış mantığı kullanılarak hesaplanmıştır.

Serit temel sistemindeki her bir temelin merkezi altında meydana gelen konsolidasyon oturmalarının bulunması için gerekli tüm bilgileri oku (temel boyutları, uniform yük, kolon açıklıkları, hacimsal sıkışma katsayısı, tabaka kalınlığı).

Serit temel sistemindeki her bir temelin (j) merkezi altında meydana gelen gerilme artışını hesapla.

Serit temel sistemindeki her bir temelin merkezi altında solundaki ($j-1$) temelinden meydana gelen gerilme artışını hesapla.

Serit temel sistemindeki her bir temelin merkezi altında sağindaki ($j+1$) temelinden dolayı meydana gelen gerilme artışını hesapla.

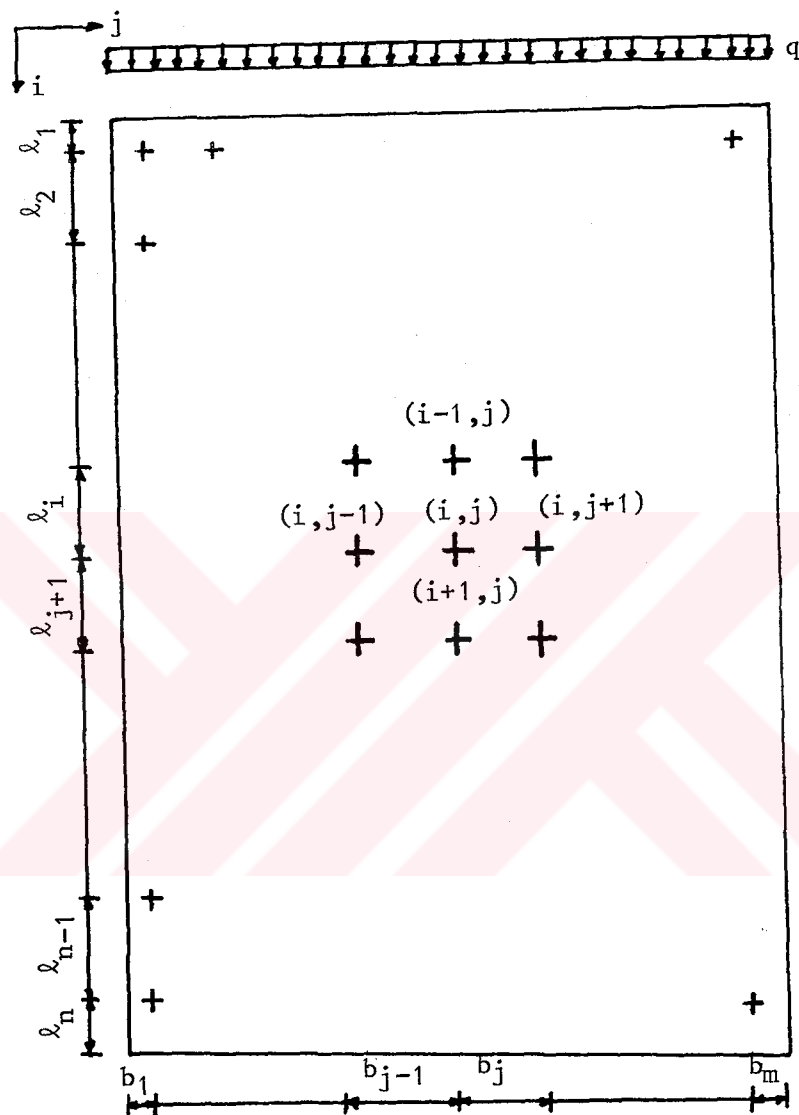
Serit temel sistemindeki her bir temelin merkezi altında, kendinden ve komşu temellerinden dolayı meydana gelen gerilme artılarını topla.

Serit temel sisteminde her bir temelin merkezi altındaki konsolidasyon oturmasını hesapla.

Serit temel sisteminde her bir temelin merkezi altındaki konsolidasyon oturmalarını yaz.

Sekil 3.17: Serit temel sistemine ait konsolidasyon oturması hesabının akış mantığı.

3.2.3. Bir Radye Temelde Her Bir Kolon Altında Meydana
Gelen Konsolidasyon Oturması Hesabı



Sekil 3.18: Genel bir radye temel sistemi

Radye temel sistemindeki herhangi bir kolonu (i, j) ele alalım. Uniform yayılı yükle yüklü bir dikdörtgen alan içindeki herhangi bir nokta (i, j) altında meydana gelen gerilme artışı, süperpozisyon kuralı uygulanarak bağıntı (3.6) ile hesaplanabilir.

Bir radye temelde her bir kolon altında meydana gelen konsolidasyon oturmalarının bulunması için gerekli tüm bilgileri oku (uniform yük, kolon açıklıkları, hacimsal sıkışma katsayısı, tabaka kalınlığı).

Bir radye temelde her bir kolon altında meydana gelen gerilme artışlarının bulunması için gerekli m,n sabitlerine ait oluşturulan dikdörtgen alan boyutlarını hesapla.

Bir radye temelde oluşturulan dikdörtgen alanlardan dolayı meydana gelen gerilme artışlarını hesapla.

Bir radye temelde her bir kolon altında meydana gelen gerilme artışı için, oluşturulan dikdörtgen alanlardan dolayı meydana gelen gerilme artışlarını topla.

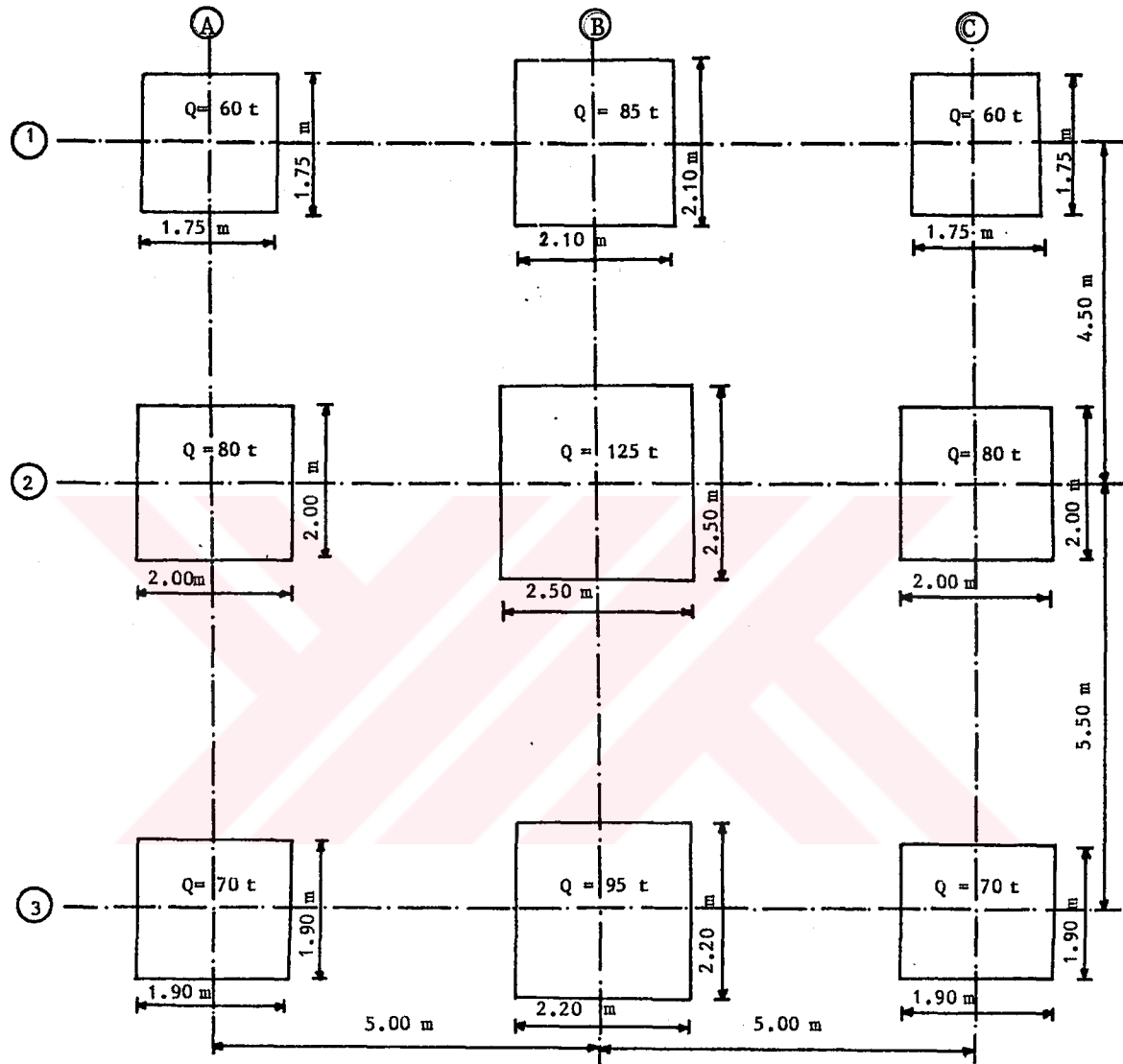
Bir radye temelde her bir kolon altında meydana gelen konsolidasyon oturmasını hesapla.

Bir radye temelde her bir kolon altında meydana gelen konsolidasyon oturmasını yaz.

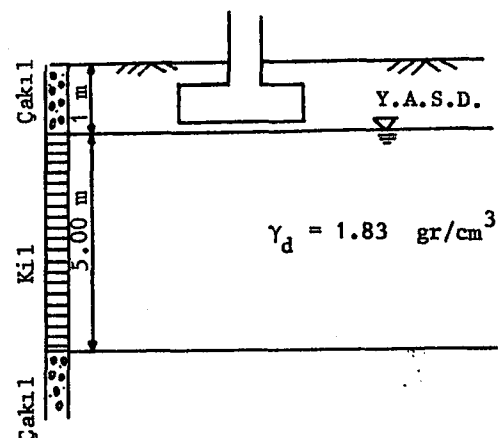
Şekil 3.19: Radye temele ait konsolidasyon oturması akış mantığı.

3.3. Sayısal Örnekler

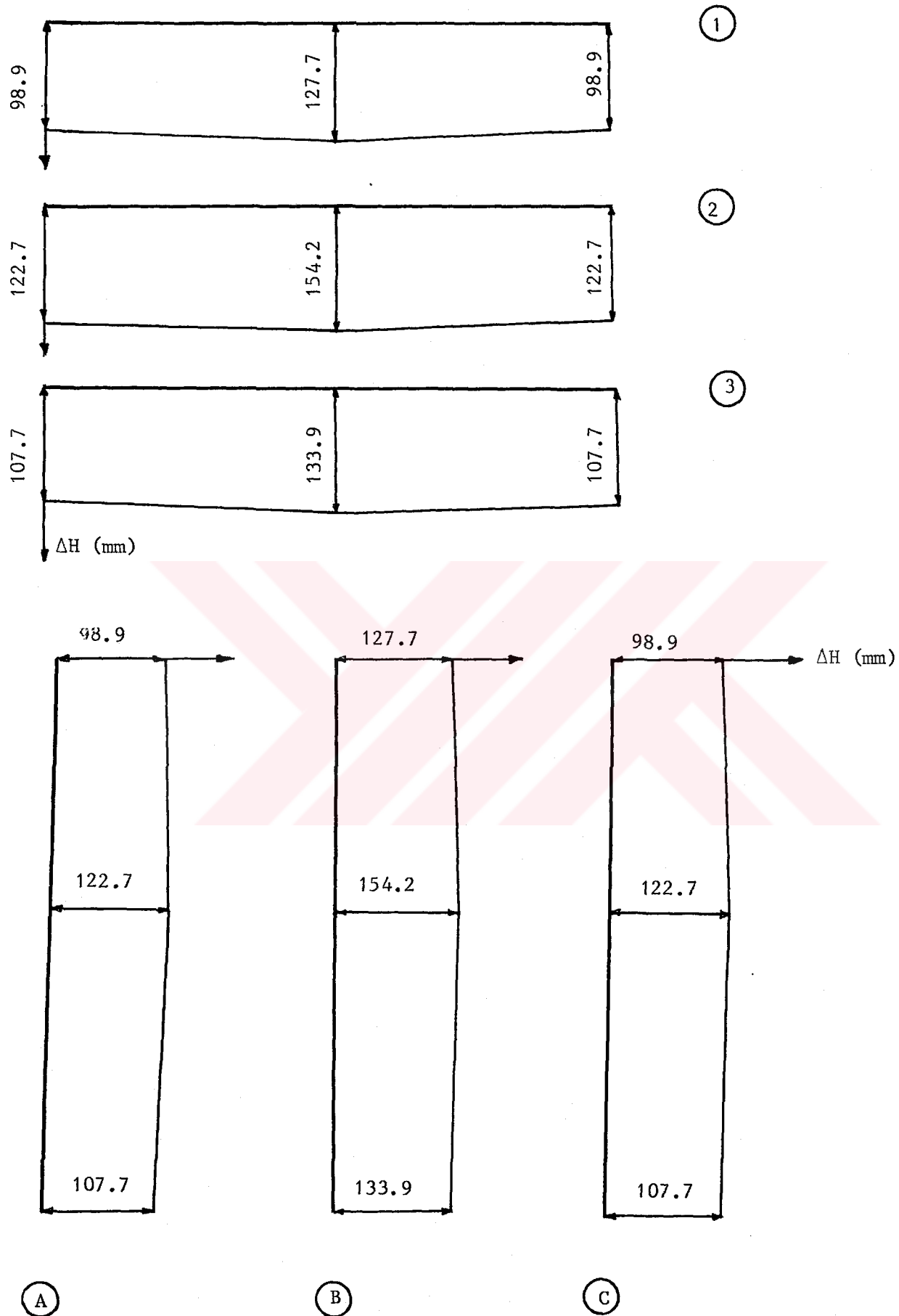
3.3.1. Bir Tekil Temel Sistemindeki Her Bir Tekil Temelin Konsolidasyon Oturması İçin Sayısal Örnek



Şekil 3.20: Oturmaları hesaplanan tekil temel sistemine ait veriler

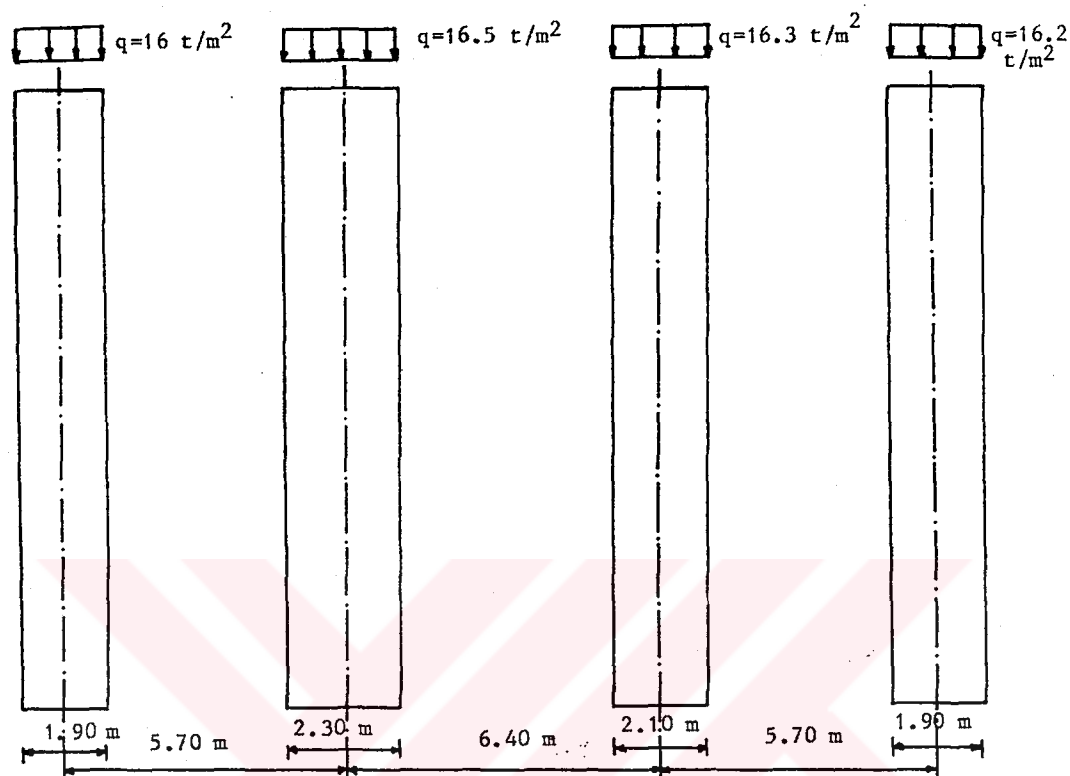


Şekil 3.21: Temel zemini kesiti

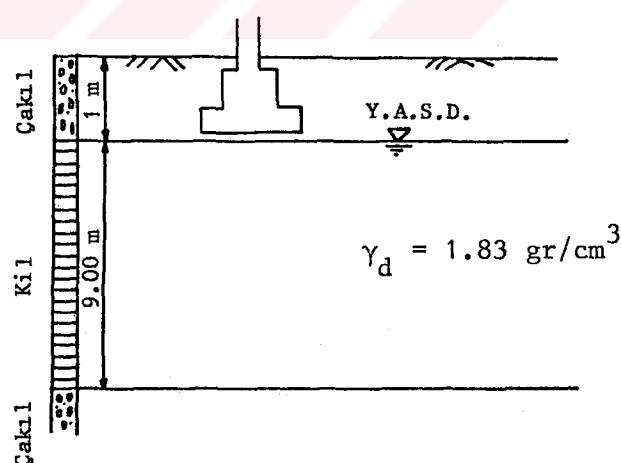


Sekil 3.22: Sekil 3.20 de gösterilen tekil temel sisteminde her bir temel altında meydana gelen oturmaların şematik gösterimi

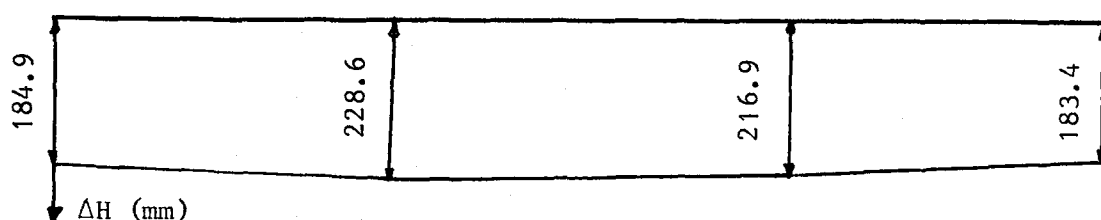
3.3.2. Bir Serit Temel Sistemindeki Her Bir Serit Temelin Konsolidasyon Oturması İçin Sayısal Örnek



Şekil 3.23: Oturmaları hesaplanan şerit temel sisteme ait veriler

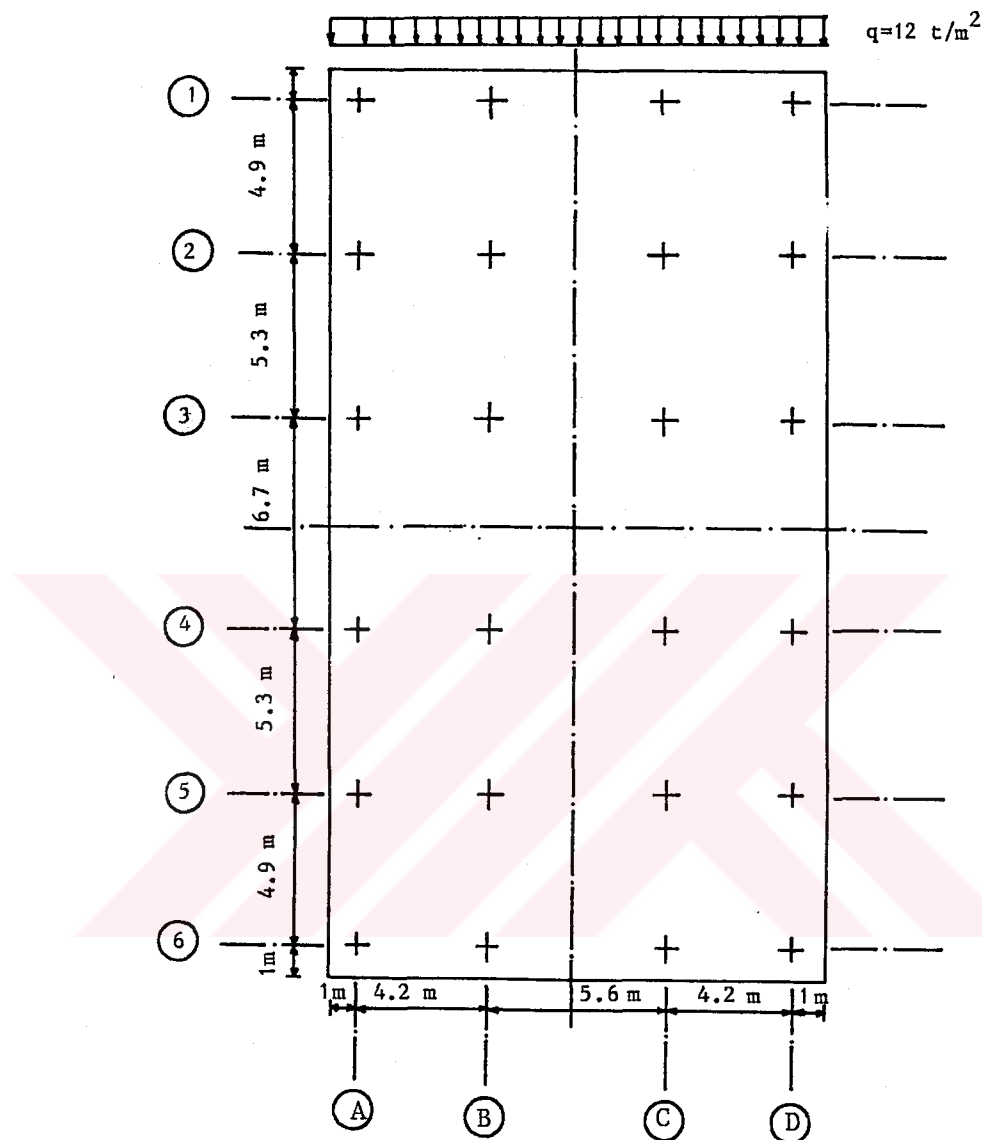


Şekil 3.24: Temel zemini kesiti

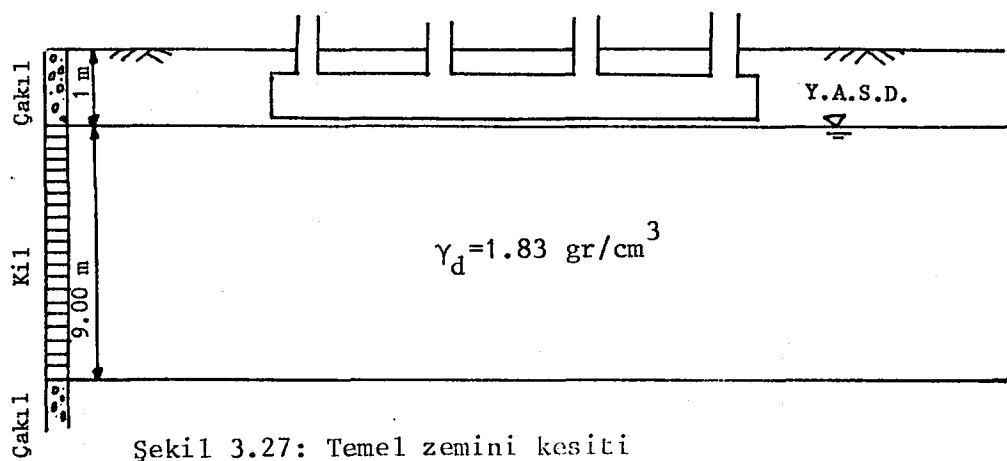


Şekil 3.25. Şekil 3.23 de gösterilen şerit temel sisteminde her bir temelin altında meydana gelen oturmaların şematik gösterimi

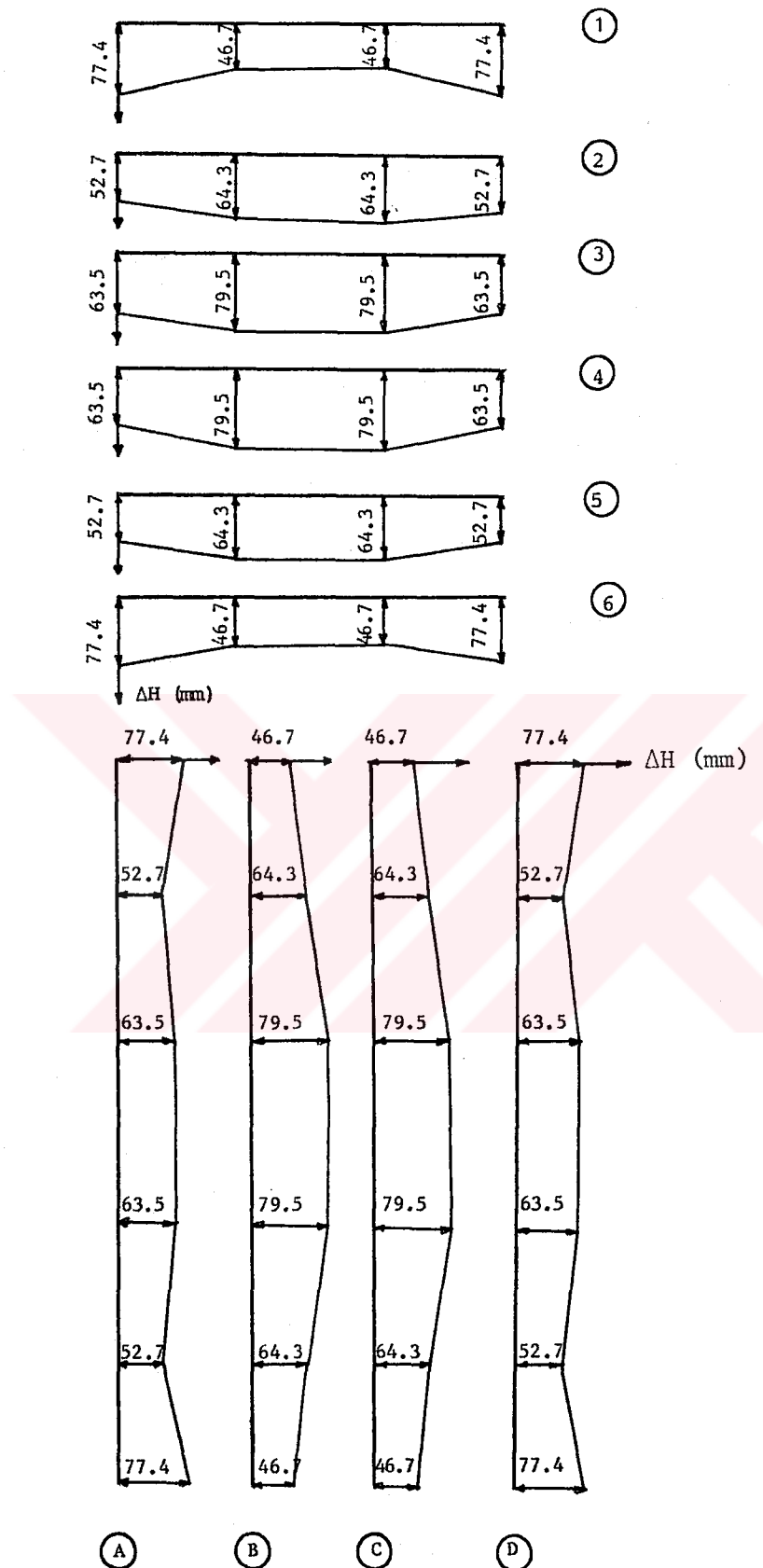
**3.3.3. Bir Radye Temelde Her Bir Kolon Altında Meydana
Gelen Konsolidasyon Oturması için Sayısal Örnek**



Şekil 3.26: Oturumaları hesaplanan radye temel sistemine ait veriler



Şekil 3.27: Temel zemini kesiti



Sekil 3.28: Sekil 3.26 da gösterilen radyo temel sisteminde her bir kolonun altında meydana gelen oturmanın sematik gösterimi

Bu kısımda, tipik bir tekil temel, şerit temel ve radye temel sistemine ait konsolidasyon oturmaları hesaplandı ve oturma değerleri şematik olarak gösterildi. Şekil 3.20, 3.23 ve 3.26 da sayısal bilgileri verilen temel sistemlerinin konsolidasyon oturmaları, Şekil 3.15, 3.17 ve 3.19 da gösterilen akış mantığına göre geliştirilen ve ekte verilen bilgisayar programları kullanılarak hesaplandı. Hesaplarda, temel zemini tek tabaka olarak düşünüldü ve deney örneğinin Şekil 3.21, 3.24 ve 3.27 de gösterilen kil tabakasından aldığı kabul edilerek, Deney No 1-II'ye ait hacimsal sıkışma katsayıları kullanıldı.

BÖLÜM 4

S O N U Ç L A R

Bu çalışmada, Trabzon ve çevresi killerinin konsolidasyon özelliklerini araştırmak amacıyla, konsolidasyon deneyleri yapıldı, ayrıca yüzeysel (sığ) temel sistemlerinin (tekil, şerit, radye) konsolidasyon oturmaları için bilgisayar programları geliştirildi. Konsolidasyon deney sonuçlarını ve geliştirilen bilgisayar programlarının getirdiği kolaylıklarını ve üstünlükleri aşağıdaki gibi açıklayabiliriz.

1. Konsolidasyon deneylerine ait e- σ' ve e-log σ' ilişkisi:

Trabzon ve çevresinden alınan bazı kil örneklerine ait efektif gerilme (σ') ve denge boşluk oranı (e) arasındaki ilişkiler Şekil 2.26-2.35 de gösterilmektedir. Eğrilerin biçimini deney örneklerinin alındığı kil tabakalarının gerilme geçmişi yani jeolojik geçmişi ile yakından ilgilidir. Normal konsolide olmuş killerde e-log σ' ilişkisi lineer veya lineere yakındır. Aşırı konsolide olmuş killerde ise e-log σ' ilişkisi lineer olmayıp eğriseldir. Konsolidasyon özelliklerini araştırmak amacıyla belli yerlerden alınan kil örneklerine ait e-log σ' eğrilerine bakıldığında, bu killerin aşırı konsolide olduğu, yani geçmişte, şimdikinden daha fazla gerilme altında kaldığı görülmektedir.

Bu konu, daha çok sayıda deney yapılarak, daha kapsamlı bir şekilde incelenmelidir.

2. Büyük ve Küçük metal halkalar üzerinde yapılan konsolidasyon deney sonuçları arasındaki farklılık:

Büyük ($D=76.2$ mm, $H=19$ mm) ve küçük ($D=50$ mm, $H=20$ mm) metal halkalar ile alınan aynı cins zemin örnekleri üzerinde yapılan konsolidasyon deney sonuçlarında, buna bağlı olarakta konsolidasyon özelliklerinde farklılıklar görüldü. Bu farklılıkların nedeni, kısım 2.2.1 de açıklandığı gibi, sürtünmeden dolayı büyük halkada meydana gelen basınç kaybının daha az

olması, dolayısıyla büyük halkanın daha fazla basınc altında kalmasıdır. Deney sonuçları karşılaştırıldığında büyük halka ile alınan kil örmeklerine ait konsolidasyon özellikleri (C_c , m_v , ...), küçük halka ile alınan kil örneklerine ait konsolidasyon özelliklerinden daha büyük çıkmaktadır. Yani büyük halka içerisindeki örnek daha fazla oturma yapmaktadır. Buradan, aynı kalınlıkta, farklı çaplardaki metal halkalar ile alınan aynı cins kil örnekleri üzerinde yapılan konsolidasyon deneylerinde, büyük çaplı örneklerin kullanılması halinde, oturma analizinde (hesabında), daha büyük oturma değerlerinin elde edileceği ve hesaplanan oturma değerlerinin daha doğru olacağını anlaşılmaktadır.

Konsolidasyon deney sonuçlarını, halka boyutları yanında etkileyen başka etkenlerde vardır. Bunlar örselenmemiş zemin örneğinin alınması sırasında meydana gelen bozuk tabaka kalınlığı, sıcaklık gibi etkenlerdir. Bu etkenlerin konsolidasyon deney sonuçları üzerindeki etkileri daha fazla sayıda deney yapılarak kapsamlı bir şekilde incelenebilir.

3. Amprik C_c-w_L (yoğrulmuş killer) ilişkisinin, deneysel C_c-w_L (örselenmemiş killer) ilişkisi ile karşılaştırılması:

Sekil 2.23 de amprik ve deneysel C_c-w_L ilişkisi görülmektedir. Yapılan deneysel çalışmalar sonucunda, aynı likit limit değeri için, örselenmemiş kil örneklerine ait C_c sıkışma indisini değerinin, yoğrulmuş killerin C_c sıkışma indisini değerinden daha küçük olduğu gözlenmiştir. Bu sonuç, yoğrulmanın (örselenmenin), konsolidasyon oturmasını artırdığını gösterir. Bu kısmın daha kapsamlı deneylerle araştırılması gereklidir.

4. Sığ (yüzeysel) temel sistemlerinde meydana gelen konsolidasyon oturması:

Bir temel sisteminde, her bir temelin merkezi altında meydana gelen konsolidasyon oturmalarının hesabında, sadece temelin kendisinden dolayı meydene gelen gerilme artışı düşünülmektedir. Oysa, her bir temelin merkezi altında, komşu temellerden

dolayı da gerilme artışı meydana gelmektedir. Komşu temellerden dolayı meydana gelen gerilme artışının düşünürsek, her bir temelin merkezi altında daha büyük bir oturma meydana gelir. Komşu temellerin etkisi, düşünülmeyenleri durumda hesaplanan oturma değerlerini, izin verilebilir oturma değerlerini aşan duruma dönüştürebilir.

Tablolar yardımı ile elle yapılan oturma hesapları uzun zaman almaktadır. Bu amaçla, komşu temellerin etkiside düşünülerek, oturma hesaplarının daha hızlı bir şekilde yapılabilmesi için bilgisayar programları geliştirildi. Çalışmanın, bu yönyle pratikte çalışan mühendisler için yararlı olacağı umulmaktadır.

KAYNAKLAR

- Anonym, (1971), Design Manual, Soil Mechanics Foundations and Earth Structures, NAVFAC DM-7, Department of the Navy, U.S.A.
- Bjerrum, L. (1963), Discussion on Section G, European Conf. on SMFE, Wiesbaden, Vol. 2, p.135-137.
- Boussinesq J. (1885) Application des potentiels a l'etude de l'equilibre et du movement des solids elastiques, Gauthier-Villars, Paris.
- Casagrande, A. (1936), The Determination of the Pre-Consolidation Load and its Practical Significance, Proc. Ist. Int. Conf. on SM, Cambridge, pp.60-64.
- Golder, H.Q. (1971), The allowable settlement of structures, Proc. 4th Panamerican Conf. On SMFE, Puerto Rico, Vol.1, p. 171-187.
- Grant, R., Christian, J.T. and Vanmarcke, E.H. (1974), Differential Settlements of Buildings, Journal of Geotechnical Engng. Division, ASCE, Vol.100, GT9,p.973-991.
- Newmark, M. (1935). Simplified computation of vertical pressures elastic foundations, circular no. 24, Engng. Expt. Station, Univ. of Illinois.
- Osterberg, J.O. (1973), Settlements of Structures Due to External Causes, Seminar on Settlement of Structures, ASCE, s. 1-17.
- Polshin, D.E. and Toker, R.H. (1957), Maximum Allowable non-uniform settlement of Structures, Proc. 4th Int. Conf. on SMFE, Vol.3, pp. 402-405.
- Sing, A. and Punmia, B.C. (1970), Soil Mechanics and Foundations, Mehta Printers, Delhi, INDIA.
- Simons, N.E. and Menzies, B.K. (1975), A Short Course in Foundation Engineering, IPC Science and Tech Press.
- Skempton, A.W. and Mac Donald, D.H. (1956), Allowable Settlement of Buildings, Proc. Institute of Civil Engineers, Part 3, Vol. 5, pp.727-768.
- Skempton, A.W. and Bjerrum, L. (1957), A contribution to the Settlement Analysis of Foundations on Clay; Geotechnique, Vol.7, No.4.
- Taylor, D.W. (1942), Research on the Consolidation of Clays, Department of Civil and Sanitary Engineering, Massachusetts Institute Technology, Serial No. 82.
- Taylor, D.W. (1948), Fundamentals of Soil Mechanics, Wiley, New York.
- Terzaghi, K. (1923), Die Berechnung der Durchlaessigkeitsziffer des Tonens aus den Verlauf der hydrodynamischen Spannungsercheinungen, Vienna.
- Terzaghi, K. (1943), Theoretical Soil Mechanics, Wiley, New York.

Terzaghi, K. and Peck, B.C. (1967) Soil Mechanics in Engineering Practice, Wiley, New York.

Uzuner, B.A. (1984), Yapılarda Zemin İncelemesinin (Etüdünün) Önemi, Türkiye'de İnşaat Mühendisliği Alanındaki Gelişmeler Kongresi 84, İstanbul, s.71-74.

Uzuner, B.A. (1985), Yapılarda Oturma, III. Mühendislik Haftası, İsparta, s. 11-23.

Van Zelst, T.W. (1948), An Investigation of the Factors Affecting Laboratory Consolidation of Clay, Proceedings Second International Conference on Soil Mechanics, Vol. VII. paper No. II c 4, p.52.

Whitlow, R. (1983), Basic Soil Mechanics, Construction press, London.

BIR TEKIL TEMEL SISTEMİNDE HER BİR TEMELİN KONSOLIDASYON OTURMALARI

```

PARAMETER (N=3,M=3)
REAL BX(N,M),BY(N,M),Q(N,M),LX(M),LY(N),R1(N,M),R2(N,M)
REAL L1(N,M),L2(N,M),A1(N,M),A2(N,M),U1(N,M),U2(N,M),X(N,M)
REAL Y(N,M),P(N,M),DSIGK(N,M),DSIGR1(N,M),DSIGR2(N,M)
REAL DSIGL1(N,M),DSIGL2(N,M),DSIGA1(N,M),DSIGA2(N,M),DH(N,M)
REAL DSIGU1(N,M),DSIGU2(N,M),DSIGX(N,M),DSIG(N,M),MV(N,M)
OPEN(1,FILE='TT.VER')
OPEN(2,FILE='TT.CIK',STATUS='NEW')
READ(1,3) ((BX(I,J),J=1,M),I=1,N)
READ(1,3) ((BY(I,J),J=1,M),I=1,N)
READ(1,3) ((Q(I,J),J=1,M),I=1,N)
READ(1,9) ((MV(I,J),J=1,M),I=1,N)
READ(1,8) (LX(J),J=1,M-1)
READ(1,8) (LY(I),I=1,N-1)
READ(1,*) Z,H
3 FORMAT(3F8.3)
8 FORMAT(2F8.3)
9 FORMAT(3F8.5)
DO 4 I=1,N
DO 4 J=1,M
P(I,J)=Q(I,J)/(BX(I,J)*BY(I,J))
4 CONTINUE
DO 5 I=1,N
DO 5 J=1,M
X(I,J)=BX(I,J)/2
Y(I,J)=BY(I,J)/2
IF(J.EQ.1)THEN
R1(I,J)=0
R2(I,J)=0
L1(I,J)=LX(J)+BX(I,J)/2
L2(I,J)=LX(J)-BX(I,J)/2
ELSEIF(J.EQ.M)THEN
L=J-1
R1(I,J)=LX(L)+BX(I,J)/2
R2(I,J)=LX(L)-BX(I,J)/2
L1(I,J)=0
L2(I,J)=0
ELSE
K=J-1
R1(I,J)=LX(K)+BX(I,J)/2
R2(I,J)=LX(K)-BX(I,J)/2
L1(I,J)=LX(J)+BX(I,J)/2
L2(I,J)=LX(J)-BX(I,J)/2
ENDIF
5 CONTINUE
CALL SIGMA(X,Y,P,DSIGK,Z,N,M)
CALL SIGMA(Y,R1,P,DSIGR1,Z,N,M)
CALL SIGMA(Y,R2,P,DSIGR2,Z,N,M)
CALL SIGMA(Y,L1,P,DSIGL1,Z,N,M)
CALL SIGMA(Y,L2,P,DSIGL2,Z,N,M)

```

```

DO 10 I=1,N
DO 10 J=1,M
IF(I.EQ.1)THEN
A1(I,J)=0
A2(I,J)=0
U1(I,J)=LY(I)+BY(I,J)/2
U2(I,J)=LY(I)-BY(I,J)/2
ELSEIF(I.EQ.N)THEN
L=I-1
A1(I,J)=LY(L)+BY(I,J)/2
A2(I,J)=LY(L)-BY(I,J)/2
U1(I,J)=0
U2(I,J)=0
ELSE
K=I-1
A1(I,J)=LY(K)+BY(I,J)/2
A2(I,J)=LY(K)-BY(I,J)/2
U1(I,J)=LY(I)+BY(I,J)/2
U2(I,J)=LY(I)-BY(I,J)/2
ENDIF
10 CONTINUE
CALL SIGMA(X,A1,P,DSIGA1,Z,N,M)
CALL SIGMA(X,A2,P,DSIGA2,Z,N,M)
CALL SIGMA(X,U1,P,DSIGU1,Z,N,M)
CALL SIGMA(X,U2,P,DSIGU2,Z,N,M)
DO 15 I=1,N
DO 15 J=1,M
IF(J.EQ.1)THEN
K=J+1
DSIGX(I,J)=4*DSIGK(I,J)+2*(DSIGR1(I,K)-DSIGR2(I,K))
ELSEIF(J.EQ.M)THEN
L=J-1
DSIGX(I,J)=4*DSIGK(I,J)+2*(DSIGL1(I,L)-DSIGL2(I,L))
ELSE
K=J+1
L=J-1
DSIGX(I,J)=4*DSIGK(I,J)+2*(DSIGR1(I,K)-DSIGR2(I,K)+*
DSIGL1(I,L)-DSIGL2(I,L))
ENDIF
15 CONTINUE
DO 16 I=1,N
DO 16 J=1,M
IF(I.EQ.1)THEN
K=I+1
DSIG(I,J)=DSIGX(I,J)+2*(DSIGA1(K,J)-DSIGA2(K,J))
ELSEIF(I.EQ.N)THEN
L=I-1
DSIG(I,J)=DSIGX(I,J)+2*(DSIGU1(L,J)-DSIGU2(L,J))
ELSE
K=I+1
L=I-1
DSIG(I,J)=DSIGX(I,J)+2*(DSIGA1(K,J)-DSIGA2(K,J)+DSIGU1(L,J)-*
DSIGU2(L,J))
ENDIF

```

```

16 CONTINUE
CALL SET(DSIG,MV,H,DH,N,M)
WRITE(2,*)'.....DSIG.....'
WRITE(2,3) ((DSIG(I,J),J=1,M),I=1,N)
WRITE(2,*)'.....DH.....'
WRITE(2,6) ((DH(I,J),J=1,M),I=1,N)
6 FORMAT(3F6.4)
STOP
END

SUBROUTINE SIGMA(B,H,P,SIG,Z,N,M)
REAL B(3,3),H(3,3),SIG(3,3),N1(3,3),M1(3,3)
REAL P(3,3),S(3,3),R(3,3),ACI(3,3)
DO 20 I=1,N
DO 20 J=1,M
IF(H(I,J).EQ.0)THEN
SIG(I,J)=0
ELSE
M1(I,J)=B(I,J)/Z
N1(I,J)=H(I,J)/Z
S(I,J)=M1(I,J)*N1(I,J)
R(I,J)=M1(I,J)**2+N1(I,J)**2+1
ACI(I,J)=ATAN(2*S(I,J)*R(I,J)**0.5/(R(I,J)-S(I,J)**2))
SIG(I,J)=P(I,J)*(2*S(I,J)*R(I,J)**0.5*(R(I,J)+1)/((R(I,J)+
*S(I,J)**2)*R(I,J))+ACI(I,J))/(4*3.14)
ENDIF
20 CONTINUE
RETURN
END

SUBROUTINE SET(DSIG,MV,H,DH,N,M)
REAL DSIG(3,3),MV(3,3),DH(3,3)
DO 25 I=1,N
DO 25 J=1,M
DH(I,J)=MV(I,J)*H*DSIG(I,J)
25 CONTINUE
RETURN
END

```

BIR SERIT TEMEL SISTEMİNDE HER BİR TEMELİN KONSOLIDASYON OTURMALARI

```

PARAMETER (M=4)
REAL Q(M), BX(M), LX(M), A(M), XR(M), XL(M), DSIGK(M), DSIGL(M)
REAL DSIGR(M), SIG(M), DETA(M), MV(M), DH(M)
OPEN(1,FILE='ST.VER')
OPEN(2,FILE='ST.CIK', STATUS='NEW')
READ(1,3) (Q(J),J=1,M)
READ(1,3) (BX(J),J=1,M)
READ(1,4) (LX(J),J=1,M-1)
READ(1,5) (MV(J),J=1,M)
READ(1,*) Z,H
3 FORMAT(4F5.2)
4 FORMAT(3F5.2)
5 FORMAT(4F8.5)
DO 20 J=1,M
A(J)=BX(J)/2
DETA(J)=2*ATAN(A(J)/Z)
IF (J.EQ.1) THEN
XL(J)=LX(J)
XR(J)=0
ELSEIF (J.EQ.N) THEN
K=J-1
XR(J)=LX(K)
XL(J)=0
ELSE
L=J-1
XR(J)=LX(L)
XL(J)=LX(J)
ENDIF
20 CONTINUE
CALL SIGMA1(DETA,Q,DSIGK,M)
CALL SIGMA2(XR,A,Q,Z,DSIGR,M)
CALL SIGMA2(XL,A,Q,Z,DSIGL,M)
DO 30 J=1,M
IF (J.EQ.1) THEN
K=J+1
SIG(J)=DSIGK(J)+DSIGR(K)
ELSEIF (J.EQ.M) THEN
L=J-1
SIG(J)=DSIGK(J)+DSIGL(L)
ELSE
K=J+1
L=J-1
SIG(J)=DSIGK(J)+DSIGL(L)+DSIGR(K)
ENDIF
30 CONTINUE
CALL SET(SIG,MV,H,DH,N,M)
WRITE(2,*) '.....SIG.....'
WRITE(2,3) (SIG(J),J=1,M)
WRITE(2,*) '.....DH.....'
WRITE(2,6) (DH(J),J=1,M)
6 FORMAT(4F6.4)
STOP
END

```

```
SUBROUTINE SIGMA2(X,A,Q,Z,SIG,M)
REAL X(4),A(4),Q(4),SIG(4)
DO 40 J=1,M
IF(X(J).EQ.0)THEN
SIG(J)=0
ELSE
SIG(J)=Q(J)*(ATAN(Z/(X(J)-A(J)))-ATAN(Z/(X(J)+A(J)))-
*2*A(J)*Z*(X(J)**2-Z**2-A(J)**2)/((X(J)**2+Z**2-A(J)**2)**2+
*4*A(J)**2*Z**2))/3.14
ENDIF
40 CONTINUE
RETURN
END

SUBROUTINE SIGMA1(DETA,Q,SIG,M)
REAL DETA(4),Q(4),SIG(4)
DO 50 J=1,M
SIG(J)=Q(J)*(DETA(J)+SIN(DETA(J)))/3.14
50 CONTINUE
RETURN
END

SUBROUTINE SET(SIG,MV,H,DH,N,M)
REAL SIG(4),MV(4),DH(4)
DO 60 J=1,M
DH(J)=MV(J)*H*SIG(J)
60 CONTINUE
RETURN
END
```

BIR RADYE TEMEL SISTEMİNDE HER BİR KOLONUN KONSOLIDASYON OTURMALARI

```

PARAMETER (N=6,M=4)
REAL B(7),L(5),SIGRA(N,M),SIGRU(N,M),SIGLU(N,M),B1(N),L1(M)
REAL SIGLA(N,M),SIG(N,M),BU(N),BA(N),LL(M),LR(M),MV(N,M),DH(N,M)
OPEN(3,FILE='RT.VER')
OPEN(4,FILE='RT.CIK',STATUS='NEW')
READ(3,*)Q,Y,X,Z,H
READ(3,8) (L(J),J=1,M+1)
READ(3,9) (B(I),I=1,N+1)
READ(3,7) ((MV(I,J),J=1,M),I=1,N)
8 FORMAT(5F5.2)
9 FORMAT(7F5.2)
7 FORMAT(4FB.5)
DO 5 I=1,N
IF(I.EQ.1)THEN
B1(I)=B(I)
ELSE
K=I-1
B1(I)=B1(K)+B(I)
ENDIF
5 CONTINUE
DO 10 I=1,N
IF(I.EQ.1)THEN
BU(I)=B(I)
BA(I)=Y-BU(I)
ELSEIF(I.EQ.N)THEN
K=I+1
BA(I)=B(K)
BU(I)=Y-BA(I)
ELSE
BU(I)=B1(I)
BA(I)=Y-BU(I)
ENDIF
10 CONTINUE
DO 15 J=1,M
IF(J.EQ.1)THEN
L1(J)=L(J)
ELSE
K=J-1
L1(J)=L1(K)+L(J)
ENDIF
15 CONTINUE
DO 20 J=1,M
IF(J.EQ.1)THEN
LL(J)=L(J)
LR(J)=X-LL(J)
ELSEIF(J.EQ.M)THEN
K=J+1
LR(J)=L(K)
LL(J)=X-LR(J)
ELSE
LL(J)=L1(J)
LR(J)=X-LL(J)
ENDIF
20 CONTINUE

```

```

CALL SIGMA(LL,BU,Q,SIGLU,Z,N,M)
CALL SIGMA(LL,BA,Q,SIGLA,Z,N,M)
CALL SIGMA(LR,BU,Q,SIGRU,Z,N,M)
CALL SIGMA(LR,BA,Q,SIGRA,Z,N,M)
DO 30 I=1,N
DO 30 J=1,M
SIG(I,J)=SIGLU(I,J)+SIGRU(I,J)+SIGLA(I,J)+SIGRA(I,J)
30 CONTINUE
CALL SET(SIG,MV,H,DH,N,M)
WRITE(4,*) '.....S(I,J)....'
WRITE(4,12) ((SIG(I,J),J=1,M),I=1,N)
WRITE(4,*) '.....DH.....'
WRITE(4,12) ((DH(I,J),J=1,M),I=1,N)
12 FORMAT(4F6.4)
STOP
END

SUBROUTINE SIGMA(L,B,Q,SIG,Z,N,M)
REAL L(4),B(6),SIG(6,4),N1(6,4),M1(6,4),S(6,4),R(6,4),ACI(6,4)
DO 40 I=1,N
DO 40 J=1,M
M1(I,J)=L(J)/Z
N1(I,J)=B(I)/Z
S(I,J)=M1(I,J)*N1(I,J)
R(I,J)=M1(I,J)**2+N1(I,J)**2+1
ACI(I,J)=ATAN(2*S(I,J)*R(I,J)**0.5/(R(I,J)-S(I,J)**2))
SIG(I,J)=Q*(2*S(I,J)*R(I,J)**0.5*(R(I,J)+1)/((R(I,J)+
*S(I,J)**2)*R(I,J))+ACI(I,J))/(4*3.14)
40 CONTINUE
RETURN
END

SUBROUTINE SET(SIG,MV,H,DH,N,M)
REAL SIG(6,4),MV(6,4),DH(6,4)
DO 50 I=1,N
DO 50 J=1,M
DH(I,J)=MV(I,J)*H*SIG(I,J)
50 CONTINUE
RETURN
END

```

ÖZGEÇMİŞ

1964 yılında Akçaabat'ta doğdu. İlk ve Orta Öğrenimini Trabzon'da tamamladıktan sonra, 1982 yılında Karadeniz Teknik Üniversitesi Mühendislik Mimarlık Fakültesi İnşaat Mühendisliği Bölümünde lisans öğrenimine başladı. 1986 yılında İnşaat Mühendisi ünvanı ile mezun oldu ve aynı yıl yüksek lisans öğrenimine başladı. 1988 yılından beri K.T.Ü. İnşaat Mühendisliği Bölümü Geoteknik Anabilim Dalında araştırma görevlisi olarak görev yapmaktadır.

T. C.
ÜNİVERSİTE KURULU
Dokumentasyon Merkezi